

10 de marzo de 2026
Archivo No. 01204123.21-13

Sr. Baitong Chen
Distrito de Gestión de la Calidad del Aire de la Costa Sur
21865 Copley Drive
Diamond Bar, California 91765

Asunto: Determinación del Comité de Reacción Mensual sobre los Límites del Área de Reacción del Vertedero de Chiquita Canyon - Castaic, California

Estimado Sr. Chen:

Conforme a las Condiciones No. 9a y 9b de la Orden de Depuración Estipulada Modificada (SOFA) en relación al Vertedero de Chiquita Canyon (el Vertedero o el Centro) (Caso No. 6177-4), el Comité de Reacción revisó los nuevos datos adquiridos aplicables registrados durante el mes de febrero de 2026, consideró las revisiones del alcance estimado de las condiciones del vertedero de temperaturas elevadas (ETLF) en el Centro de referencia (denominados límites del "Área de Reacción") y ha elaborado esta determinación sobre potencialmente revisar el mapa del Área de Reacción.

El Adjunto A presenta el Plano con el título "Mapa del Área de Reacción", preparado por SCS Engineers (SCS) con fecha 3 de marzo de 2026. El Plano muestra el límite del Área de Reacción como se indica en la Condición No. 9a que corresponde a los límites de las Celdas 1/2A, 2B/3, 4 y al Módulo 2B/3/4 P2 como línea negra sólida. El Plano también muestra el alcance estimado de las condiciones de ETLF experimentadas en el sitio en base a la revisión de los datos científicos del Comité de Reacción como línea de puntos magenta. El fundamento que sirve como base para considerar ajustes y modificaciones en el límite del Área de Reacción (o la determinación de mantener el límite decretado) incluye lo siguiente:

- Temperaturas del cabezal del pozo de Biogás (LFG) que exceden aproximadamente los 160 grados Fahrenheit.
- Mala calidad del gas (definido como niveles de metano inferiores al 30 por ciento) junto con proporciones de metano-dióxido de carbono ($\text{CH}_4:\text{CO}_2$) inferiores a 1.0.
- La concentración de hidrógeno (H_2) en el LFG que mide más del 2 por ciento por volumen.
- La concentración de monóxido de carbono (CO) en el LFG que mide más del 2,000 ppm.
- Asentamiento acelerado de la superficie del vertedero, definida como aproximadamente 18 pulgadas o más dentro de un período de 60 días y grietas en la cubierta del vertedero. Esto corresponde a un índice de un valor de tensión (es decir, un índice de asentamiento) del 3 por ciento por año para zonas con profundidad de columnas de desechos de 300 pies, que creemos que es una profundidad promedio razonable en el tema de interés.
- Observaciones de primera mano del Vertedero y/o del personal de campo de ingeniería, construcción y operaciones y mantenimiento (O&M) de SCS que está en el sitio. 1) cantidades excesivas atípicas de lixiviados (presencia y cantidad de líquidos); 2) instancias de líquidos presurizados que salen de la superficie del vertedero, desde los pozos durante las perforaciones y desde los pozos de LFG; y 3) las



características de los olores que se originan en las áreas seleccionadas de la huella de desechos (generalmente descritas como "similares a productos químicos" y distintivamente diferentes del LFG típico u olores en el trabajo del vertedero)

- Observaciones de condiciones y características de los desechos de la subsuperficie como se indica en los registros de perforación del pozo para nuevos pozos y/o sondas, recién instalados.
- Temperaturas de la subsuperficie registradas en las sondas de temperatura de desechos in-situ durante febrero de 2026.
- Temperatura del gas o de los líquidos medida en profundidad dentro del tubo elevador del pozo de LFG (utilizando un transmisor automatizado o instrumentación de campo manual).
- Temperatura y presiones en la subsuperficie asociadas a las actividades de perforaciones para los nuevos pozos de extracción de gas durante febrero de 2026, si corresponde.

CONSIDERACIONES DE POTENCIALES AJUSTES AL ALCANCE ESTIMADO DE LAS CONDICIONES DEL ETLF (LÍNEA DE PUNTOS MAGENTA)

Al realizar sus determinaciones mensuales, el Comité de la Reacción evalúa los parámetros del set de datos arriba indicados, junto con otro más, para identificar tendencias significativas que indiquen condiciones de ETLF, en lugar de fluctuaciones exhibidas en puntos de datos aislados.

Cada mes, el Comité de la Reacción examina áreas particulares del Vertedero que previamente exhibieron datos anormales o fluctuantes, cuando aplica. Como se trata a continuación, a pesar de varianzas menores en áreas discretas del vertedero, el Comité de la Reacción no ha discernido ninguna tendencia significativa con respecto a los datos de febrero de 2026 que indiquen que la reacción se ha expandido a estas áreas.

Cerca de CV-2344 y CV-2346

El pozo CV-2344 está posicionado dentro de los 100 pies, aproximadamente del límite dirigido por datos, delineado. Este pozo registró temperaturas en el cabezal del pozo de LFG en el rango de 160 a 165 grados F durante febrero. La calidad del LFG en CV-2344 fue variable, con las concentraciones de metano del 13 y el 24 por ciento durante febrero, indicando que, mientras que la actividad metanogénica fue suprimida, está ocurriendo producción de metano alrededor del pozo. La concentración de H₂ medida durante febrero fue de un 10.4 por ciento. Las temperaturas máximas registradas de los desechos in situ en TP-05 cercana durante febrero fueron inferiores a 167 grados F.

El pozo CV-2346 está posicionado aproximadamente 100 pies al sur de CV-2344. Este pozo registró temperaturas en el cabezal del pozo de LFG en torno a los 178 grados F durante febrero, que es un aumento sustancial de los valores medidos durante meses anteriores. La calidad del LFG en CV-2346 fue mala, con concentraciones de metano de menos del 10 por ciento durante febrero. La concentración de H₂ medida durante febrero fue de un 14 por ciento. El pozo está equipado con una bomba operativa y el abrupto aumento en el calor podría atribuirse a actividades de desagote. Por consiguiente, el Comité de la Reacción estará monitoreando muy de cerca los futuros datos de este pozo, para determinar si estas tendencias continúan y en caso de ser así, si se atribuyen a actividades de desagote.

El Comité de la Reacción no cree que se justifique en este momento un ajuste en el límite de la Zona Reactiva que incluya las partes de la huella de desechos que incluya CV-2344 y CV-2346.

Subáreas Dentro del Límite de la Zona Reactiva Dirigido por la Datos

Como se exhibe en los mapas de rango de gradiente isotérmico que se incluyen como **Adjunto C** de este Informe de Determinación de Zona Reactiva mensual, las temperaturas de los cabezales de pozos de biogás registradas cada mes demuestran varias subáreas dentro del límite dirigido por datos que exhiben consistentemente temperaturas sustancialmente más bajas que otros cabezales de pozos dentro de este límite. Una subárea está posicionada en la parte sur-central de la zona reactiva dirigida por datos y otro está posicionado en la parte central este de la zona reactiva dirigida por datos. Ambas subáreas contienen pozos que exhiben temperaturas que están por debajo de los 130 grados F. El Comité de la Reacción continúa revisando y analizando los datos registrados en los pozos dentro de estas subáreas para evaluar si varios parámetros operativos indican que la gravedad de la reacción se está reduciendo dentro de estas subáreas, como se evidencia con las temperaturas en disminución y el aumento de las relaciones de metano a dióxido de carbono y la reducción del contenido de H₂ en pozos selector dentro de estas subáreas.

DATOS DE LAS SONDAS DE MONITOREO DE TEMPERATURA

El Comité de la Reacción revisó las mediciones de temperatura registradas durante febrero de 2026 utilizando las sondas de monitoreo de temperatura in-situ. A febrero de 2026, 11 de las 40 sondas (TP-2, TP-3, TP-9, TP-11, TP-15, TP-16, TP-18, TP-21, TP-22, TP-23 y TP-33) están dentro del límite de la zona reactiva dirigida por datos (línea de puntos magenta). De las 29 sondas restantes colocadas fuera de los límites, 9 sondas se encuentran ubicadas dentro de una proximidad relativamente cercana (dentro de los 200 pies) de este límite.

Las tres termocuplas más profundas dentro de TP-8 (100 pies, 125 pies y 150 pies) registraron aumentos importantes en las temperaturas durante febrero, al compararlas con los meses anteriores. Sin embargo, el pozo de extracción de LFG co-ubicado, CV-24079, registró una temperatura máxima en el cabezal del pozo de 137 grados F. Considerando la resolución de problemas y las actividades de reparación de estas termocuplas informadas en informes de meses previos, el Comité de la Reacción continuará monitoreando las temperaturas en estas termocuplas dentro de TP-8.

El Comité de la Reacción evaluó las temperaturas registradas en las 40 TMPs, con particular atención a las siguientes temperaturas máximas:

- TP-24: 201 grados F en el intervalo a los 265 pies;
- TP-25: 199 grados F en el intervalo a los 130 pies;
- TP-26: 177 grados F en el intervalo a los 150 pies;
- TP-29: 189 grados F en el intervalo a los 240 pies;
- TP-31: 193 grados F en el intervalo a los 180 pies;
- TP-37: 184 grados F en el intervalo a los 180 pies.

Estas termocuplas registraron temperaturas relativamente consistentes durante el período previo de seis meses que fue del 22 de enero de 2026 al 4 de marzo de 2026. El aumento de temperatura experimentado en TP-25 podría atribuirse a los pozos y bombas de los alrededores, que están temporalmente fuera de servicio debido en gran

parte a una menor capacidad de disposición de lixiviados fuera del sitio y al continuo despliegue de la cubierta de geomembrana de Alcohol Vinílico Etileno (EVOH) / Polietileno de Alta Densidad (HDPE). Las temperaturas máximas registradas de los desechos durante febrero en termocuplas específicas en las seis TMPs identificadas arriba podrán no ser inusuales dentro de las zonas de desechos más profundas posicionadas entre 130 y 265 pies por debajo de la superficie del vertedero. Sin embargo, las temperaturas dentro de este rango podrían ser potencialmente un indicativo de generación y acumulación de calor asociado a condiciones de ETLF cuando hay también cambios en la composición del gas, producción excesiva de lixiviados, cambios en la composición de lixiviados, asentamiento acelerado, presiones excesivas y otras características de ETLF. Hay una menor diferenciación entre las temperaturas máximas en 30 días en estas seis TMPs, comparadas con las temperaturas máximas en 30 días medidas en las 11 TMPs dentro del límite de la zona de la reacción dirigida por datos (línea de puntos magenta), (excluyendo TP-2 que históricamente ha registrado temperaturas relativamente bajas).

Similar a análisis de datos de meses anteriores, los pozos de LFG alrededor de las seis TMPs identificadas arriba no demostraron evidencia que corrobore el calor o el impedimento de metanogénesis, como se indica a continuación:

- Los cuatro pozos que están alrededor de TP-24 (CV-24086, CV-24087, CV-24174 y CV-24175) registraron una temperatura promedio en el cabezal del pozo de LFG durante febrero de 113 grados F, que es muy por debajo del rango asociado a las condiciones de ETLF. Esos cuatro pozos también se registró una concentración de metano promedio de un 37 por ciento durante este período, que es consistente con producción de metano de biogás típica para estas Instalaciones.
- El pozo CV-2319, que está inmediatamente al este de TP-25, registró una temperatura promedio en el cabezal del pozo de LFG durante febrero de 136 grados F; sin embargo, la concentración de metano fue particularmente baja, promediando solo el 5 por ciento durante el mes. TP-25 está apenas pasando el límite dirigido por datos, ya que se ajustó el mes pasado.
- El pozo CV-24218 que está muy cerca de TP-26 registró una temperatura en el cabezal del pozo de LFG durante febrero de 118 grados F y una concentración de metano del 44 por ciento durante este período, que sugiere condiciones de descomposición normal de la subsuperficie asociada a la producción de metano.
- Los tres pozos que rodean TP-29 (CV-24091, CV-24171 y CV-24207) registraron una temperatura promedio en el cabezal del pozo de LFG durante febrero de 126 grados F y una concentración de metano promedio del 53 por ciento durante este período, que sugiere condiciones de descomposición normal de la subsuperficie asociada a la producción de metano.
- Los dos pozos contiguos a TP-31 (CV-2319 y CV-24111) registraron una temperatura promedio en el cabezal del pozo de LFG durante febrero de 126 grados F, que es muy por debajo del rango asociado a las condiciones de ETLF. Mientras que la concentración promedio de metano en CV-2319 durante el último mes es del 5 por ciento, la concentración promedio de metano en CV-24111 durante el último mes fue del 32 por ciento, que es consistente con producción de metano de biogás típica para estas instalaciones.
- El pozo contiguo a TP-37 (CV-24109) registró una temperatura de cabezal de pozo de LFG durante febrero de 96 grados F y una concentración de metano del 38 por ciento, que no son valores asociados a condiciones de ETLF.

Los pozos que están alrededor de estas seis TMPs no exhibieron evidencia de calor atípico o de la composición del LFG asociado a condiciones de ETLF.

Por lo tanto, el Comité de la Reacción no cree que se justifique en este momento un ajuste en el límite de la Zona Reactiva que incluya las partes de la huella de desechos que incluya TP-24, TP-25, TP-26, TP-29, TP-31 o TP-37.

CONCENTRACIONES DE HIDRÓGENO

El Comité de Reacción también evaluó la concentración de H₂ en el LFG durante febrero de 2026. Recordamos que ciertos pozos posicionados al Sur este del límite de la Zona Reactiva (donde las bombas de desagote experimentaron algunas bajas de servicio debido a la instalación de las cubiertas de EVOH/HDPE y fueron reactivadas en subáreas selectas) habían demostrado periódicamente algún aumento en el contenido de H₂ en el LFG durante la revisión del Comité de Reacción de los datos de los meses anteriores, que fue un caso similar para los datos de febrero de 2026. El Comité de la Reacción notó en su revisión de los datos que estos pozos no exhibieron temperaturas elevadas, excepto en los pozos CV-2312, CV-2344 y CV-2346. Las condiciones en dos de estos tres pozos se analizan en otras secciones de este informe. Aunque CV-2312 exhibió una temperatura promedio de cabezal de pozo de 164 grados F y una concentración de metano promedio de solo el dos por ciento durante febrero, estas condiciones son ocurrencias aisladas limitadas a un solo pozo y no están presentes en ningún otro pozo de los alrededores (CV-24151, CV-24152, CV-24155, CV-2544 y CV-2546). Además, las temperaturas de los desechos in situ en TMPs contiguas (TP-14 y TP-34) no fueron consistentes con las temperaturas elevadas medidas en otros lugares en el sitio donde hay reacción presente. Las temperaturas promedio no ofrecen evidencia del aumento de calor que es típico con condiciones de ETLF en los otros pozos, exhibiendo concentraciones de H₂ atípicas. Como se notó previamente, el Comité de la Reacción sospecha que este aumento en el contenido de H₂ podría atribuirse a los sustanciales desagotes que se están logrando en toda la Zona Reactiva y podría estar asociado al movimiento de gas desde adentro de la Zona Reactiva por los colectores horizontales cercanos existentes. Por lo tanto, la presencia de H₂ elevado en estos lugares aislados no sugieren que las condiciones de ETLF se estén expandiendo hacia el sur y hacia el este del límite delineado. Por lo tanto, el Comité de Reacción no cree que se justifique un ajuste en el límite de la Zona Reactiva en este momento.

CONCLUSIÓN

Como se presenta en el Plano incluido como **Adjunto A**, el alcance estimado de las condiciones de ETLF (línea de puntos de color magenta) está completamente contenida dentro del límite del Área de Reacción decretado en la SOFA (línea sólida negra) o coincide con ella a lo largo del límite este de la Celda 1/2A como se indicó previamente. Como las condiciones del ETLF están completamente contenidas dentro del límite del Área de Reacción y no experimentaron ninguna celda nueva, el Comité de Reacción no encuentra ninguna base para modificar el límite del Área de Reacción como se indica en la Condición 9a, en este momento.

No hubo ninguna opinión disidente entre los miembros del Comité de Reacción sobre esta determinación mensual. Los datos de respaldo se presentan en el Plano incluido como **Adjunto A**. Las mediciones de temperaturas máximas registradas en las 40 sondas de monitoreo de temperatura de los desechos in-situ (tanto valores de 7 Días como de 30 Días) durante febrero se presentan en el **Adjunto B** en formato gráfico. Las temperaturas en el cabezal de pozo de LFG registradas en los pozos de extracción en toda la huella del Vertedero se reflejan en el mapa de rango de gradiente isotérmica presentado como **Adjunto C**. Las relaciones de CH₄:CO₂ medidas en los cabezales de pozos de LFG en la vecindad del límite de la Zona Reactiva dirigida por datos se exhiben en el mapa de rangos presentado como **Adjunto D**. Las concentraciones de H₂

Sr. Baitong Chen
10 de marzo de 2026
Página 6

medidas en los cabezales de pozos de LFG en la vecindad del límite de la Zona Reactiva dirigida por datos se exhiben en el mapa de rangos presentado como **Adjunto E**. Las concentraciones de CO medidas en los cabezales de pozos de LFG en la vecindad del límite de la Zona Reactiva dirigida por datos se exhiben en el mapa de rangos presentado como **Adjunto F**. Los valores isopáquicos del asentamiento de la superficie del vertedero medidos trimestralmente (1 de octubre de 2025 comparado con los del 30 de diciembre de 2025) cerca del límite de la Zona Reactiva dirigida por datos se exhiben en el mapa de rangos como **Adjunto G**. La base de datos electrónica y la plataforma de registros permite que estas mediciones puedan descargarse en un formato de hoja de cálculo tabular, que puede ser presentado al Distrito de Gestión de la Calidad del Aire de la Costa Sur en una portada separada, si lo solicitan.

Por favor, comuníquese con el firmante si tiene preguntas o si necesita más información.

Atentamente,



Robert E. Dick, PE, BCEE
Vicepresidente Sénior
SCS Engineers



Patrick S. Sullivan, BCES, CCP
Vicepresidente Sénior
SCS Engineers

RED/PSS

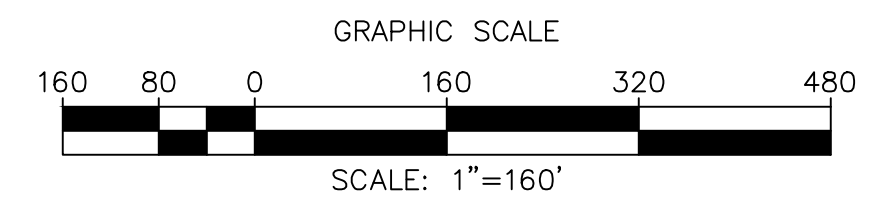
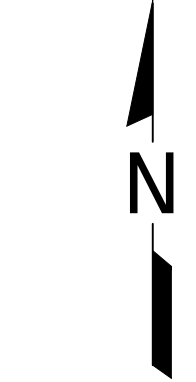
cc: Nathaniel Dickel, SCAQMD
Christina Ojeda, SCAQMD
Patrick S. Sullivan, REPA, CPP, BCES, SCS Engineers
Pablo Sánchez Soria, PhD, CIH, CTEH
Neal Bolton, PE, Blue Ridge Services, Inc.
Richard Pleus, PhD, Intertox
Srividhya Viswanathan, PE, SCS Engineers

Adjuntos:

Adjunto A - Mapa del Área de Reacción
Adjunto B - Datos de las Sondas de Monitoreo de Temperatura de los Desechos In-Situ
Adjunto C - Mapa de Distribución de Gradientes Isotérmicas
Adjunto D - Mapa de Distribución de Metano-Dióxido de Carbono del Cabezal del Pozo
Adjunto E - Mapa de Distribución de Hidrógeno en el Cabezal del Pozo
Adjunto F - Mapa de Distribución de Monóxido de Carbono del Cabezal del Pozo
Adjunto G - Mapa Isopáquico de Distribución de los Asentamientos

ATTACHMENT A

A B C D E F G H I J

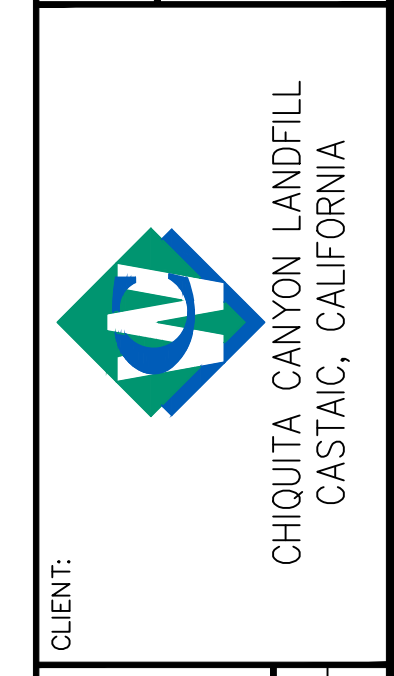


LEGEND

- - - - - EXISTING CELL LIMITS (APPROXIMATE)
- ◊ CV-XX EXISTING VERTICAL WELLS
- ◊ CV-XX PLR EXISTING VERTICAL WELL - PRESSURIZED LEACHATE RELEASE
- H-XX EXISTING HORIZONTAL WELLS
- ▲ CV-XX EXISTING REMOTE VERTICAL WELLHEAD
- GP-XX EXISTING PERIMETER MIGRATION PROBE
- ⊕ TP-XX EXISTING TEMPERATURE PROBE
- EXISTING HORIZONTAL COLLECTOR - SOLID
- - - - - EXISTING HORIZONTAL COLLECTOR - PERFORATED
- - - - - EXISTING HISTORIC HORIZONTAL COLLECTOR
- - - - - REACTION AREA BOUNDARY (APPROXIMATE) - BASED ON DATA REVIEW
- REACTION AREA BOUNDARY - CONDITION 9A

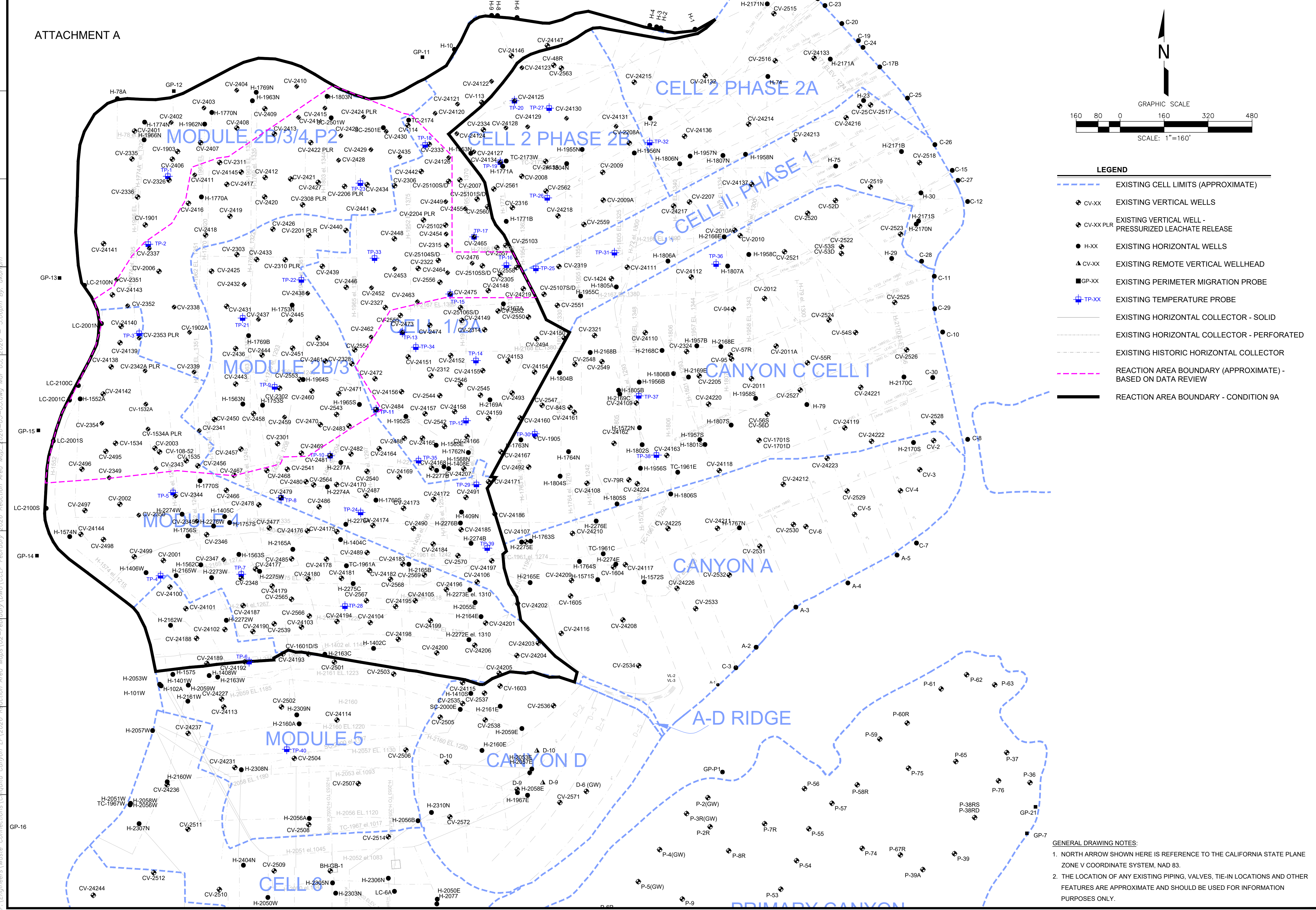
NO.	REVISION	DATE

SHEET TITLE:	REACTION AREA MAP
PROJECT TITLE:	CHICOITA CANYON LANDFILL CASTAIC, CALIFORNIA



CLIENT:	CHICOITA CANYON LANDFILL CASTAIC, CALIFORNIA
DATE:	03/03/2026
SCALE:	AS SHOWN
SHEET:	1

- GENERAL DRAWING NOTES:**
- NORTH ARROW SHOWN HERE IS REFERENCE TO THE CALIFORNIA STATE PLANE ZONE V COORDINATE SYSTEM, NAD 83.
 - THE LOCATION OF ANY EXISTING PIPING, VALVES, TIE-IN LOCATIONS AND OTHER FEATURES ARE APPROXIMATE AND SHOULD BE USED FOR INFORMATION PURPOSES ONLY.



F:\Engineers\Waste Connections\Chicoita Canyon LF 2026 Reaction Area Map\02-February\DWG\CCLF February 2026 Reaction Area Map_2026-03-03.dwg Mar 03, 2026 - 3:06pm By: akorpm

Perfiles de Temperatura Máxima en Cabezales de Pozos de
Desechos Sólidos Durante 6 Semanas
del 22/1/2026 al 4/3/2026

SCS ENGINEERS

07224053.00 | 5 de marzo de 2026

274 Granite R Drive
Lancaster, PA 17601
717-550-6330

Desde el 26 de febrero de 2026 hasta el 4 de marzo de 2026 hubo una reducción de temperatura registrada y tres aumentos de temperatura registrados que activaron los límites de aviso establecidos por la carta de la LEA del 4 de octubre de 2024.

Chiquita proporciona las siguientes actualizaciones:

- TP-08
 - La termocupla de 45 pies mostró una reducción en la temperatura máxima de 13 °F de 142 °F a 129 °F desde el 25 de febrero hasta el 27 de febrero.
 - La termocupla a los 125 pies se sacó de línea el 3 de marzo y será evaluada para que se le realicen reparaciones o para cambiarla dentro de esta semana calendario.
 - La termocupla a los 150 pies indicó una lectura anómala una sola hora 207 °F el 4 de febrero y después regresó a temperaturas consistentes con las temperaturas registradas previas.

- TP-23
 - TP-23 informó valores máximos de 2508 °F el 25 de febrero y se sacó de línea para bombear líquidos del revestimiento de la sonda antes de que se vuelvan a instalar las termocuplas, causando lecturas erróneas ese solo día.

- TP-27
 - La termocupla a 15 pies se mantuvo consistente con las temperaturas registradas previas.

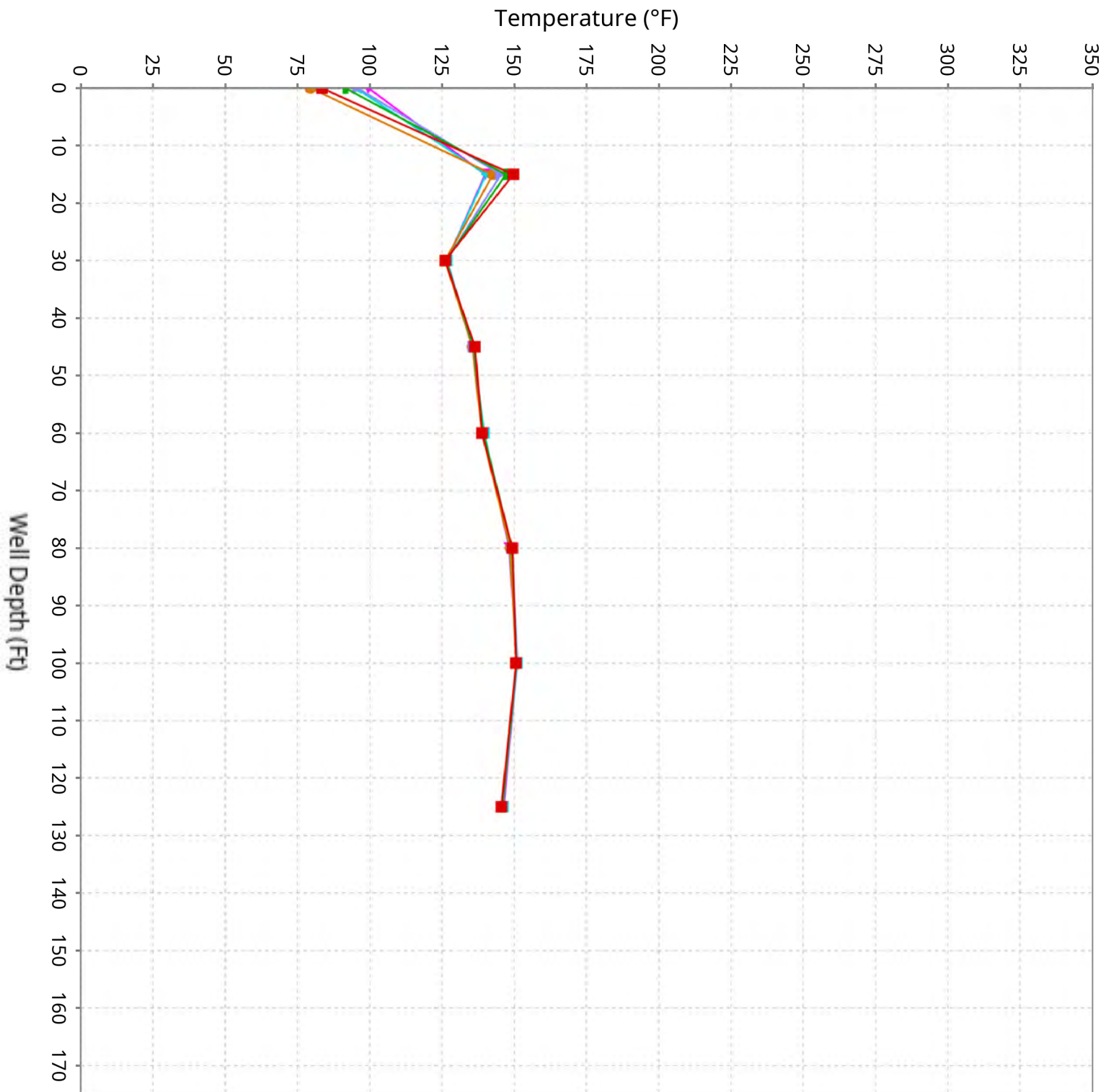
- TP-29
 - La termocupla a 15 pies se mantuvo consistente con las temperaturas registradas previas.

- TP-33
 - La termocupla de 15 pies mostró un aumento en la temperatura máxima de 35 °F de 120 °F a 155 °F desde el 25 de febrero hasta el 4 de marzo.
 - La termocupla de 30 pies mostró un aumento en la temperatura máxima de 15 °F de 171 °F a 186 °F desde el 25 de febrero hasta el 4 de marzo.

- TP-36
 - La termocupla de 15 pies mostró un aumento en la temperatura máxima de 11 °F de 87 °F a 98 °F desde el 25 de febrero hasta el 4 de marzo.
 - La termocupla a 30 pies se mantuvo consistente con las temperaturas registradas previas.
 - La termocupla a 45 pies se mantuvo consistente con las temperaturas registradas previas.
 - La termocupla a 75 pies se mantuvo consistente con las temperaturas registradas previas.

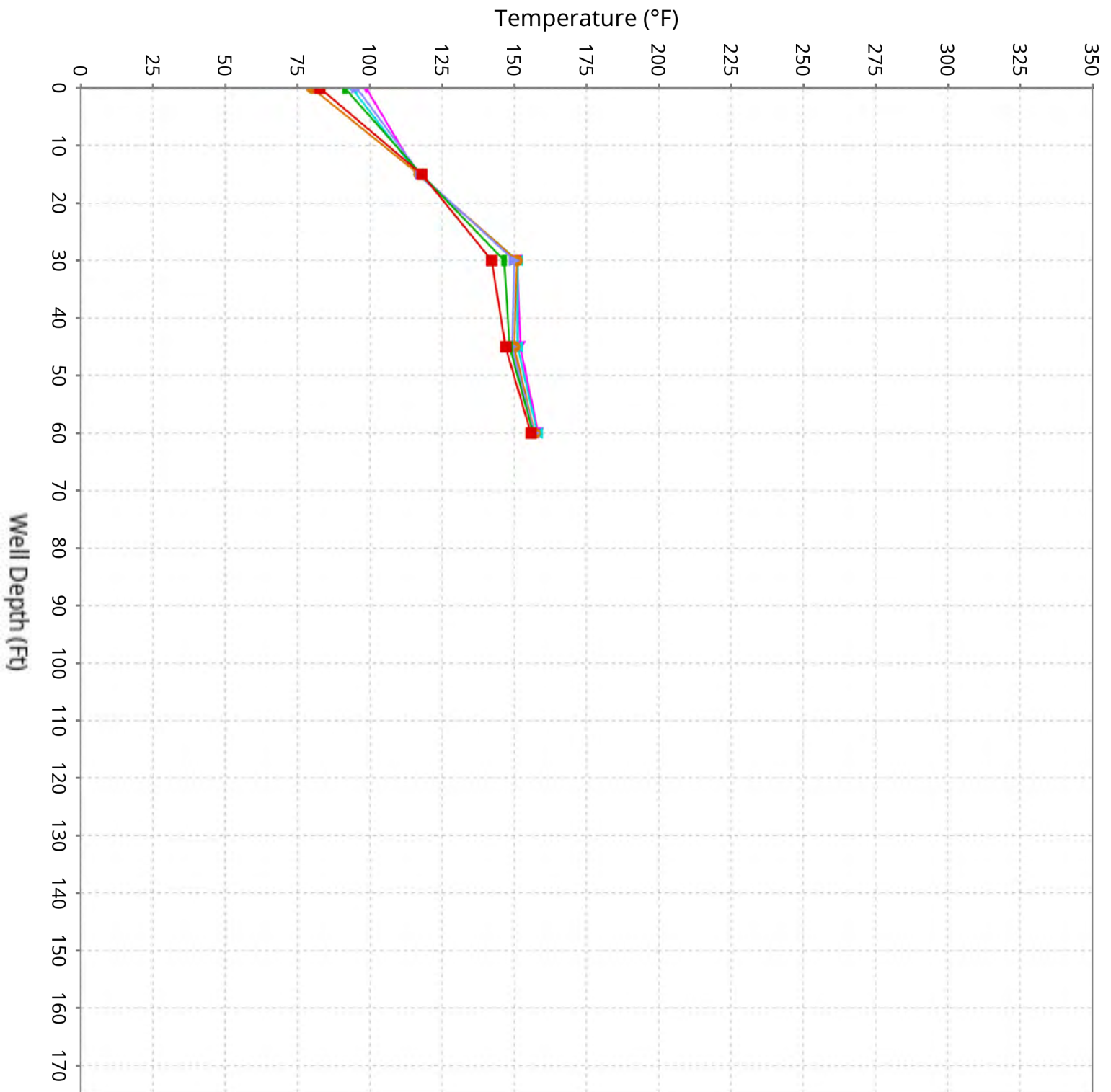
Vertical Temperature Profiles from Temperature Probes at Chiquita Landfill for TP-1

Maximum data for 1/22/2026 to 3/4/2026



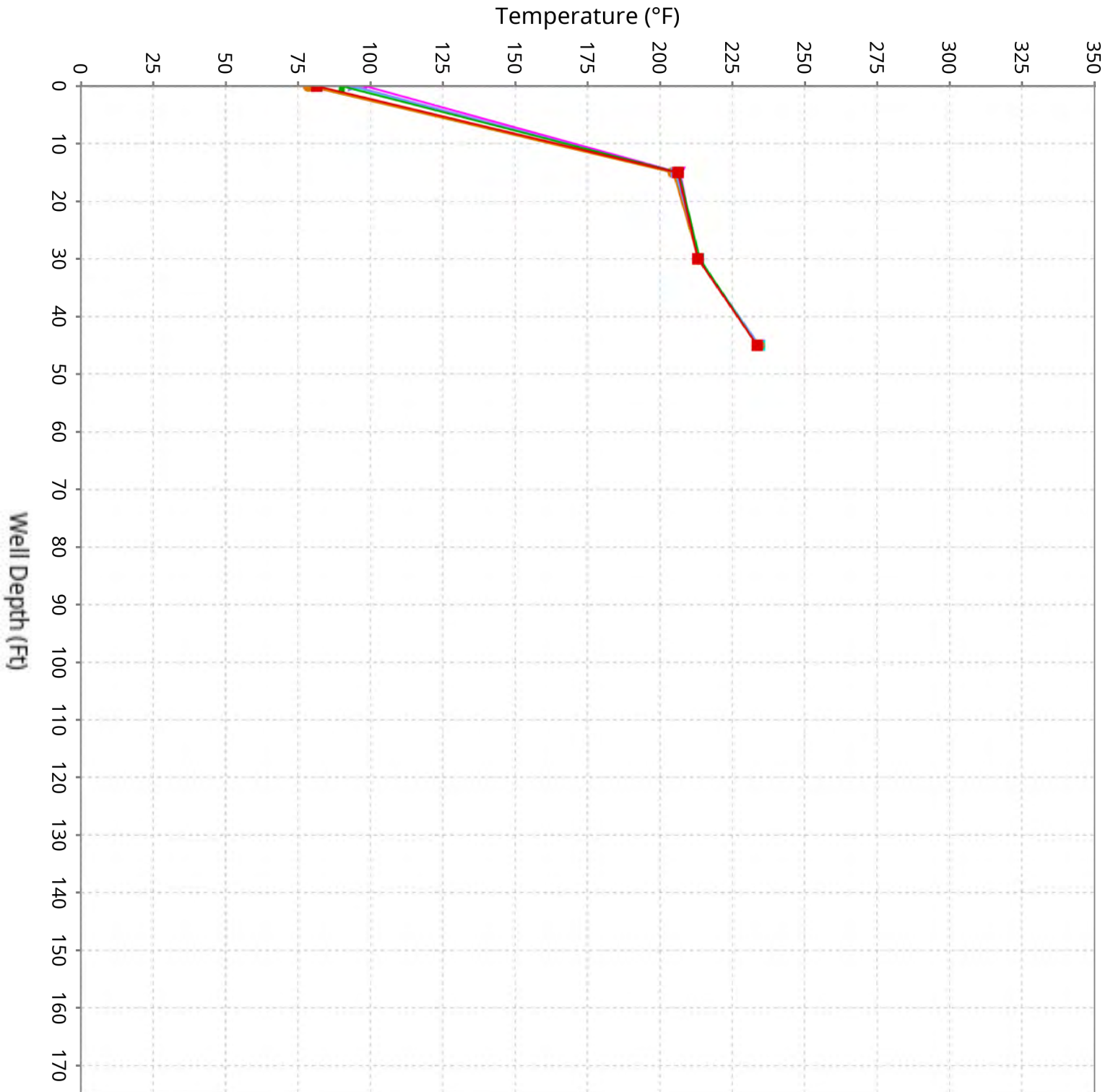
Vertical Temperature Profiles from Temperature Probes at Chiquita Landfill for TP-2

Maximum data for 1/22/2026 to 3/4/2026



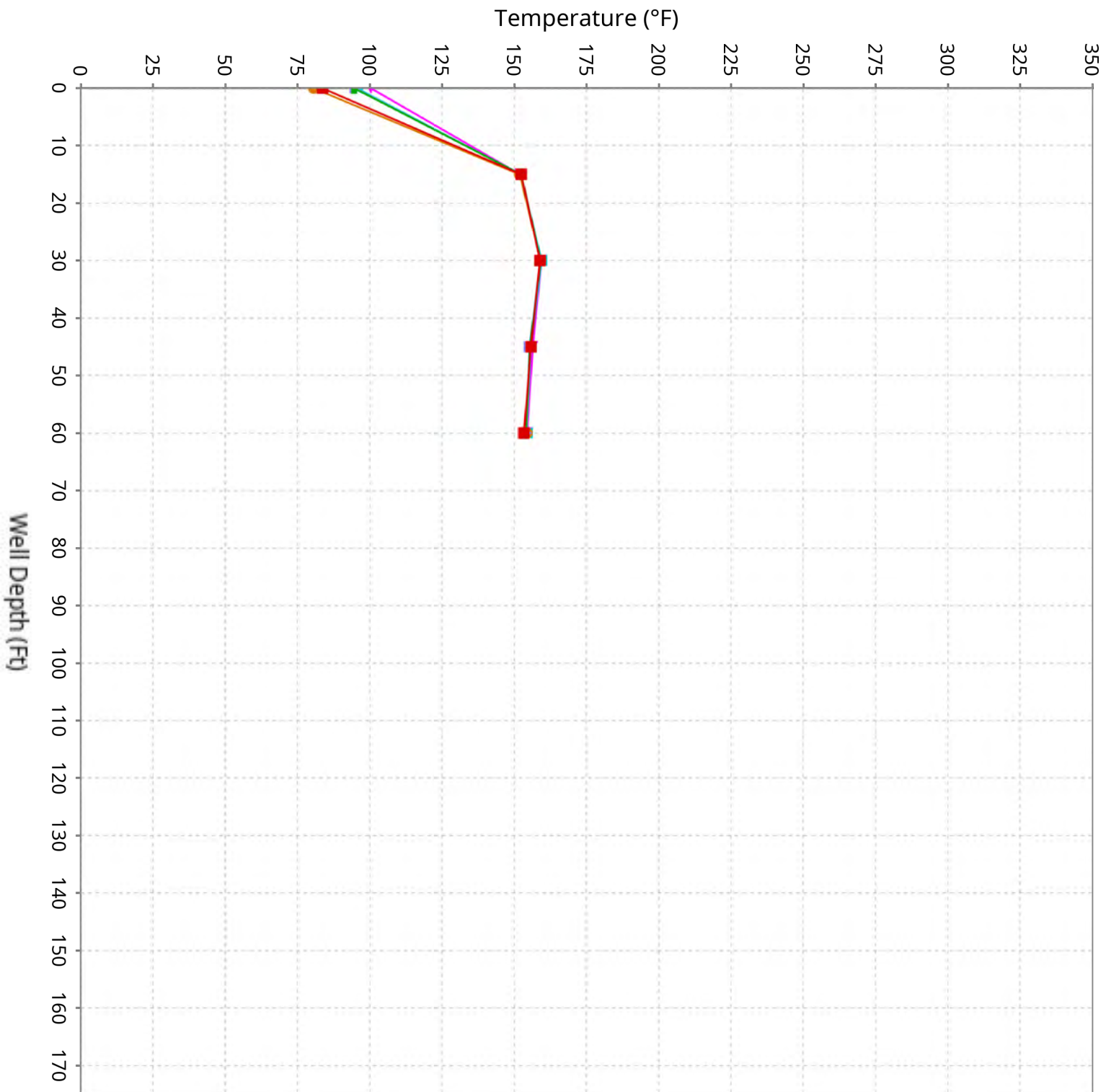
Vertical Temperature Profiles from Temperature Probes at Chiquita Landfill for TP-3

Maximum data for 1/22/2026 to 3/4/2026



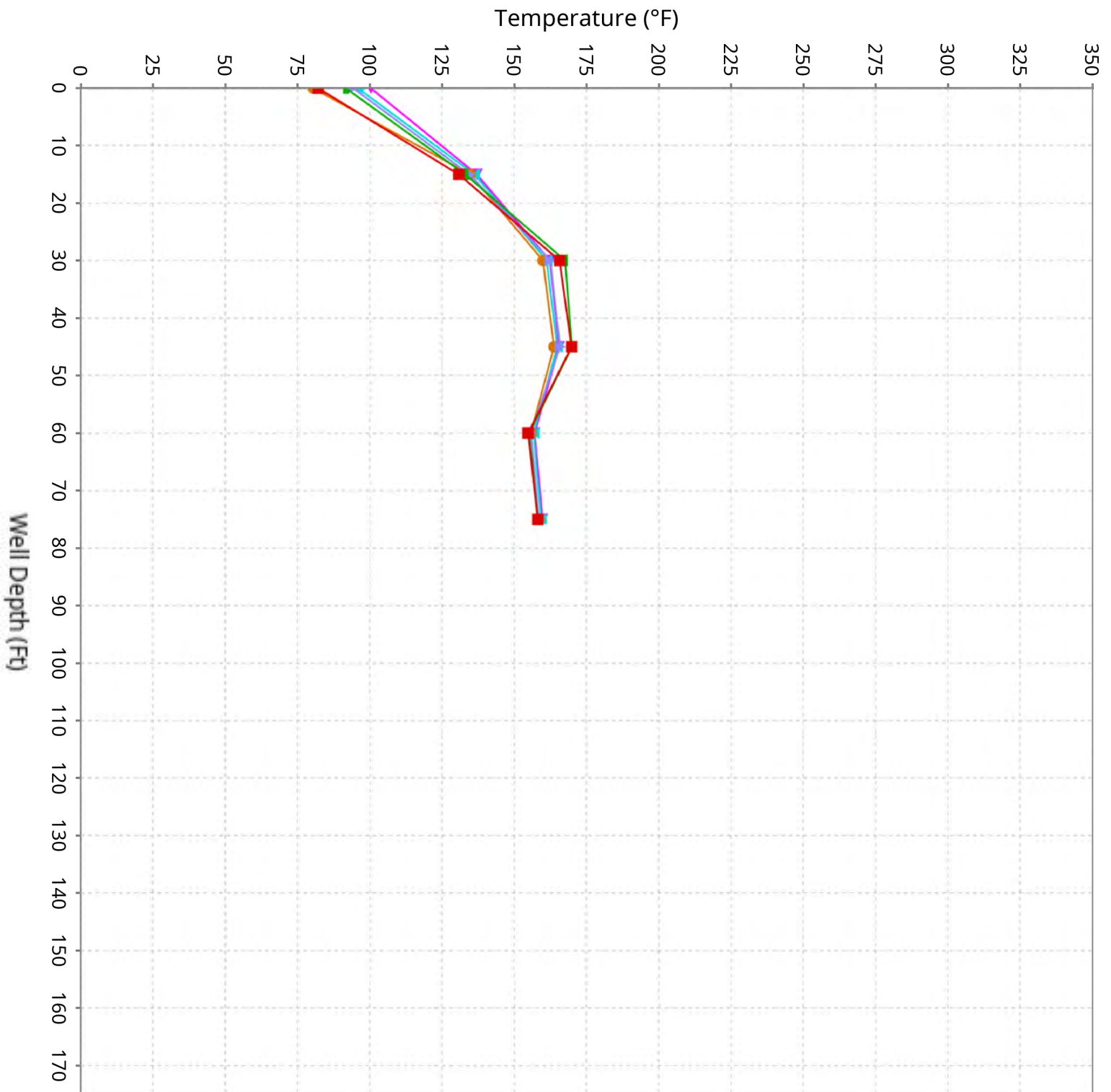
Vertical Temperature Profiles from Temperature Probes at Chiquita Landfill for TP-4

Maximum data for 1/22/2026 to 3/4/2026



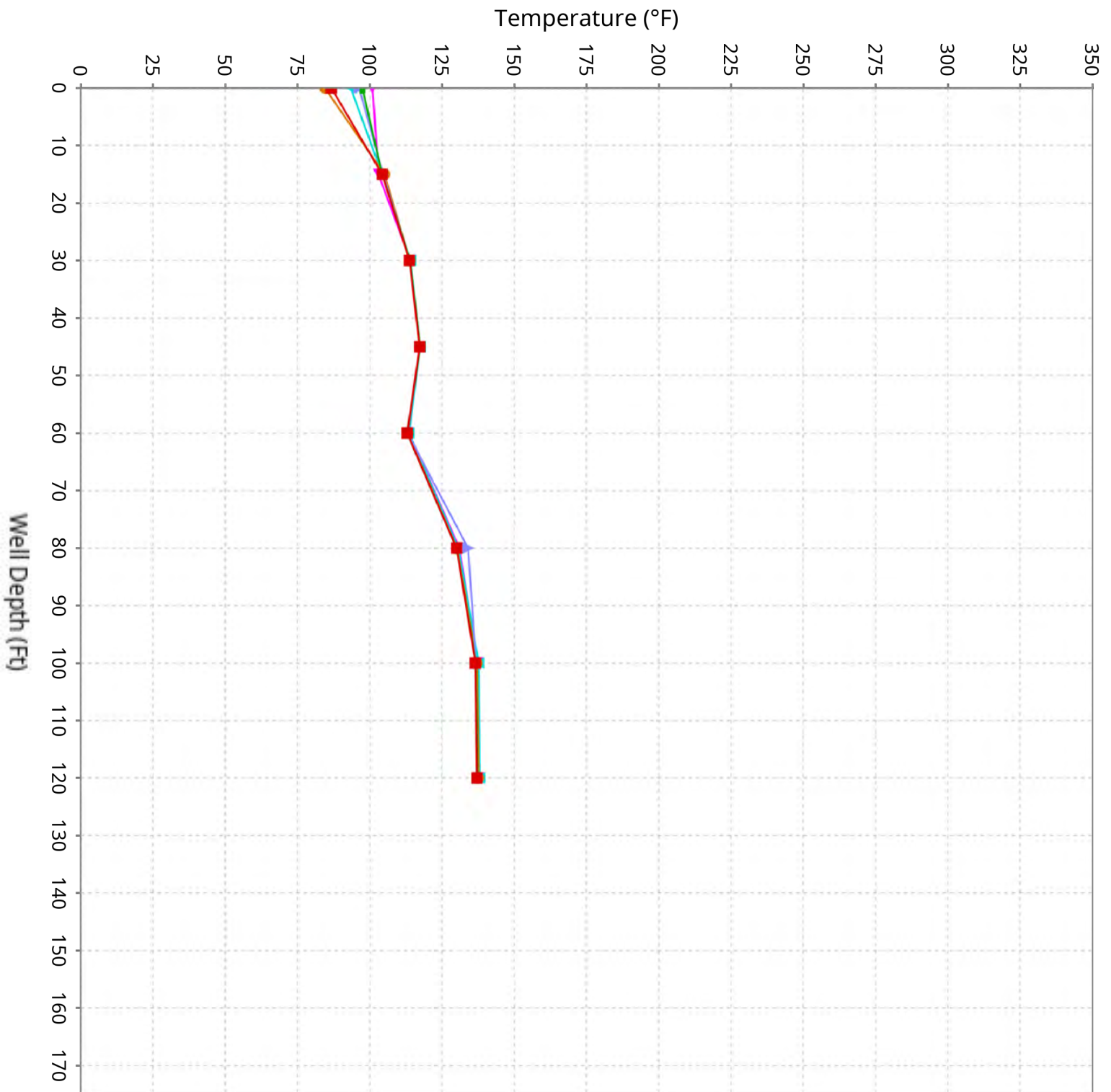
Vertical Temperature Profiles from Temperature Probes at Chiquita Landfill for TP-5

Maximum data for 1/22/2026 to 3/4/2026



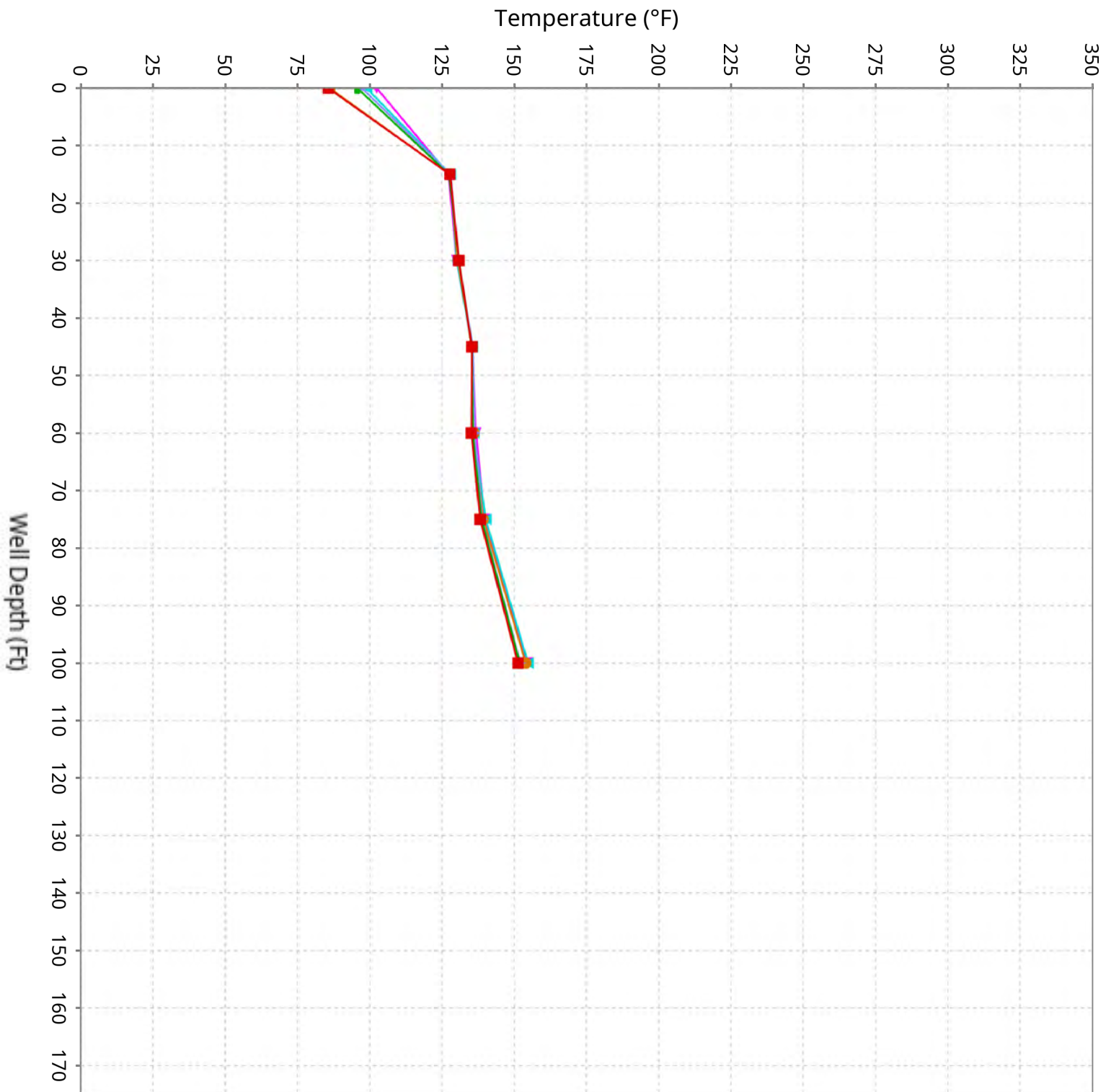
Vertical Temperature Profiles from Temperature Probes at Chiquita Landfill for TP-6

Maximum data for 1/22/2026 to 3/4/2026



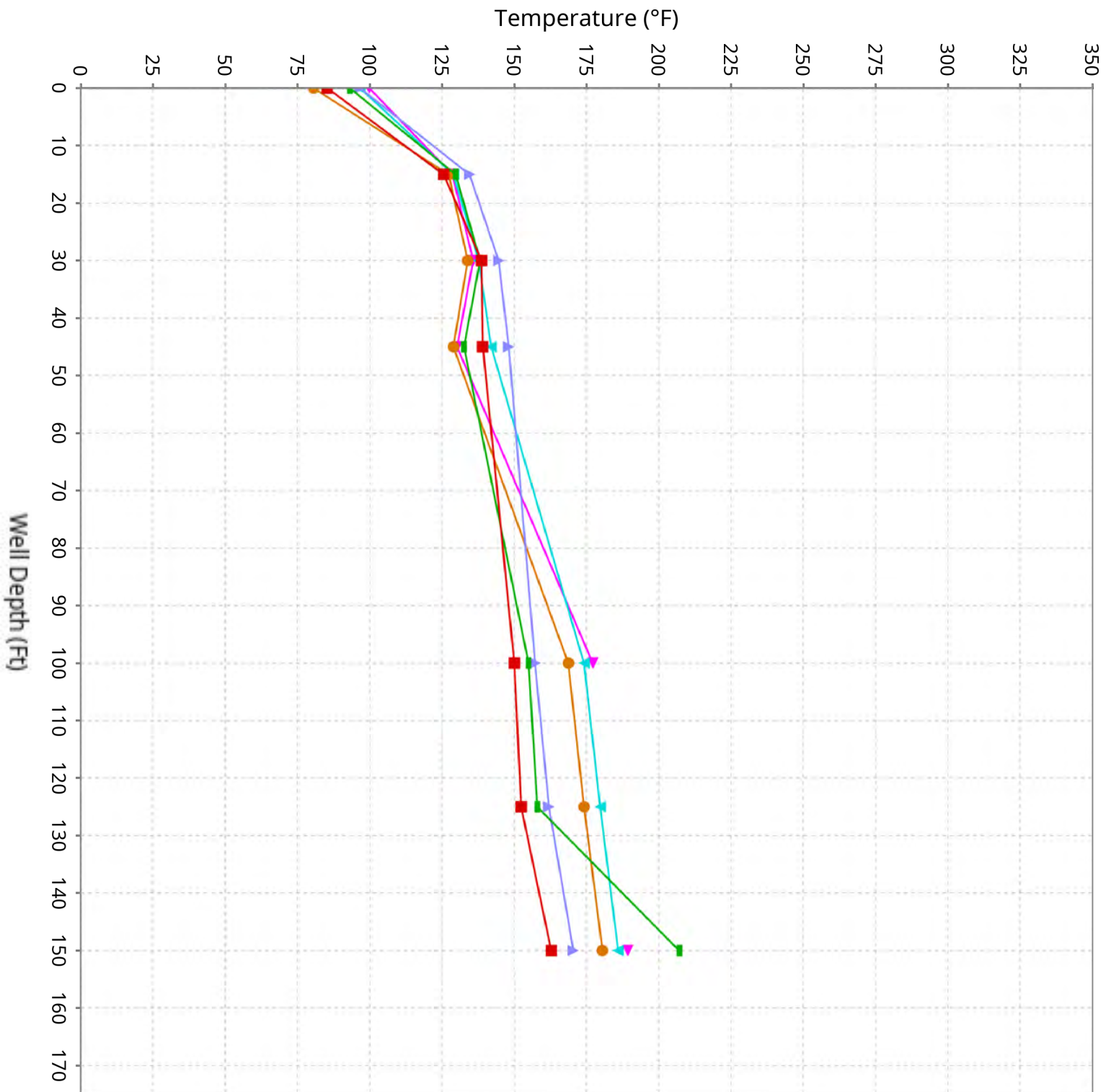
Vertical Temperature Profiles from Temperature Probes at Chiquita Landfill for TP-7

Maximum data for 1/22/2026 to 3/4/2026



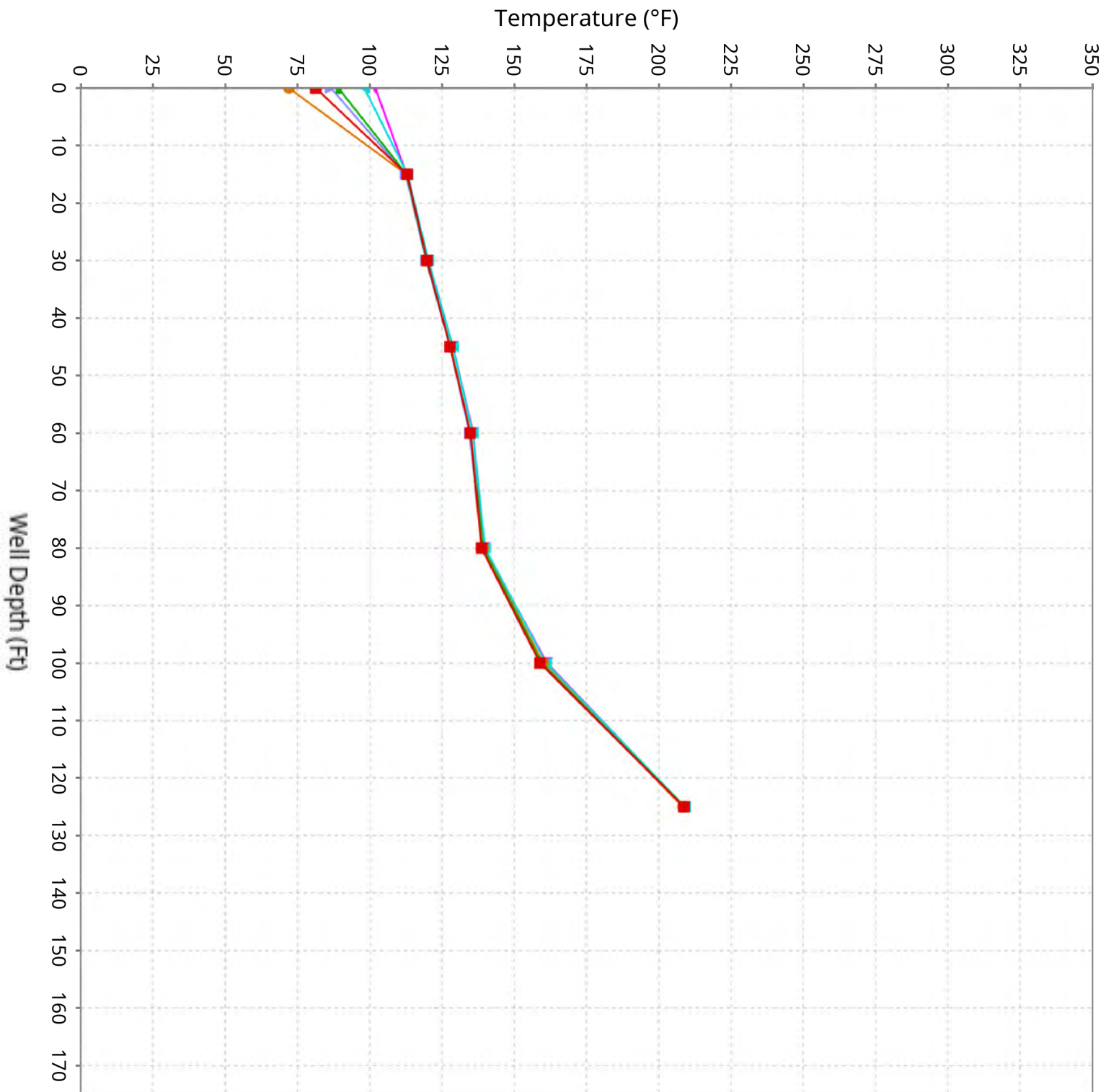
Vertical Temperature Profiles from Temperature Probes at Chiquita Landfill for TP-8

Maximum data for 1/22/2026 to 3/4/2026



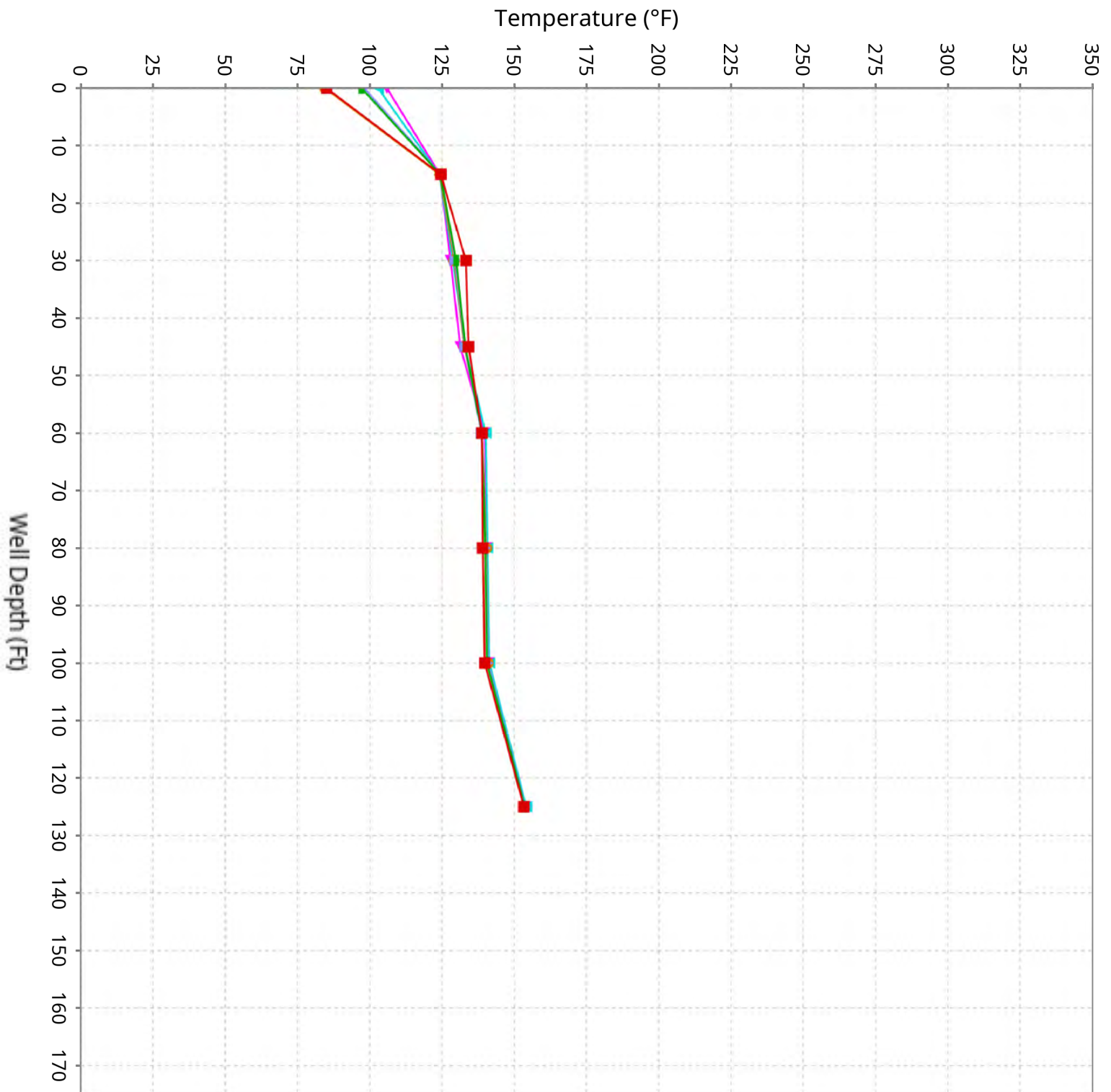
Vertical Temperature Profiles from Temperature Probes at Chiquita Landfill for TP-9

Maximum data for 1/22/2026 to 3/4/2026



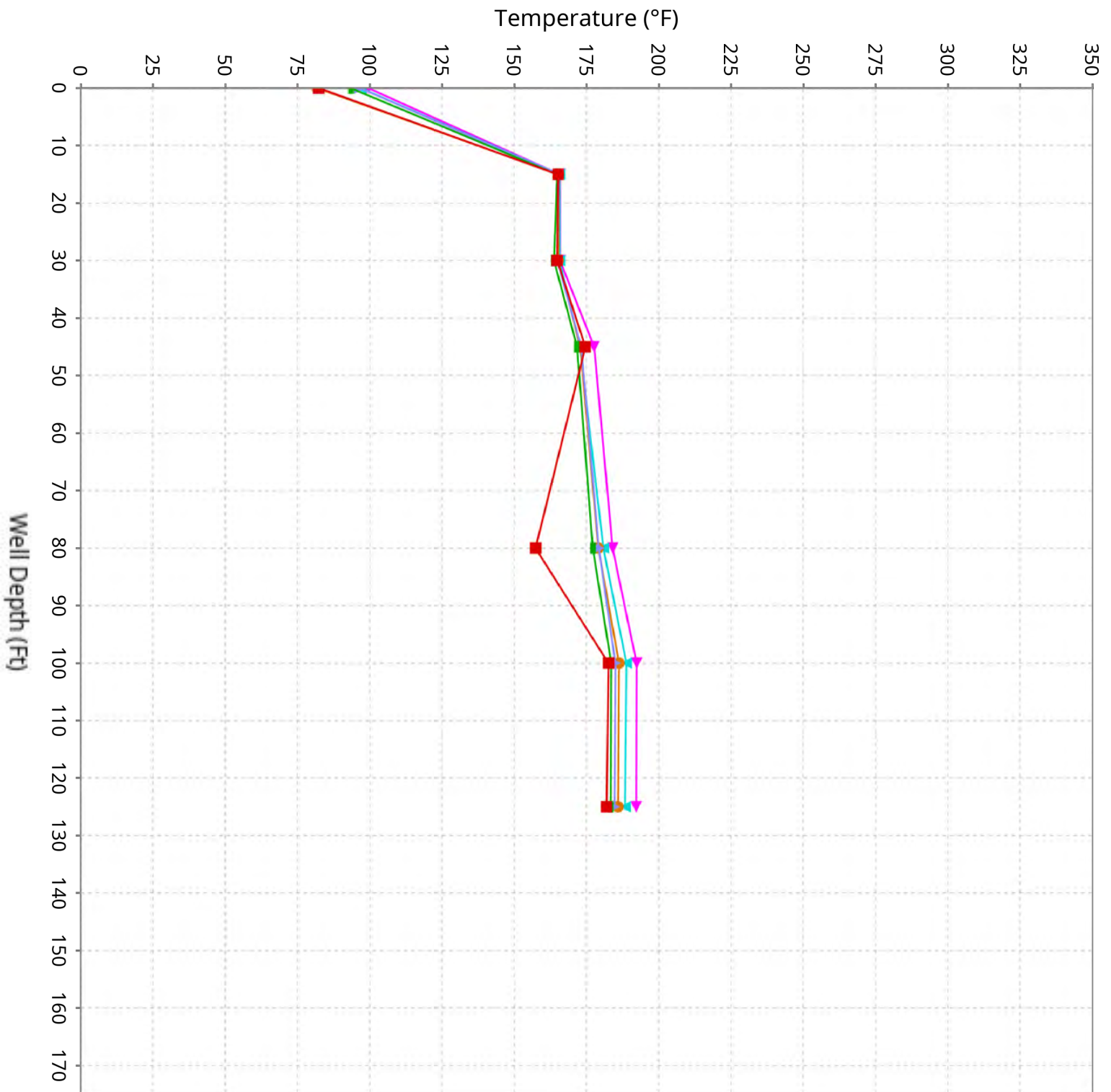
Vertical Temperature Profiles from Temperature Probes at Chiquita Landfill for TP-10

Maximum data for 1/22/2026 to 3/4/2026



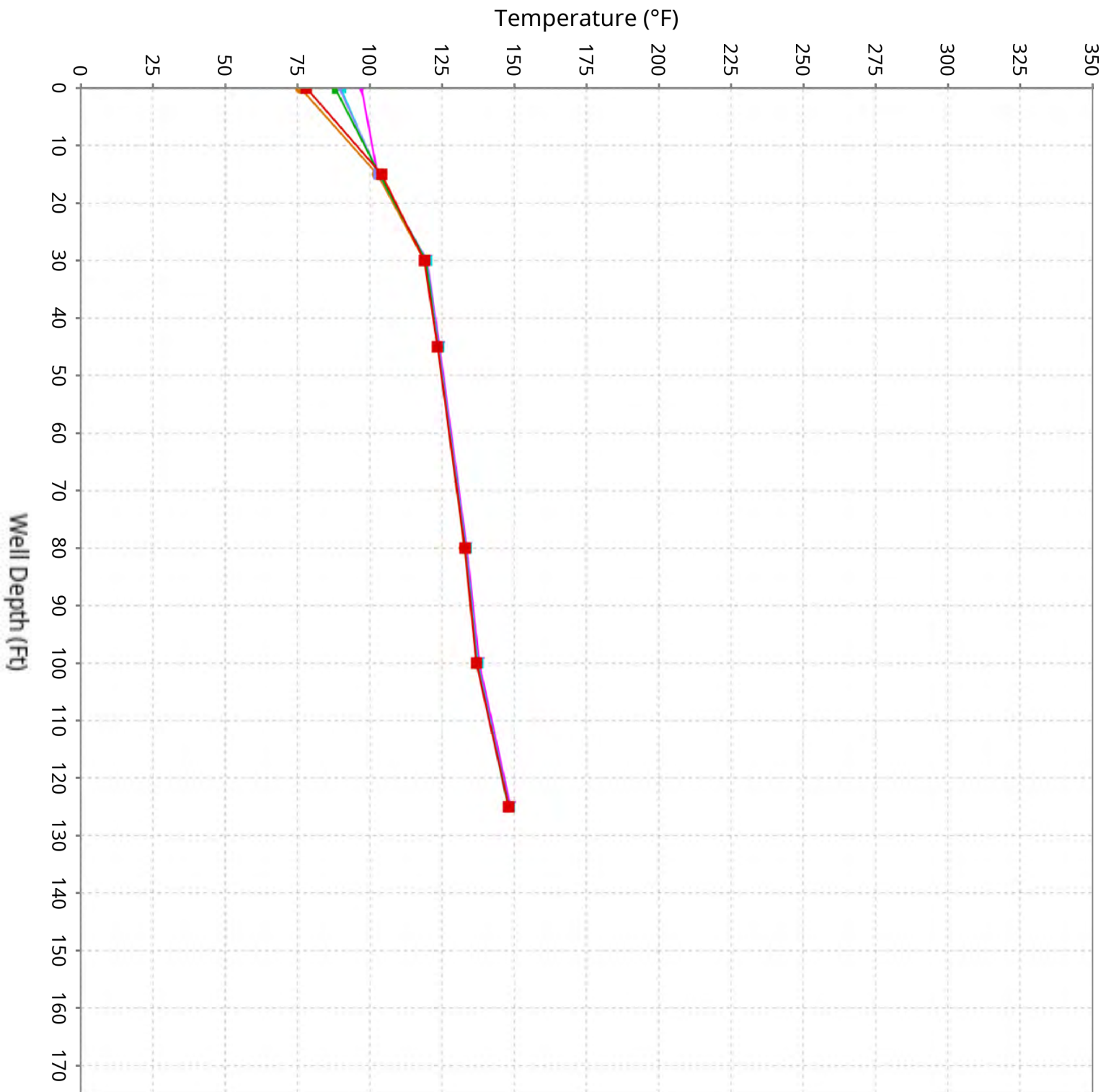
Vertical Temperature Profiles from Temperature Probes at Chiquita Landfill for TP-11

Maximum data for 1/22/2026 to 3/4/2026



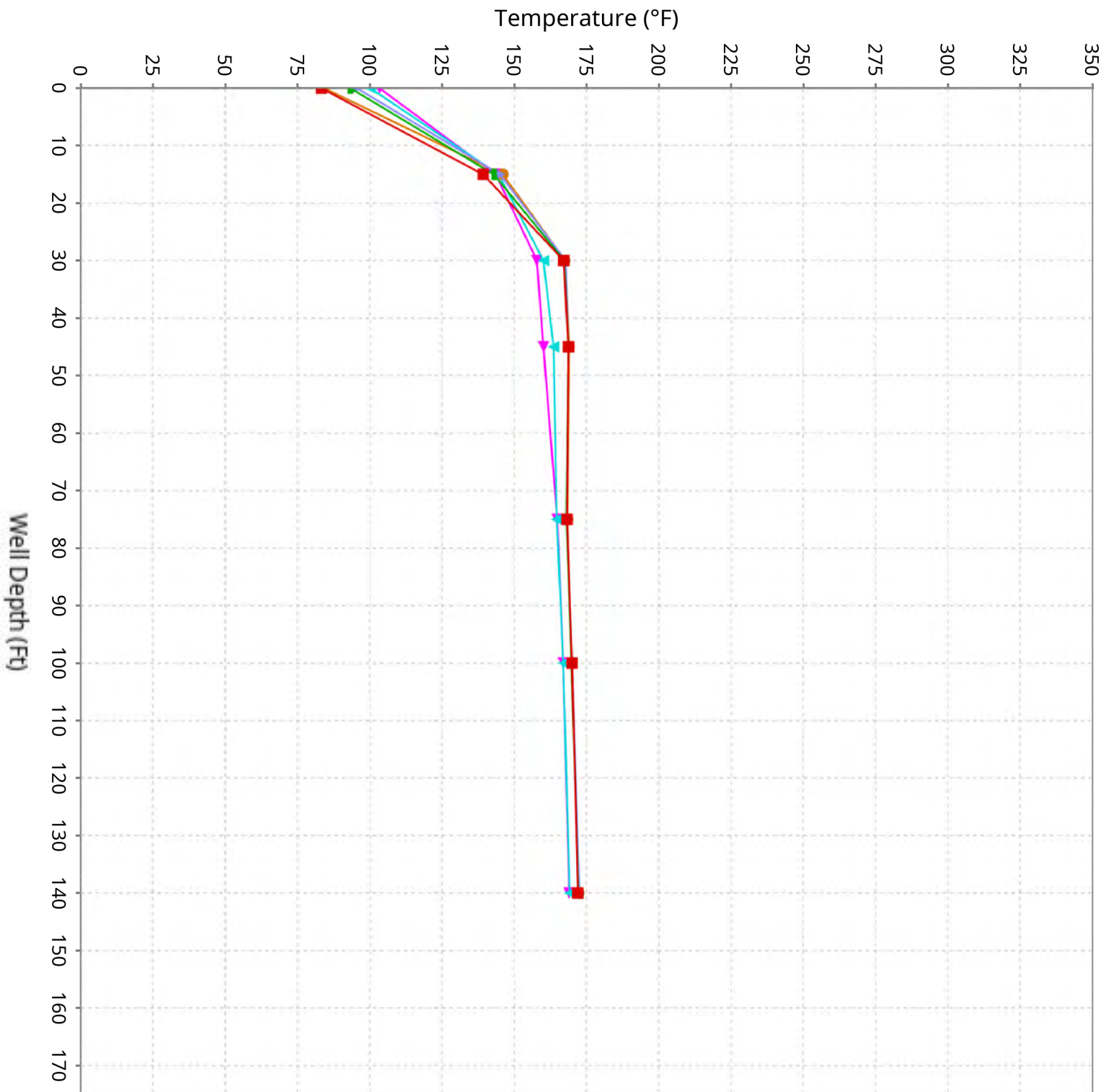
Vertical Temperature Profiles from Temperature Probes at Chiquita Landfill for TP-12

Maximum data for 1/22/2026 to 3/4/2026



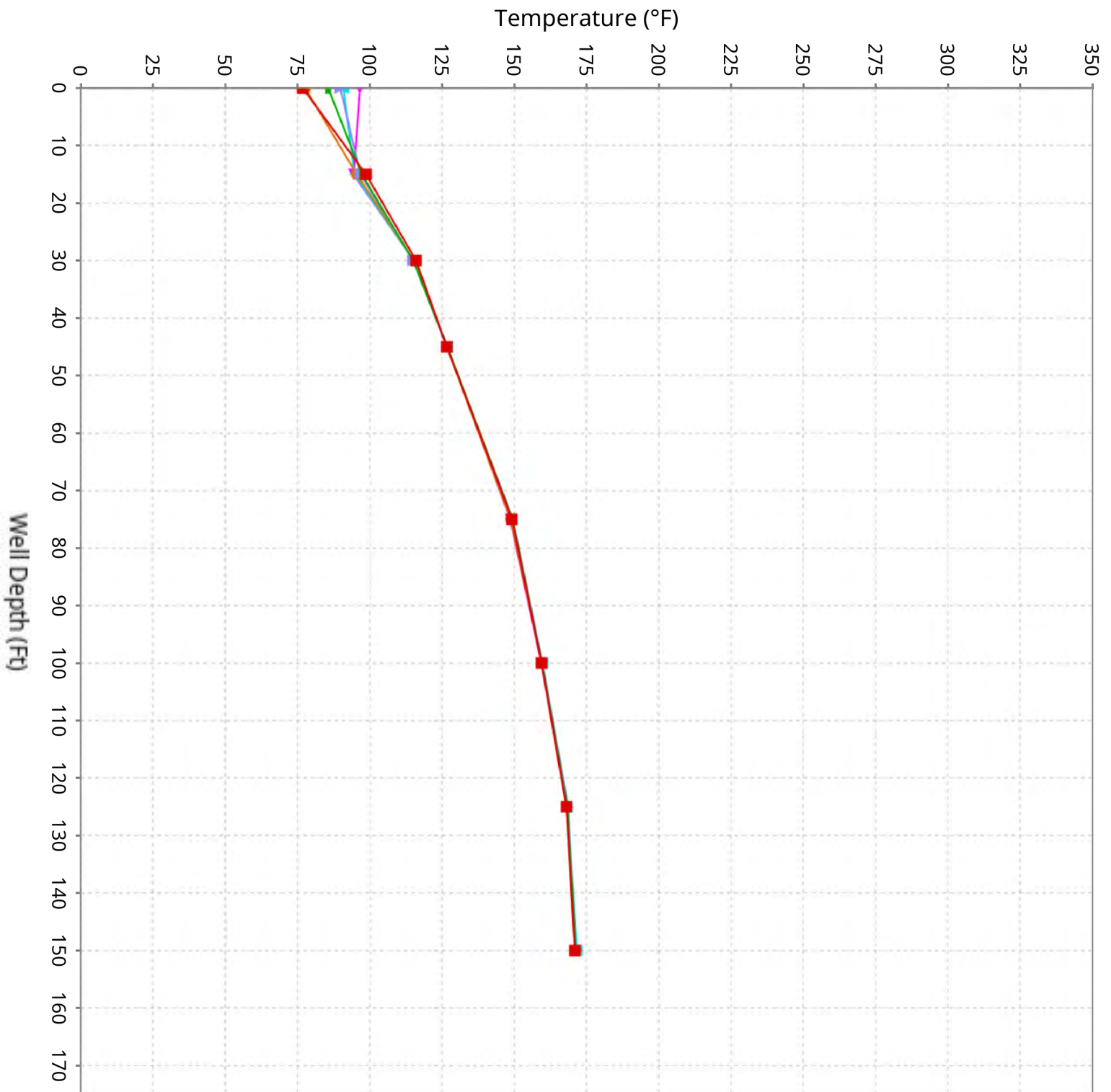
Vertical Temperature Profiles from Temperature Probes at Chiquita Landfill for TP-13

Maximum data for 1/22/2026 to 3/4/2026



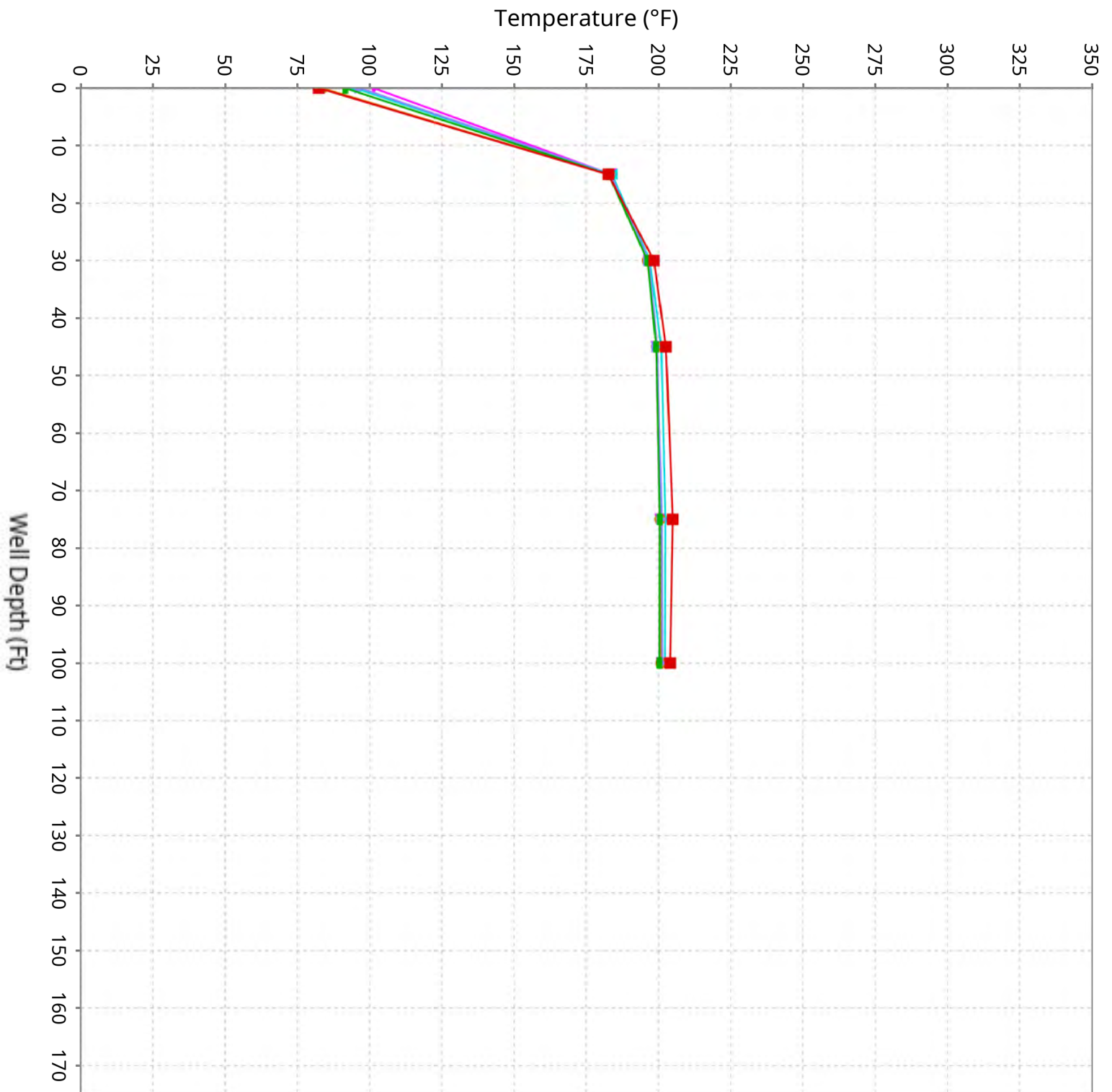
Vertical Temperature Profiles from Temperature Probes at Chiquita Landfill for TP-14

Maximum data for 1/22/2026 to 3/4/2026



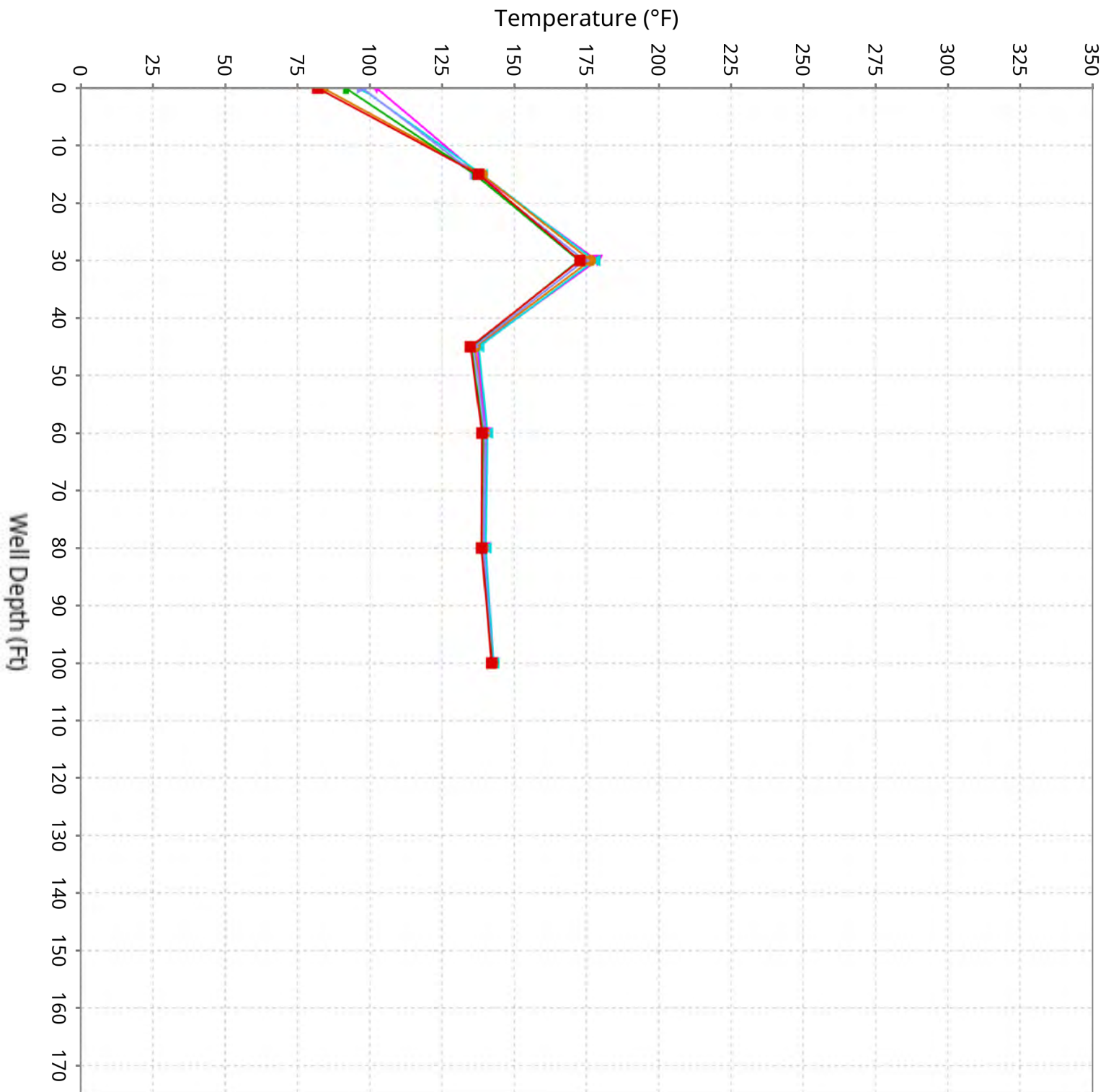
Vertical Temperature Profiles from Temperature Probes at Chiquita Landfill for TP-15

Maximum data for 1/22/2026 to 3/4/2026



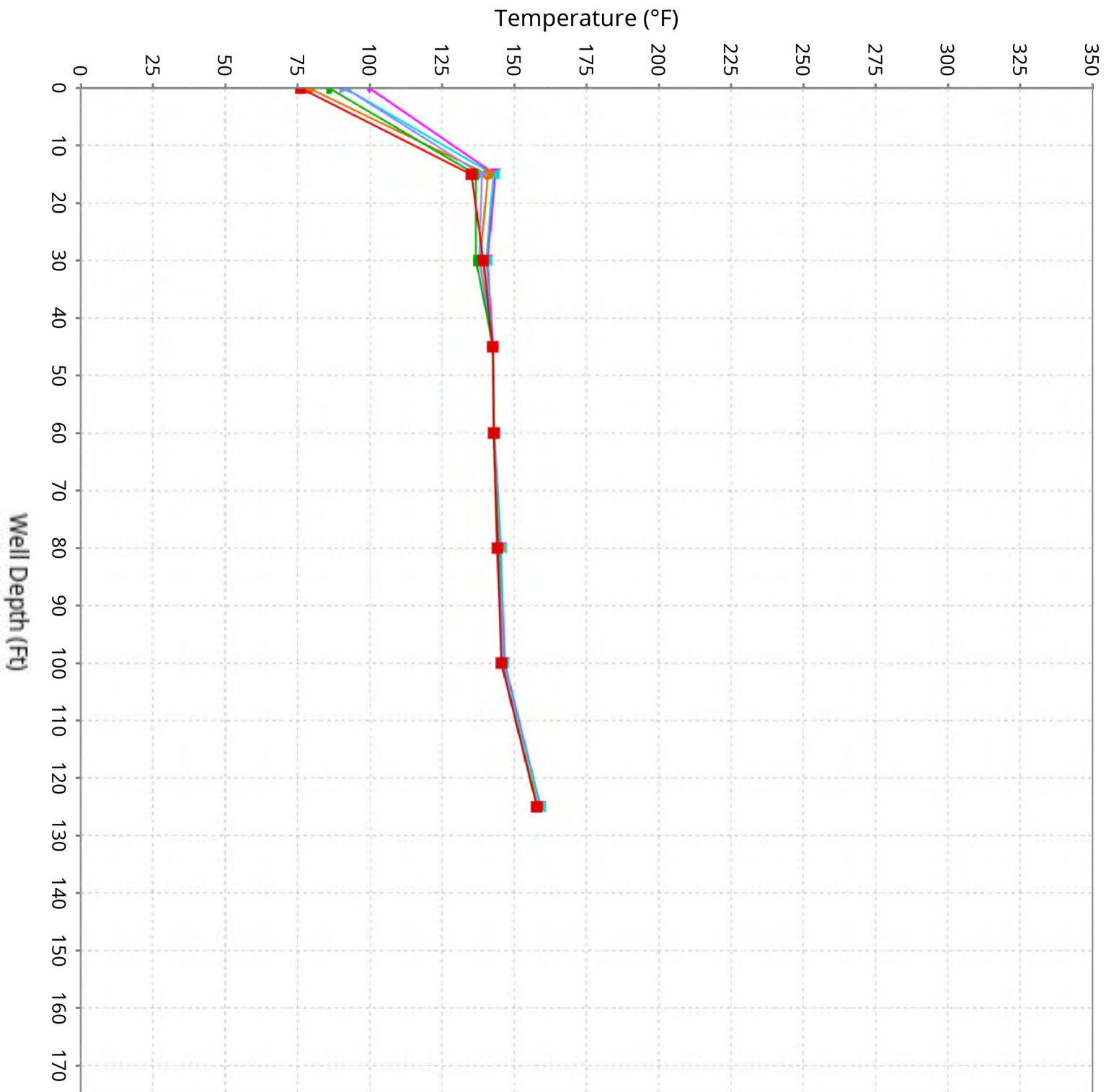
Vertical Temperature Profiles from Temperature Probes at Chiquita Landfill for TP-16

Maximum data for 1/22/2026 to 3/4/2026



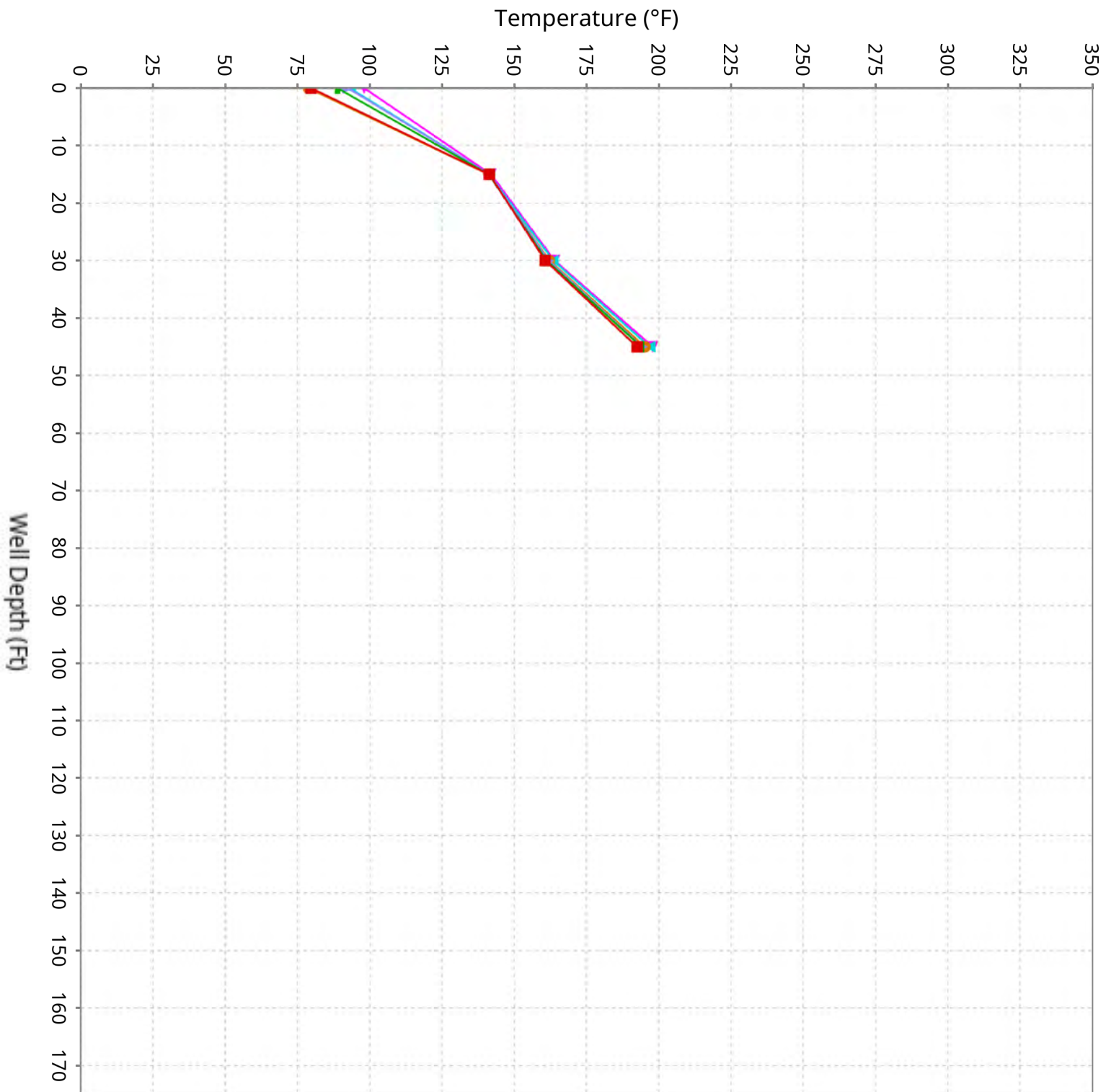
Vertical Temperature Profiles from Temperature Probes at Chiquita Landfill for TP-17

Maximum data for 1/22/2026 to 3/4/2026



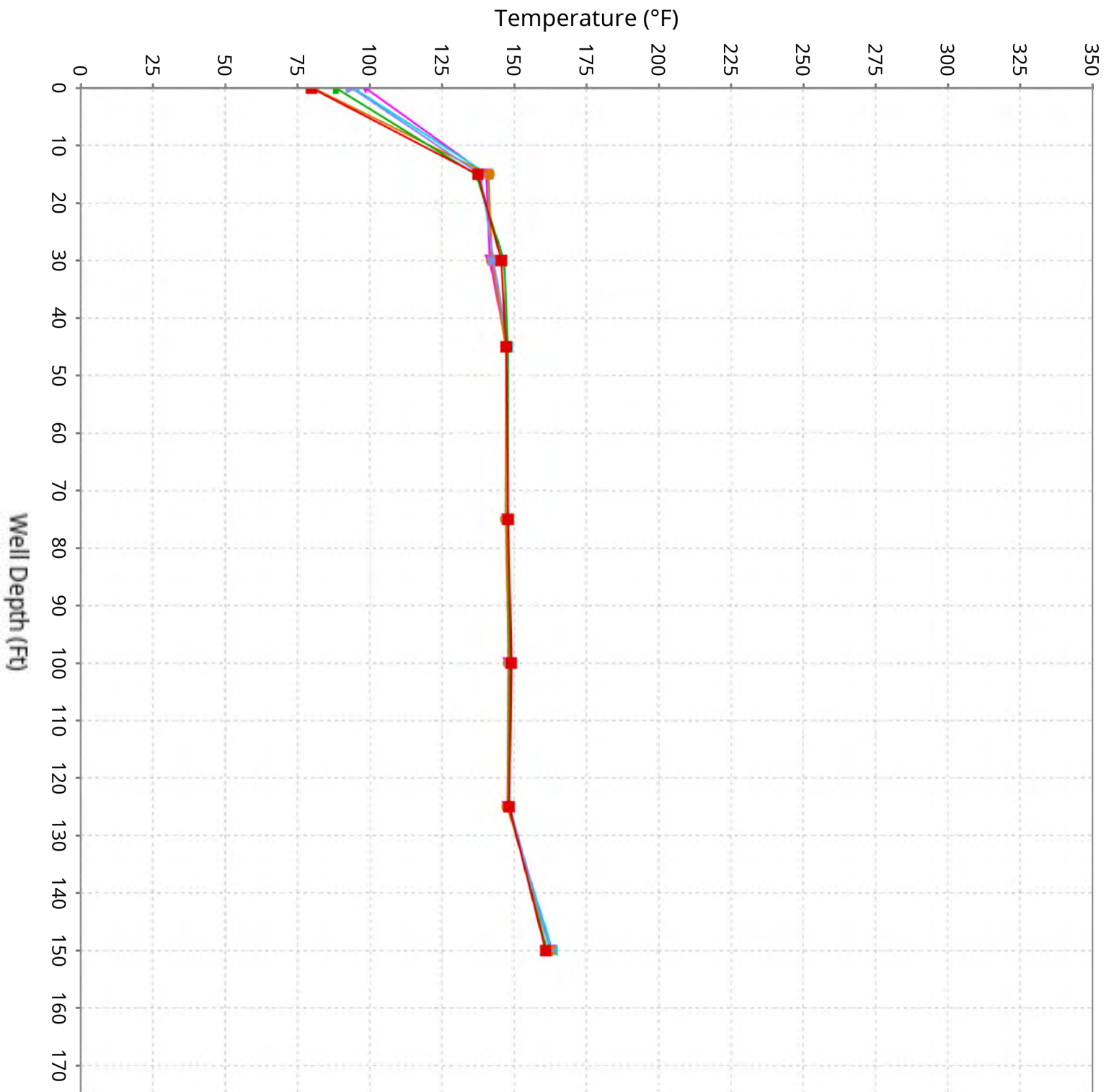
Vertical Temperature Profiles from Temperature Probes at Chiquita Landfill for TP-18

Maximum data for 1/22/2026 to 3/4/2026



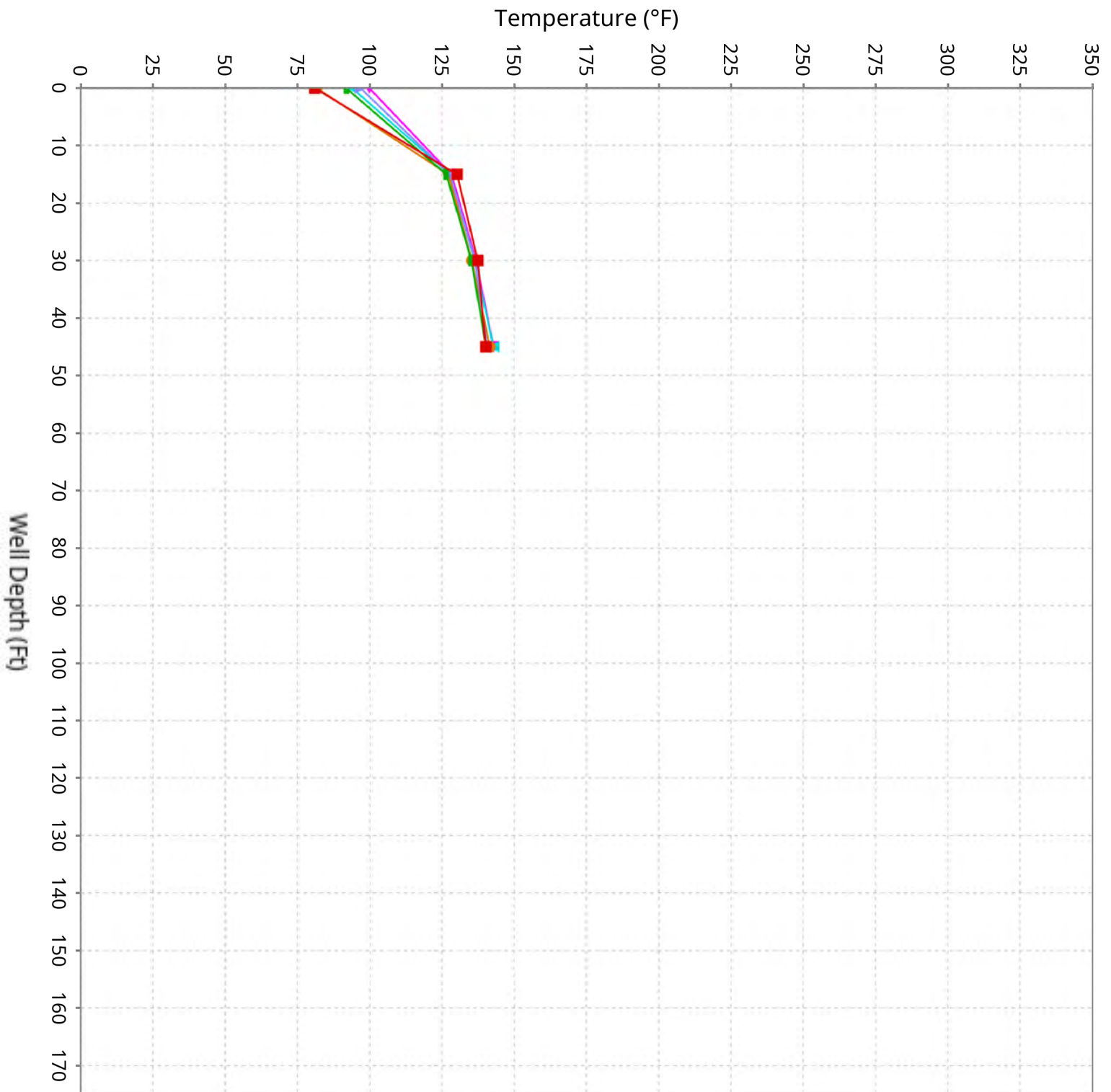
Vertical Temperature Profiles from Temperature Probes at Chiquita Landfill for TP-19

Maximum data for 1/22/2026 to 3/4/2026



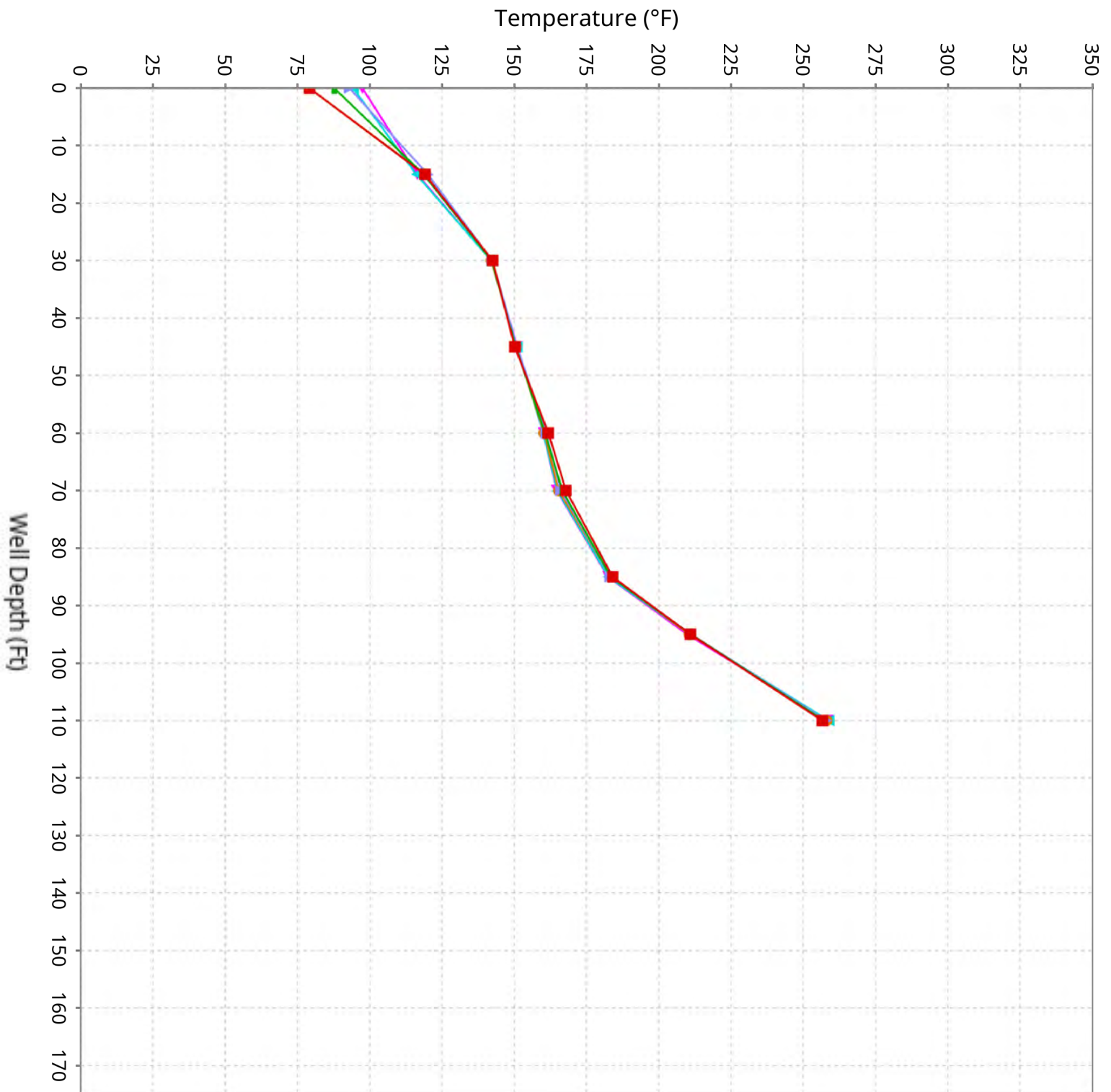
Vertical Temperature Profiles from Temperature Probes at Chiquita Landfill for TP-20

Maximum data for 1/22/2026 to 3/4/2026



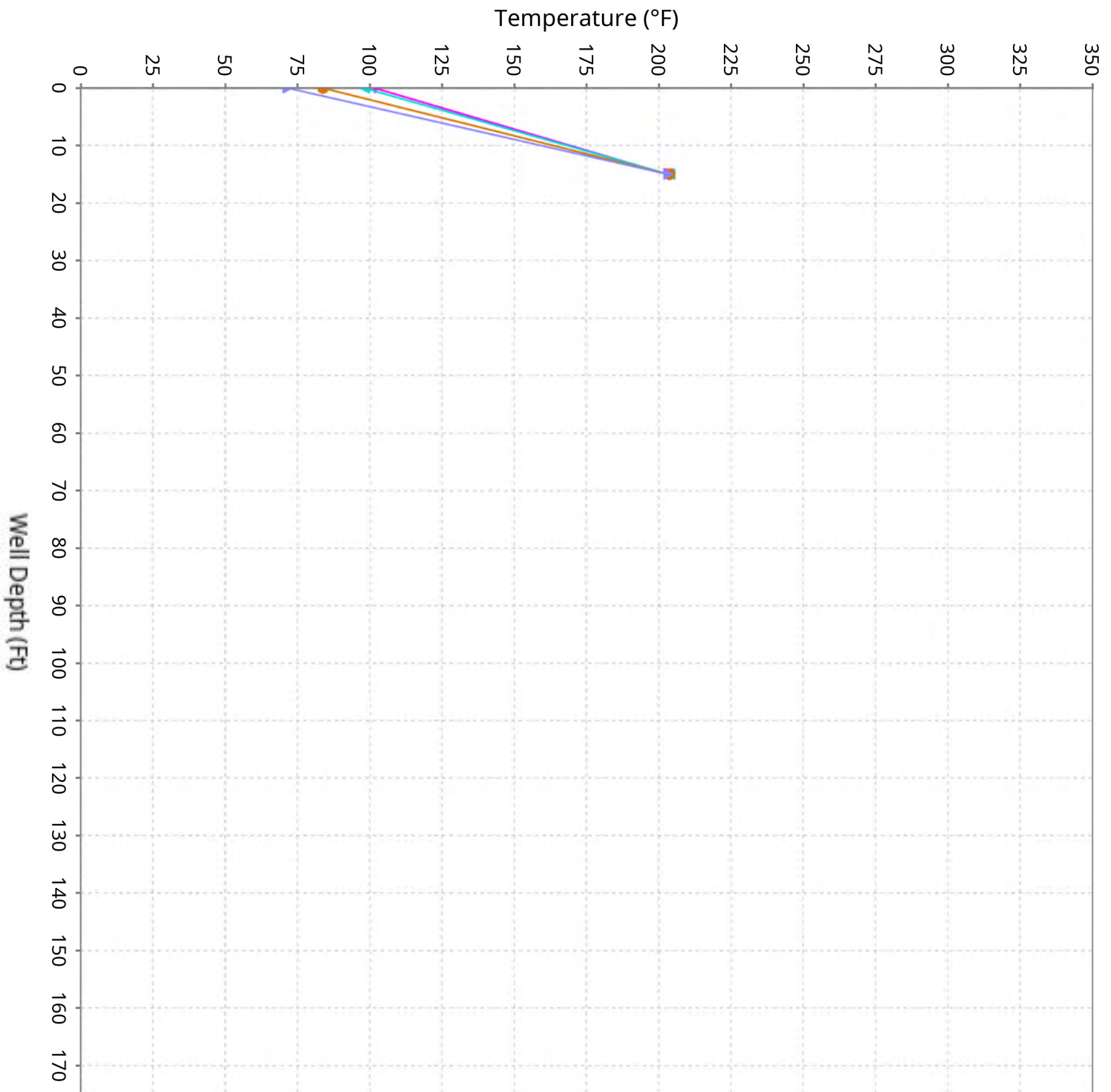
Vertical Temperature Profiles from Temperature Probes at Chiquita Landfill for TP-21

Maximum data for 1/22/2026 to 3/4/2026



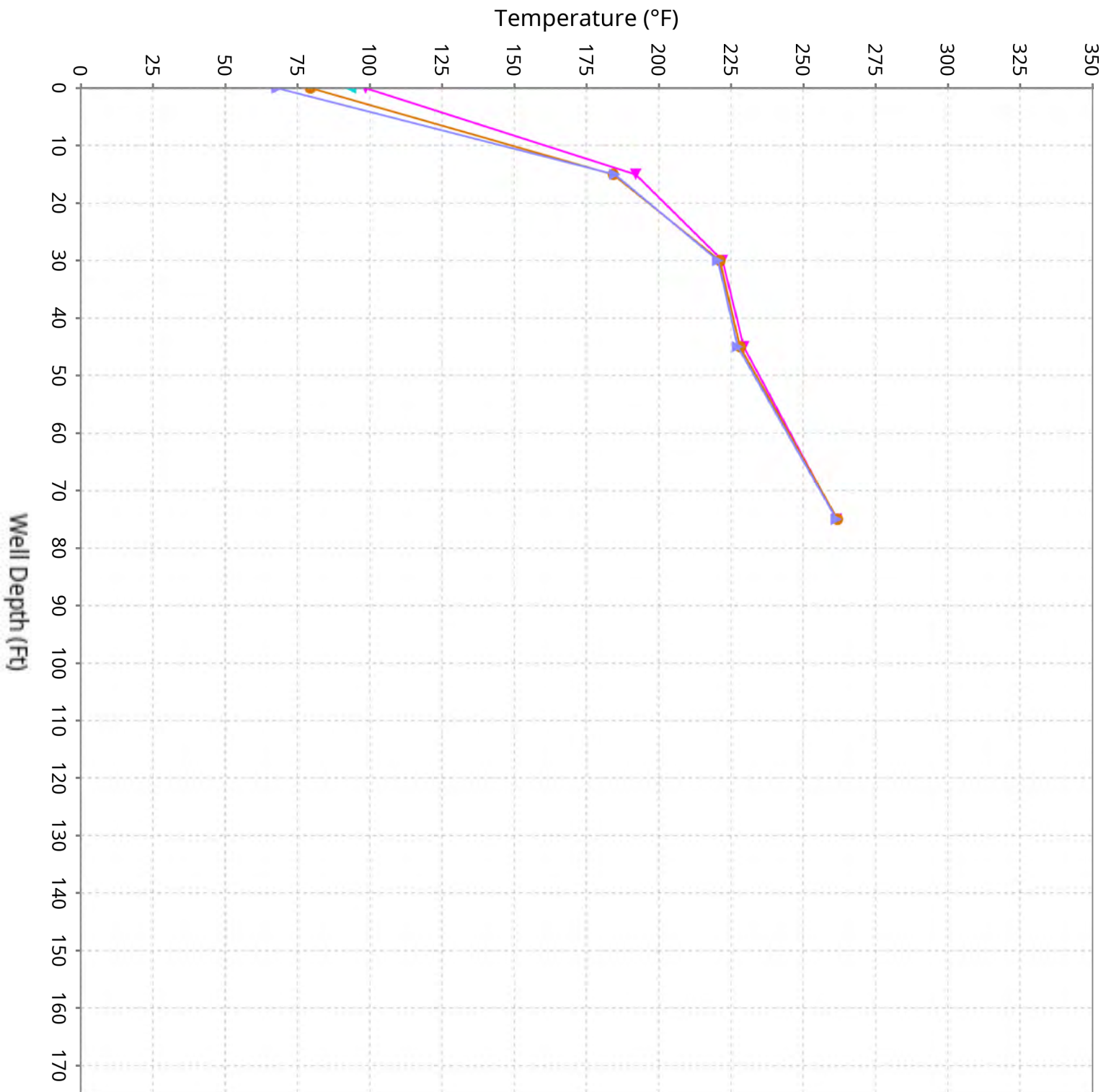
Vertical Temperature Profiles from Temperature Probes at Chiquita Landfill for TP-22

Maximum data for 1/22/2026 to 3/4/2026



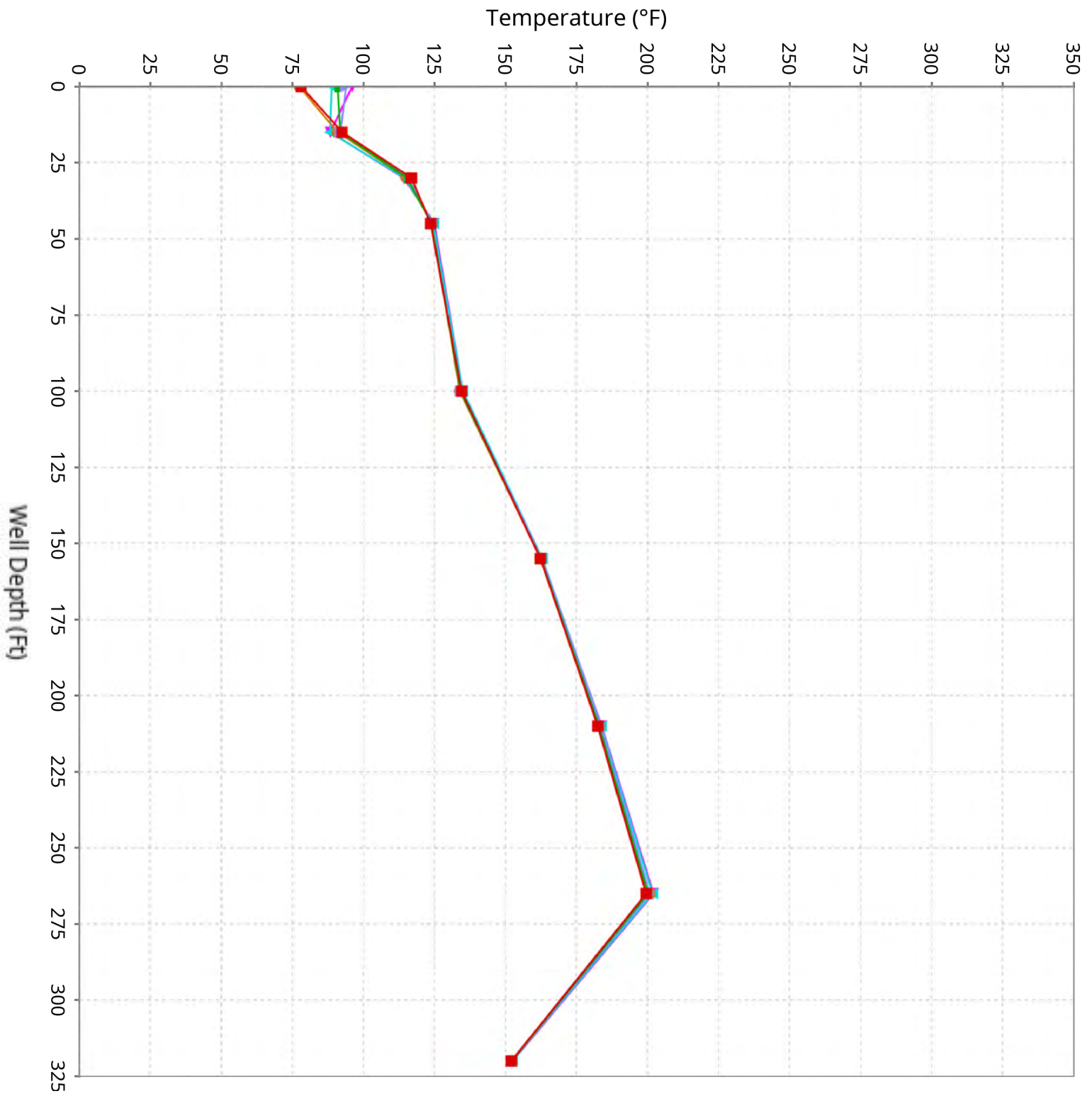
Vertical Temperature Profiles from Temperature Probes at Chiquita Landfill for TP-23

Maximum data for 1/22/2026 to 3/4/2026



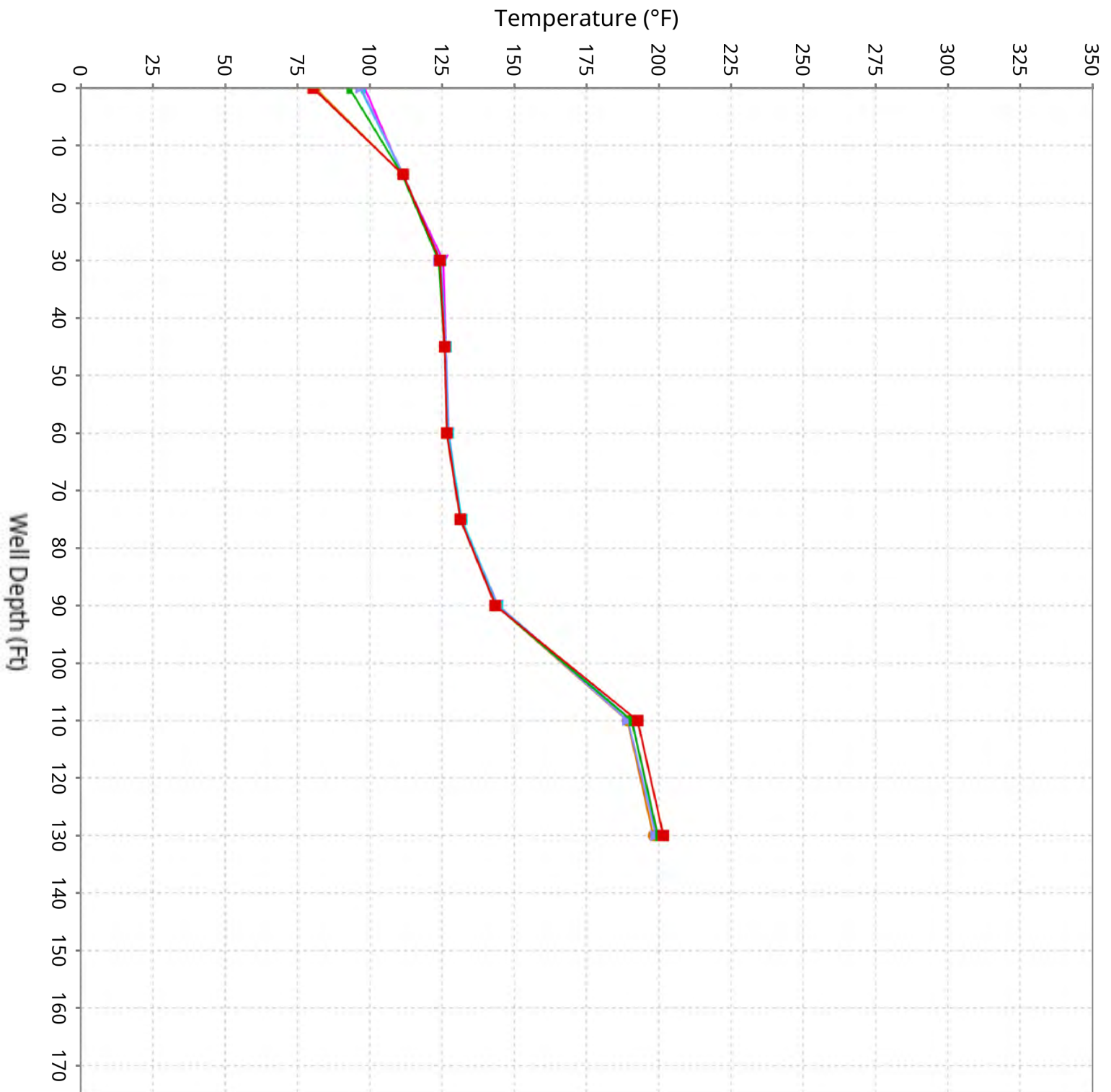
Vertical Temperature Profiles from Temperature Probes at Chiquita Landfill for TP-24

Maximum data for 1/22/2026 to 3/4/2026



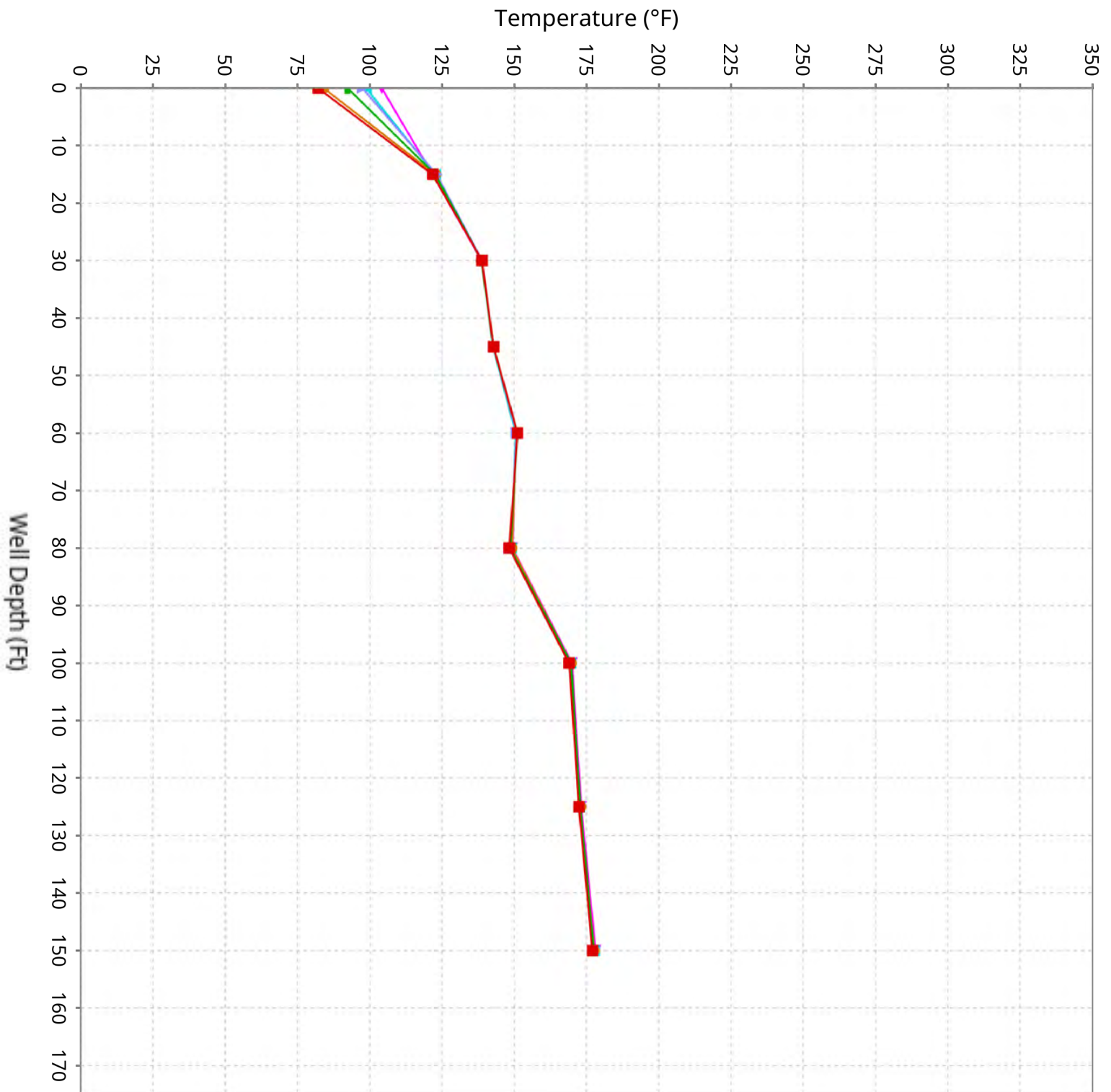
Vertical Temperature Profiles from Temperature Probes at Chiquita Landfill for TP-25

Maximum data for 1/22/2026 to 3/4/2026



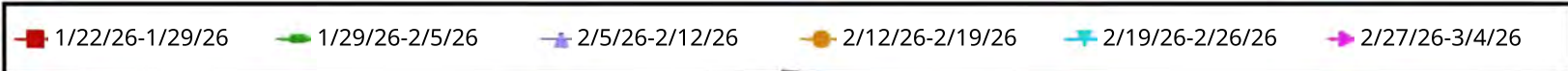
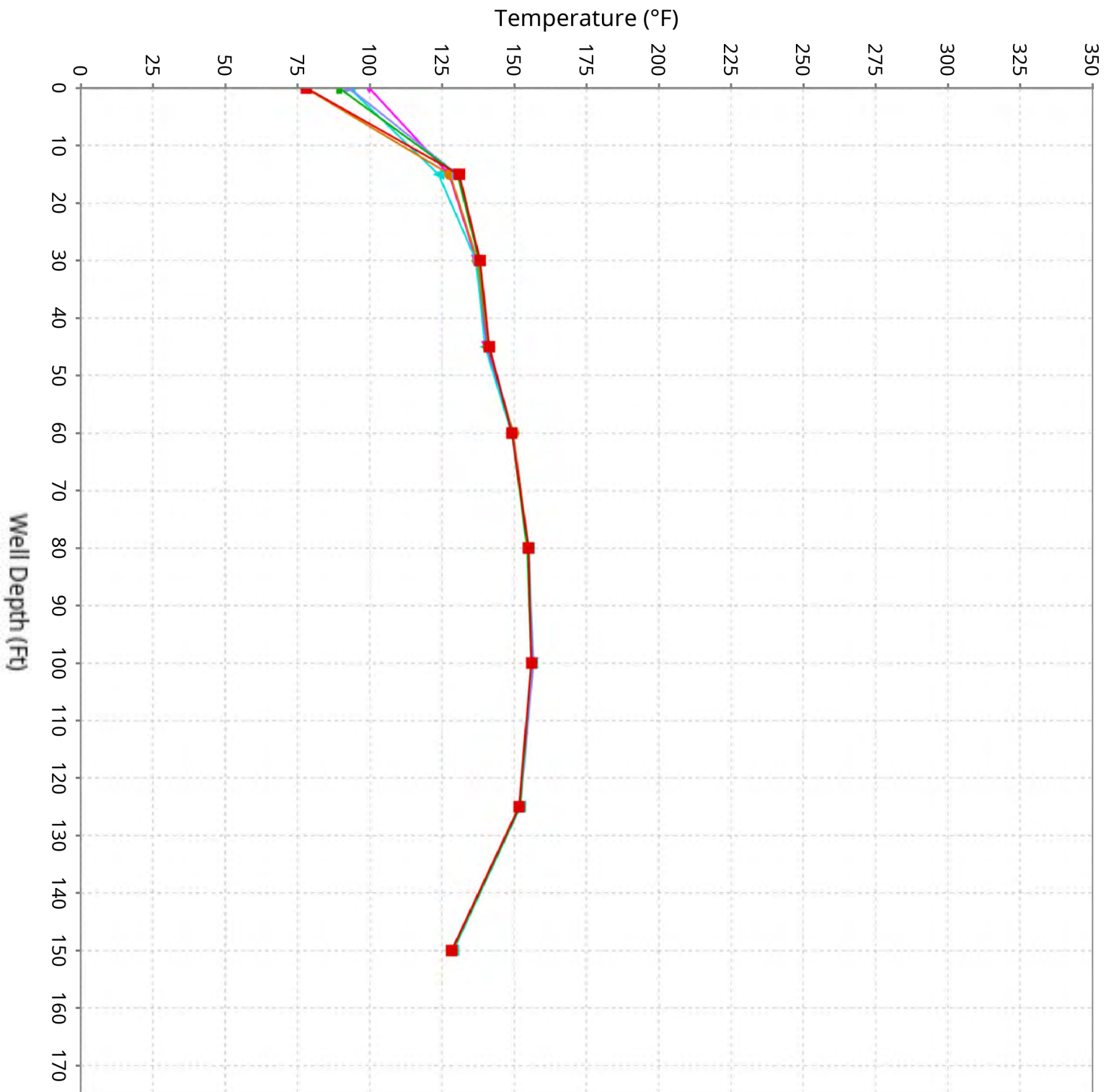
Vertical Temperature Profiles from Temperature Probes at Chiquita Landfill for TP-26

Maximum data for 1/22/2026 to 3/4/2026



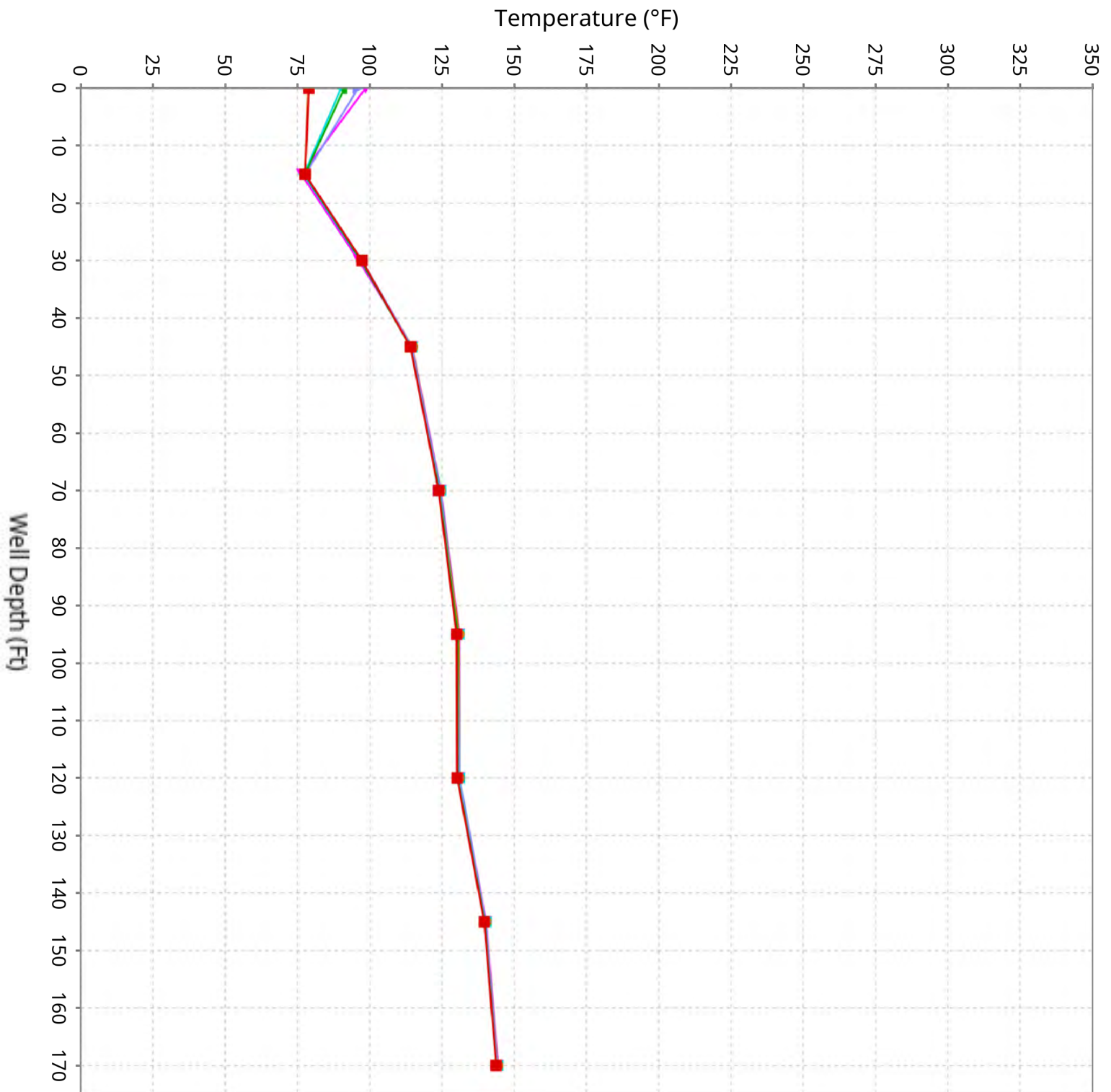
Vertical Temperature Profiles from Temperature Probes at Chiquita Landfill for TP-27

Maximum data for 1/22/2026 to 3/4/2026



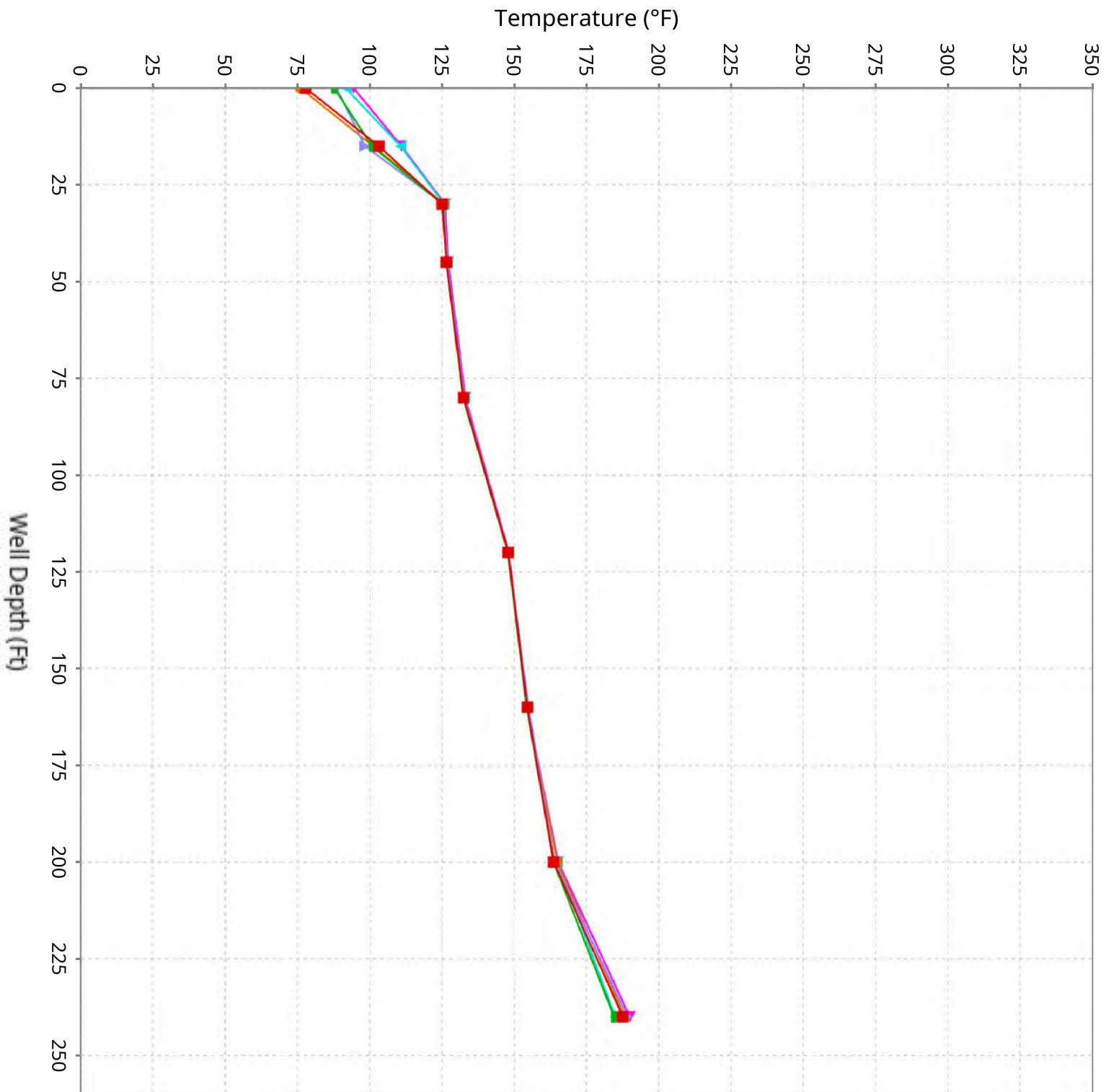
Vertical Temperature Profiles from Temperature Probes at Chiquita Landfill for TP-28

Maximum data for 1/22/2026 to 3/4/2026



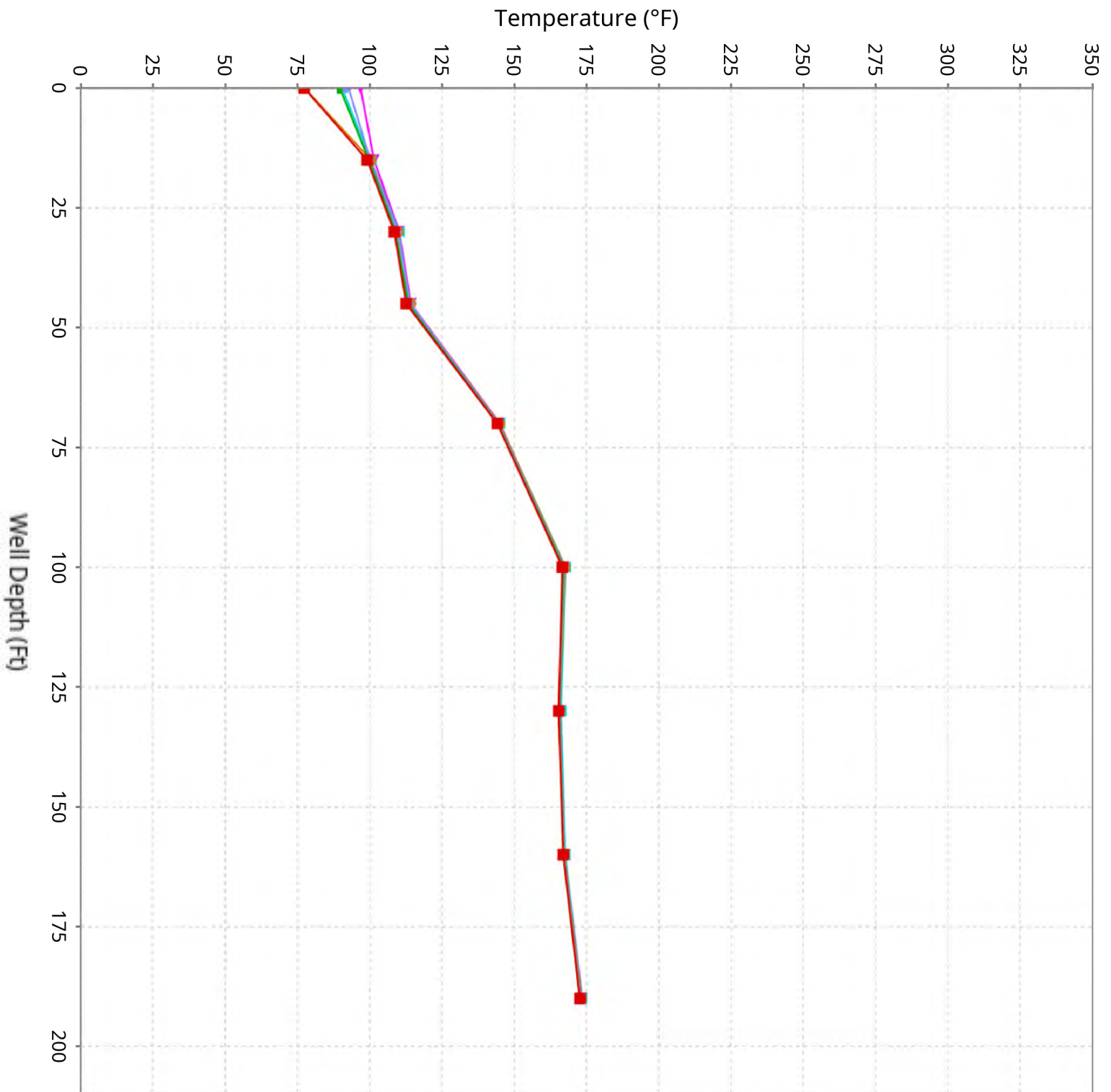
Vertical Temperature Profiles from Temperature Probes at Chiquita Landfill for TP-29

Maximum data for 1/22/2026 to 3/4/2026



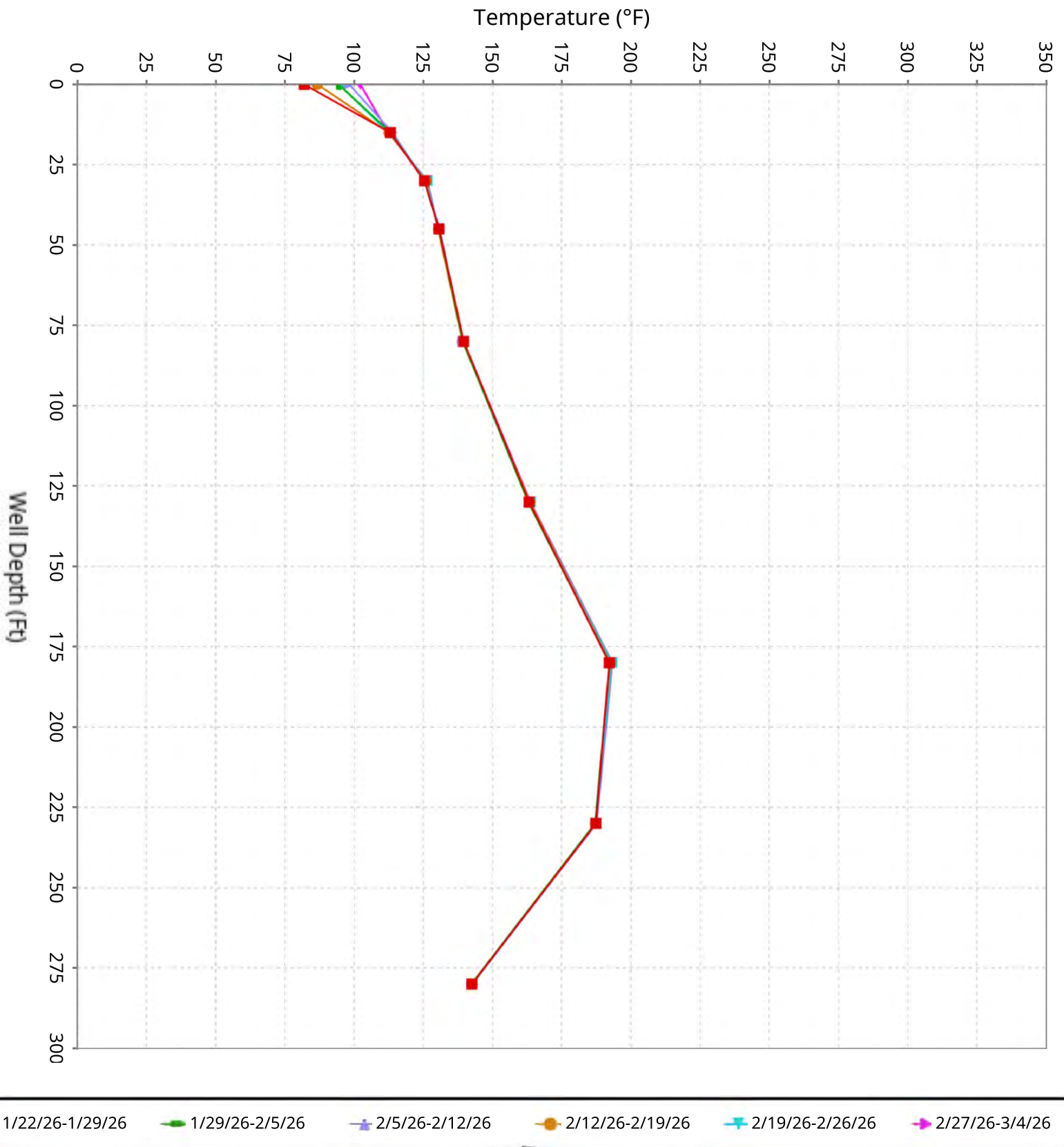
Vertical Temperature Profiles from Temperature Probes at Chiquita Landfill for TP-30

Maximum data for 1/22/2026 to 3/4/2026



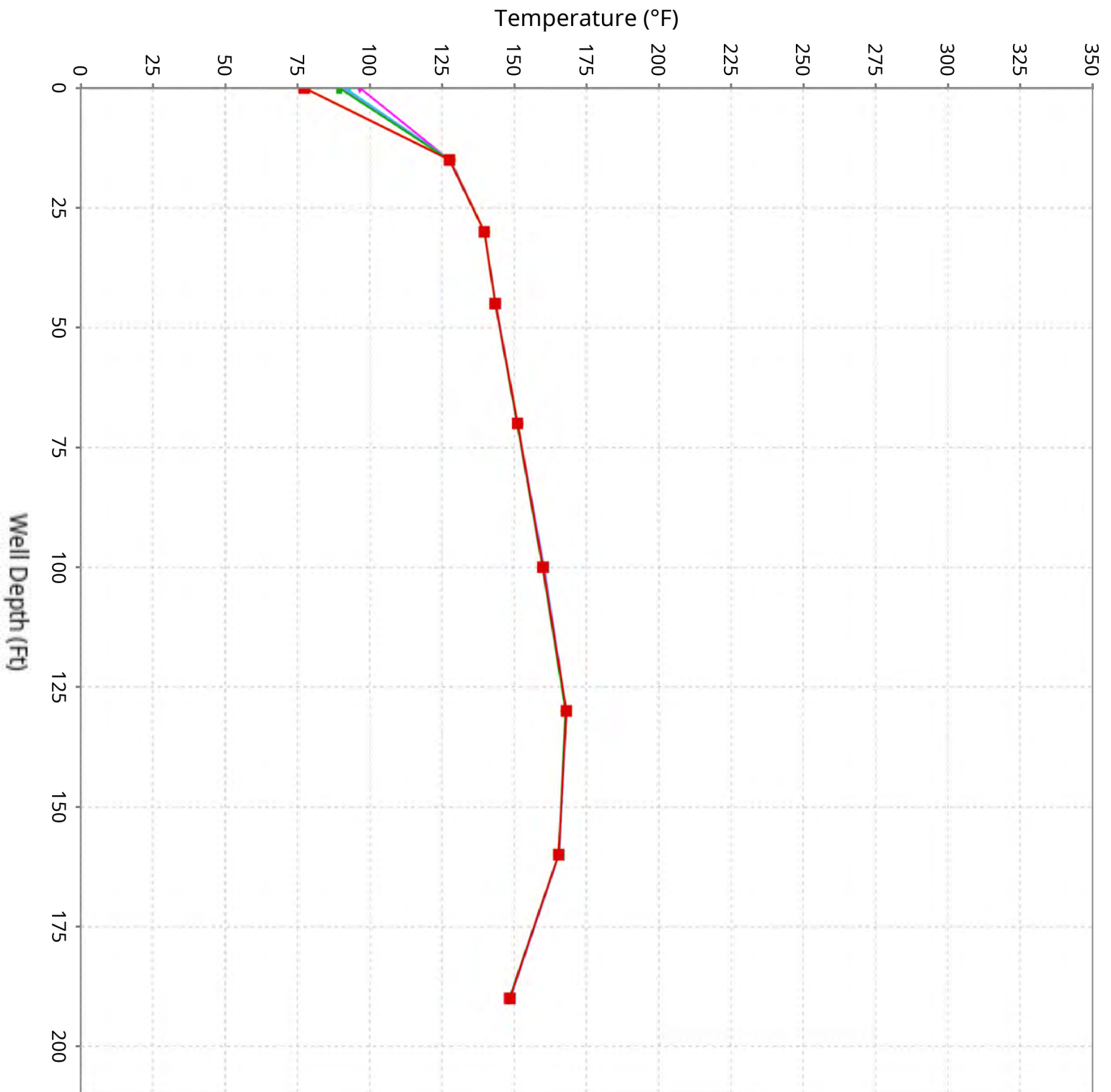
Vertical Temperature Profiles from Temperature Probes at Chiquita Landfill for TP-31

Maximum data for 1/22/2026 to 3/4/2026



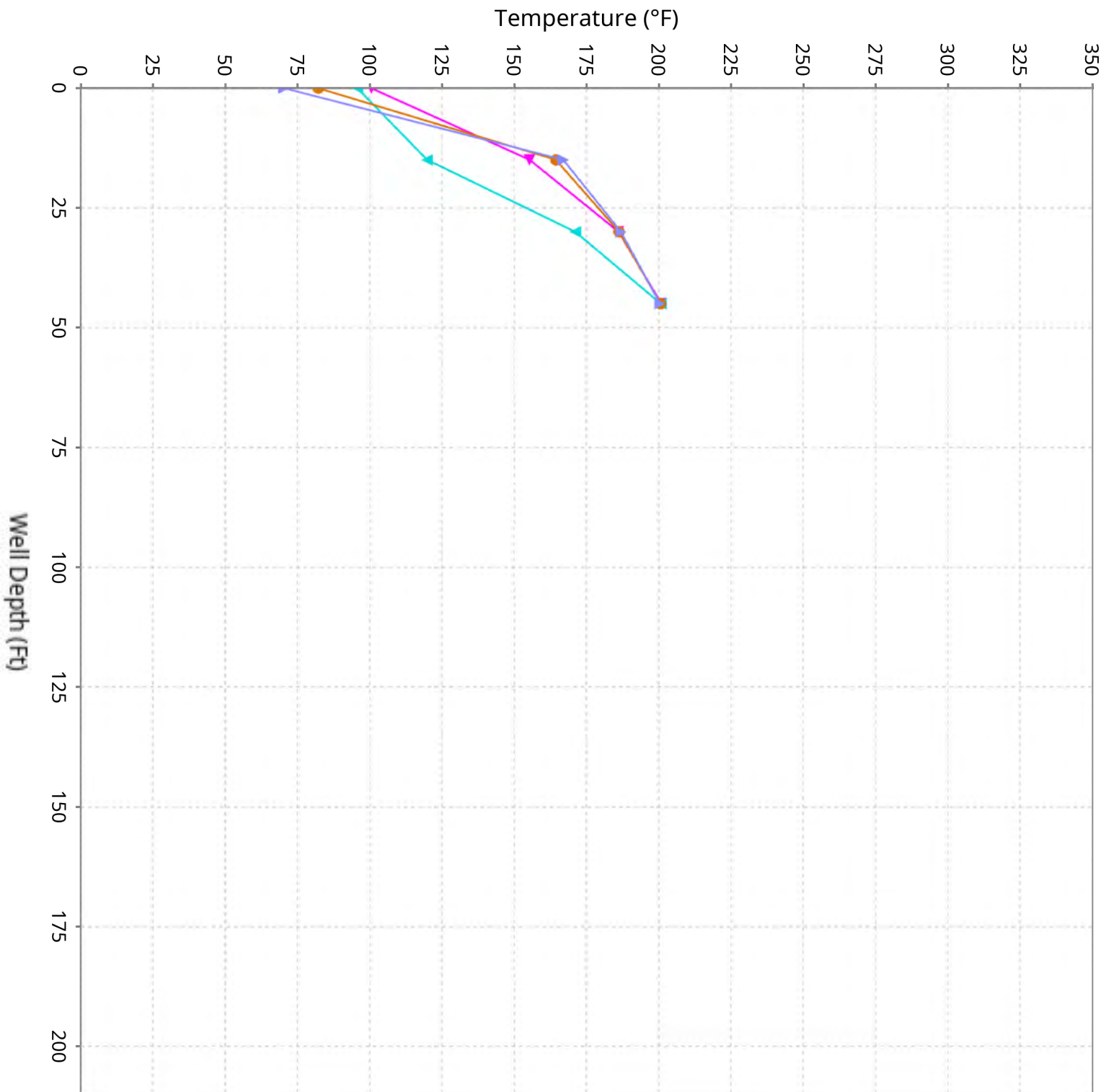
Vertical Temperature Profiles from Temperature Probes at Chiquita Landfill for TP-32

Maximum data for 1/22/2026 to 3/4/2026



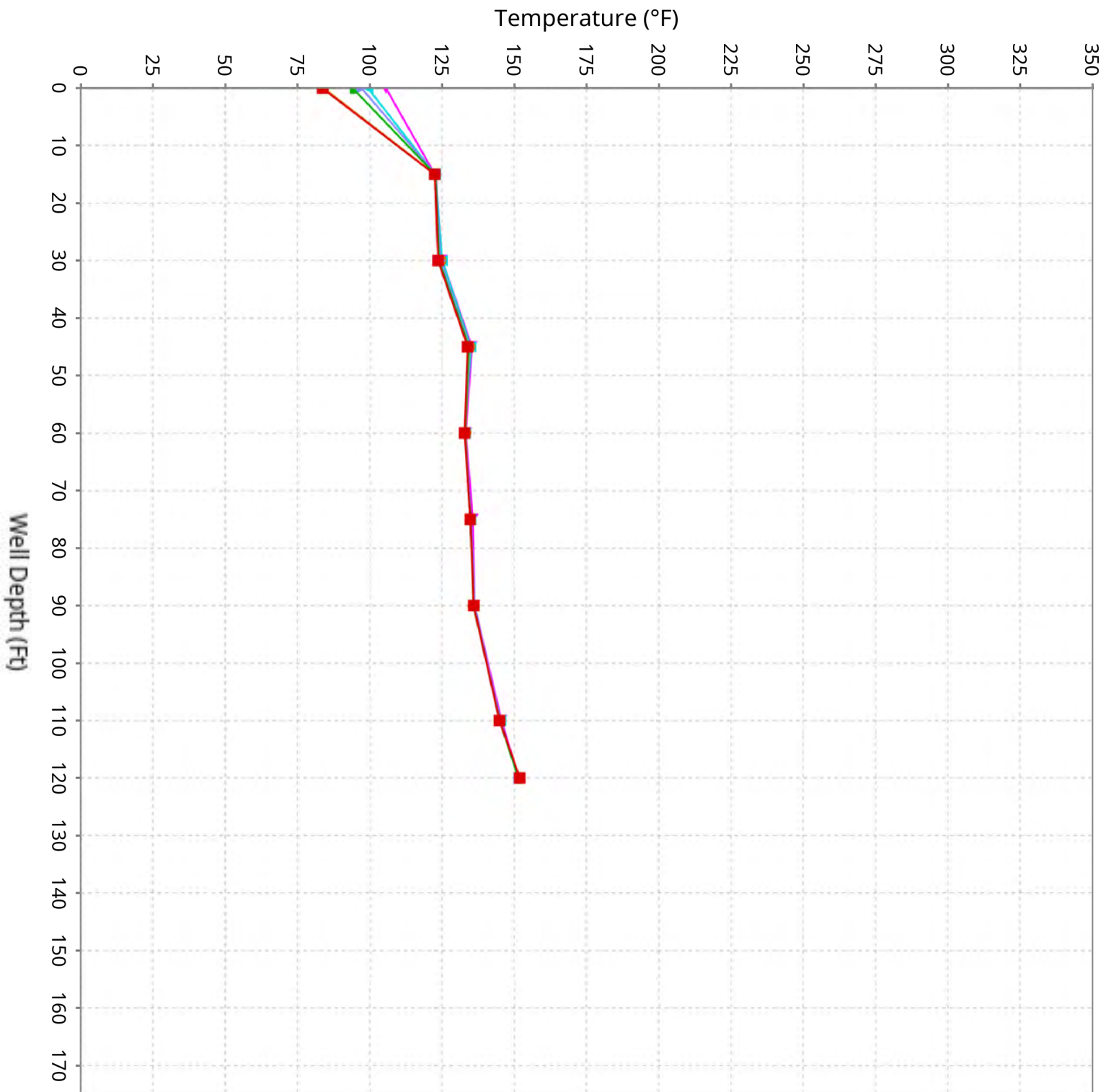
Vertical Temperature Profiles from Temperature Probes at Chiquita Landfill for TP-33

Maximum data for 1/22/2026 to 3/4/2026



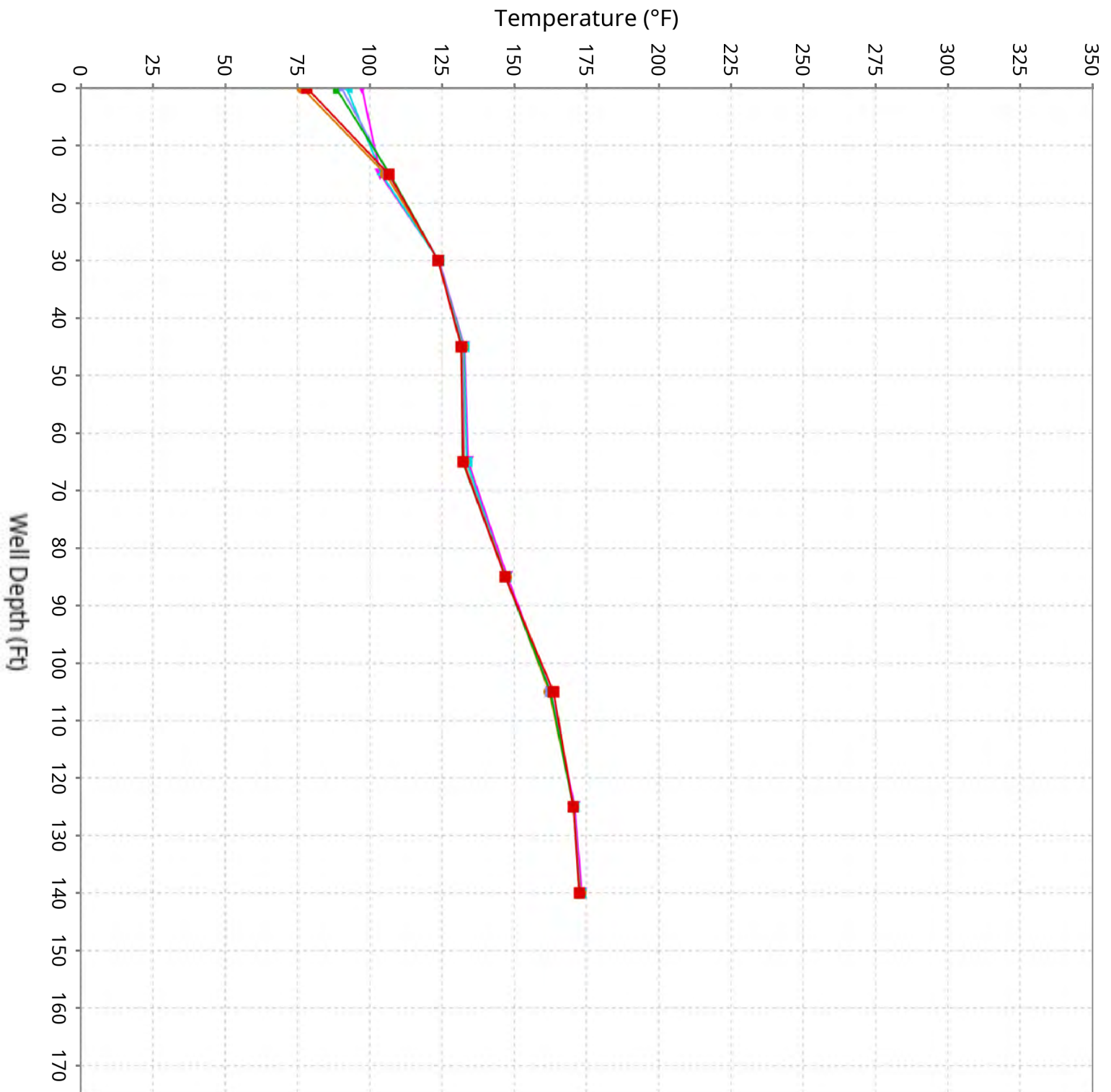
Vertical Temperature Profiles from Temperature Probes at Chiquita Landfill for TP-34

Maximum data for 1/22/2026 to 3/4/2026



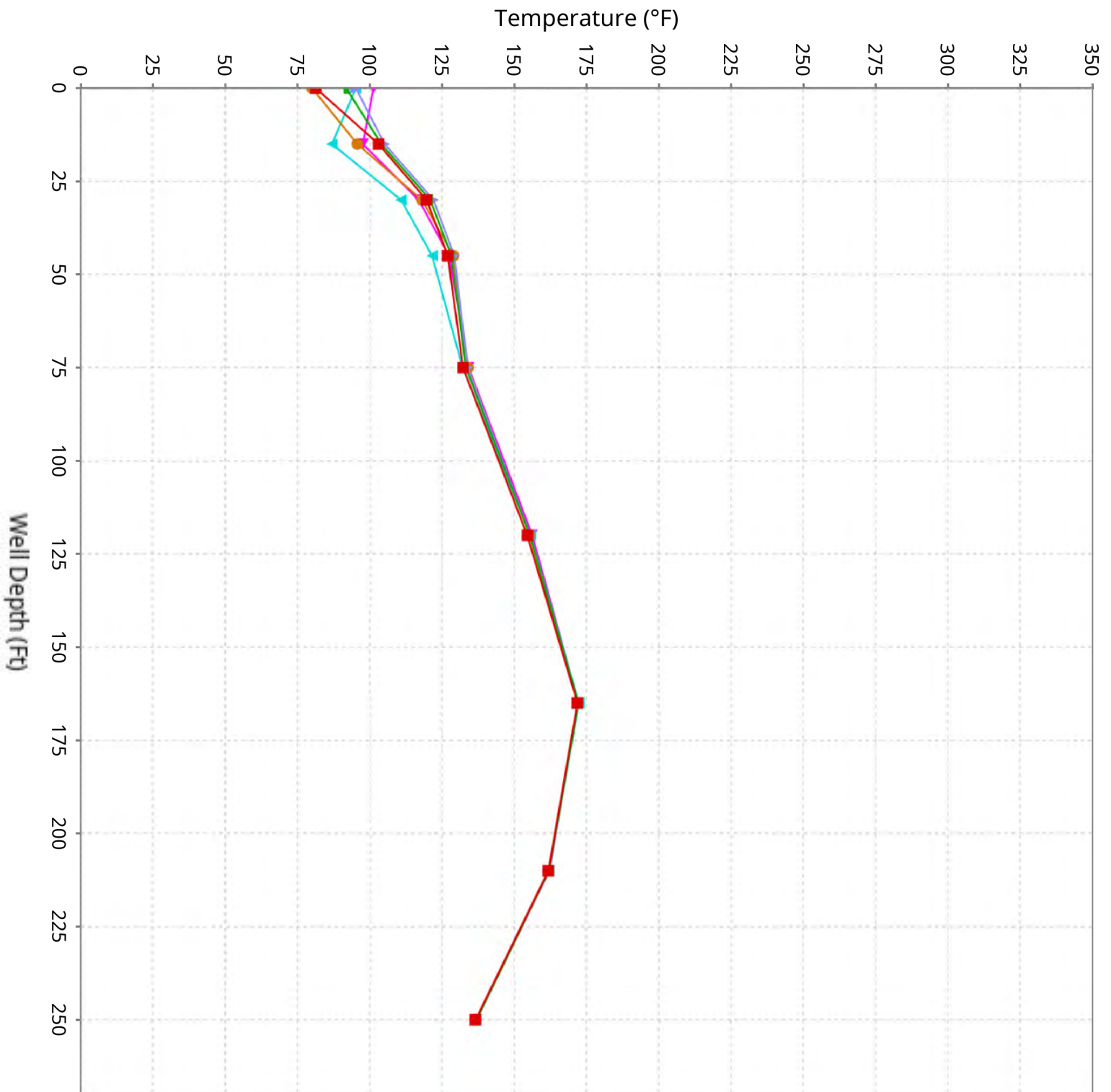
Vertical Temperature Profiles from Temperature Probes at Chiquita Landfill for TP-35

Maximum data for 1/22/2026 to 3/4/2026



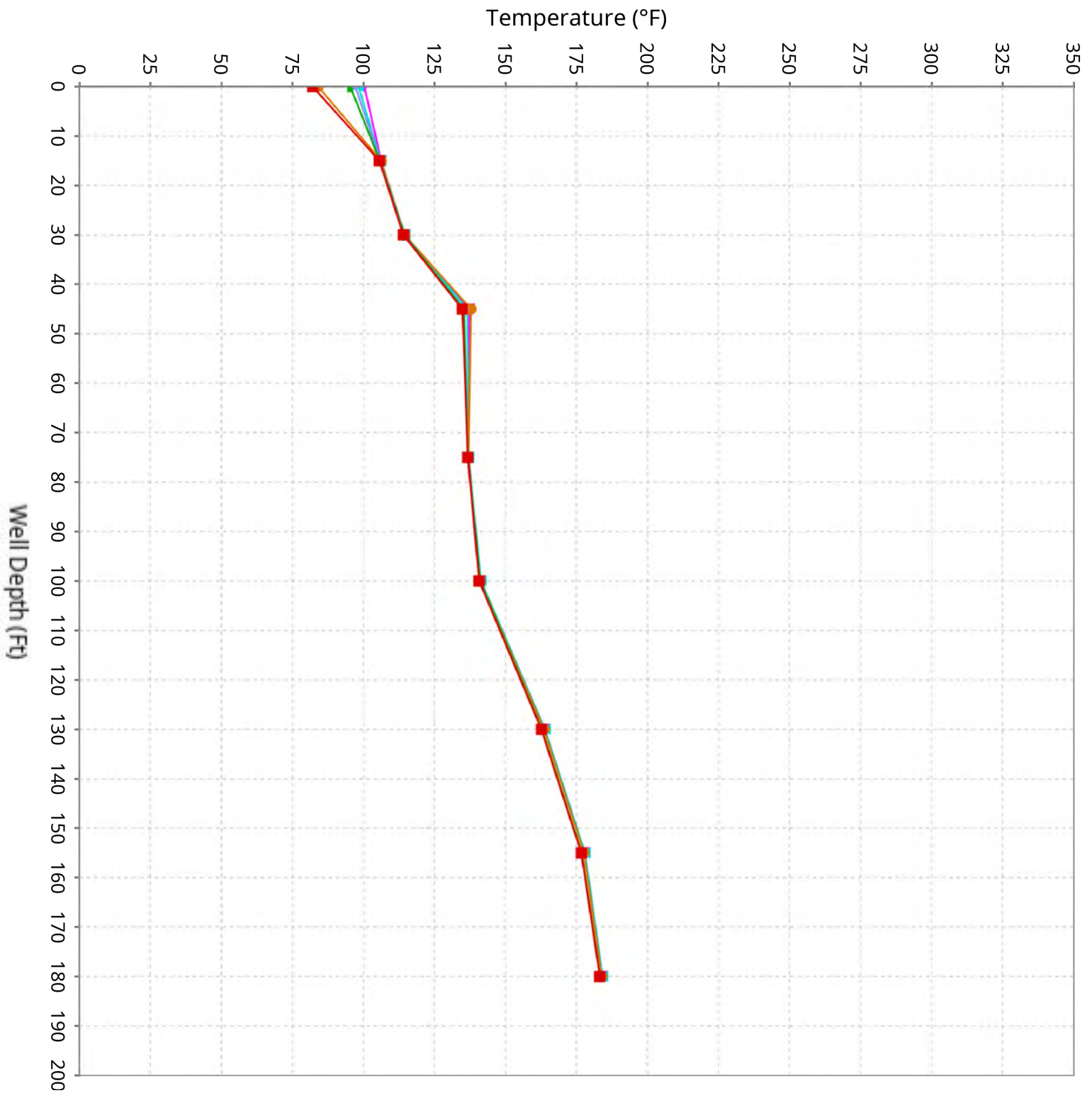
Vertical Temperature Profiles from Temperature Probes at Chiquita Landfill for TP-36

Maximum data for 1/22/2026 to 3/4/2026



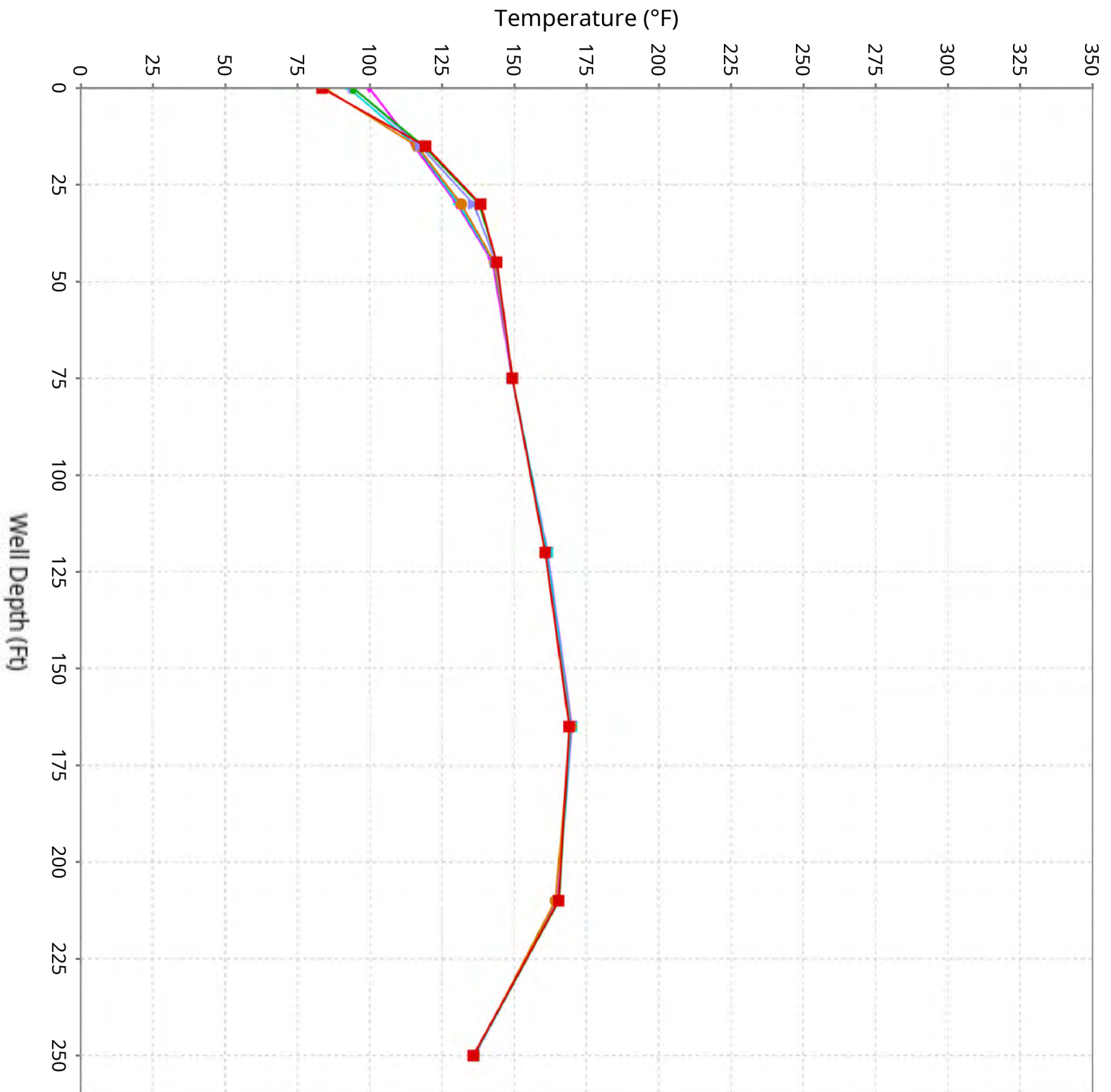
Vertical Temperature Profiles from Temperature Probes at Chiquita Landfill for TP-37

Maximum data for 1/22/2026 to 3/4/2026



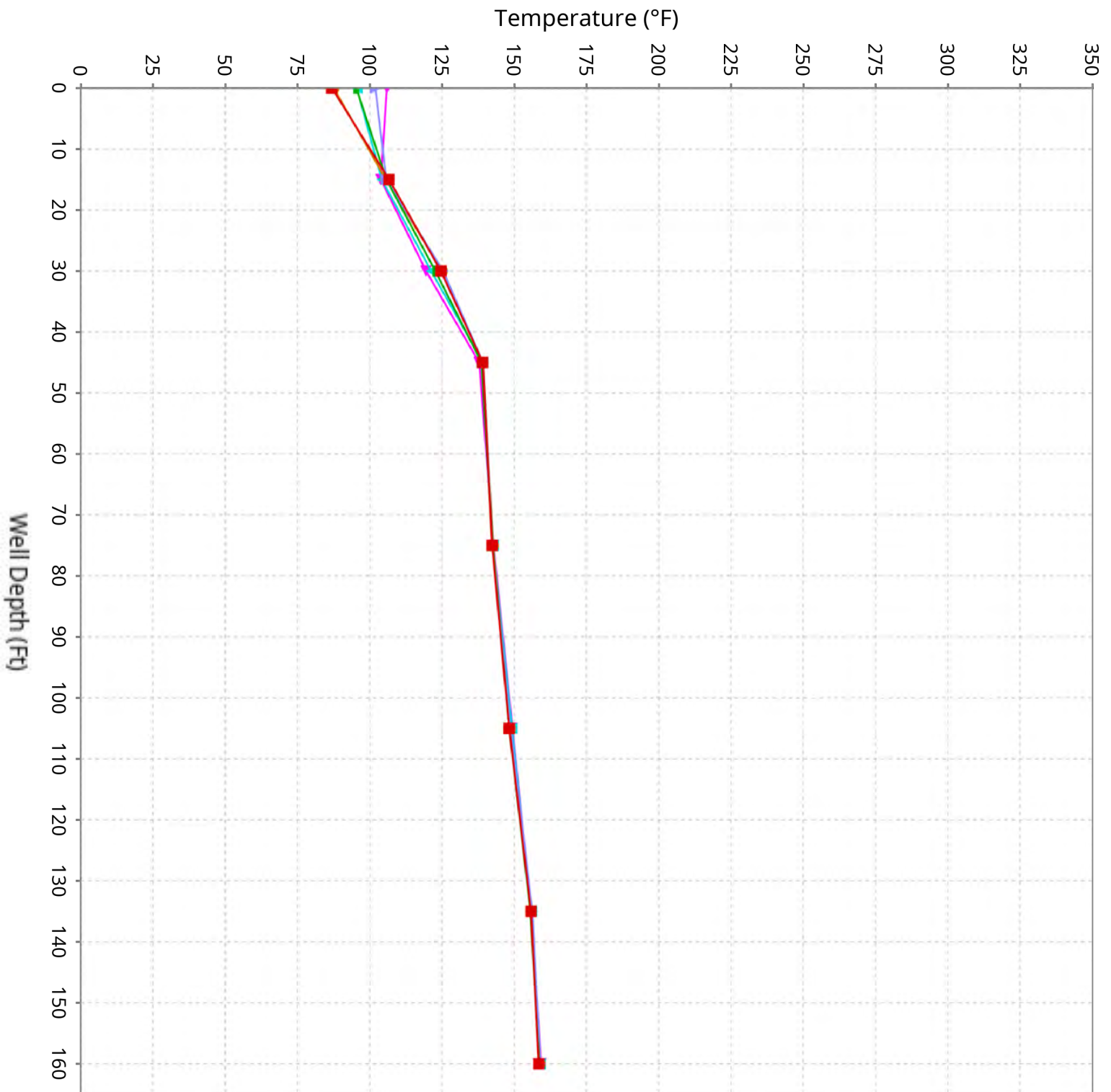
Vertical Temperature Profiles from Temperature Probes at Chiquita Landfill for TP-38

Maximum data for 1/22/2026 to 3/4/2026



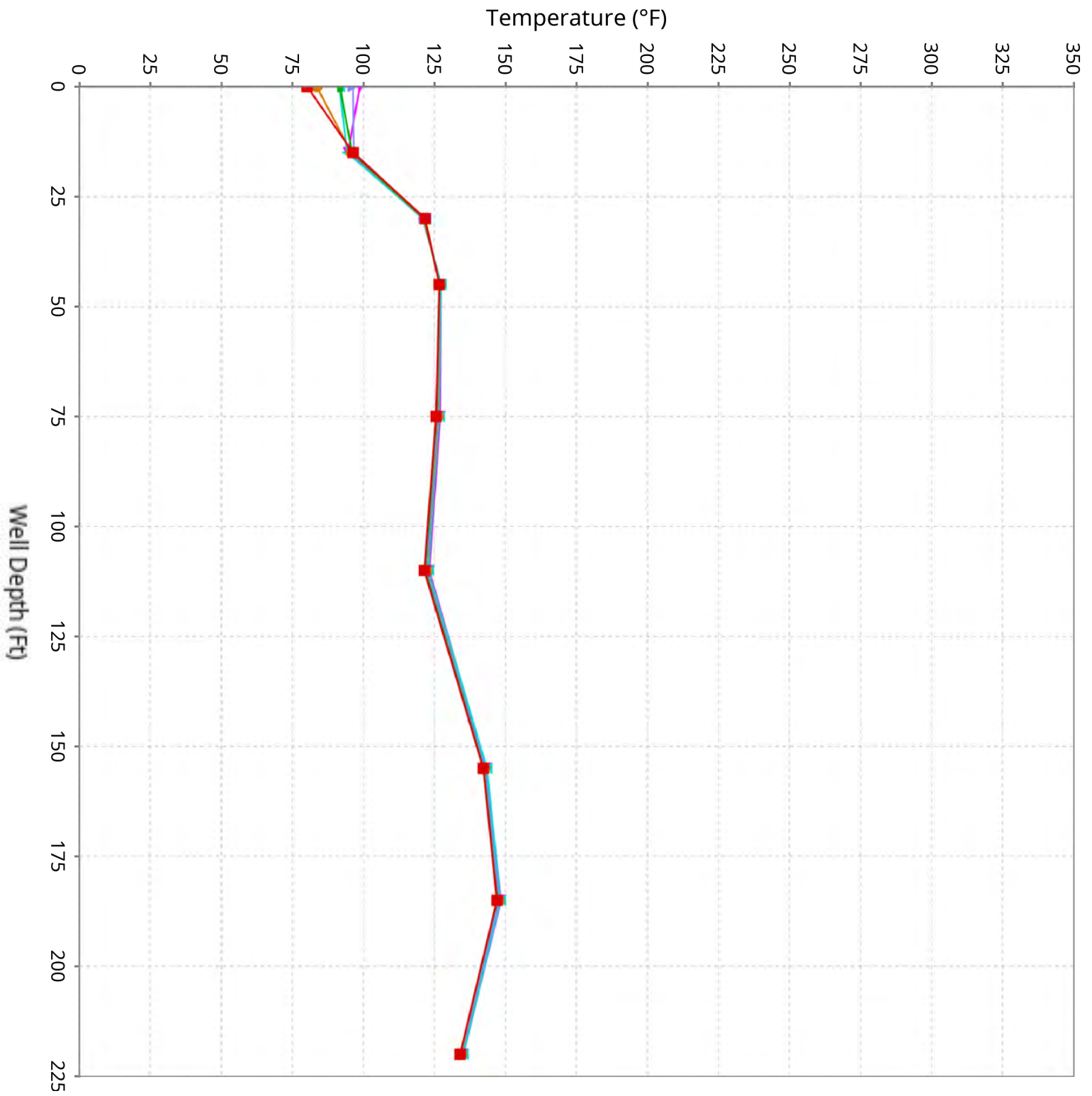
Vertical Temperature Profiles from Temperature Probes at Chiquita Landfill for TP-39

Maximum data for 1/22/2026 to 3/4/2026

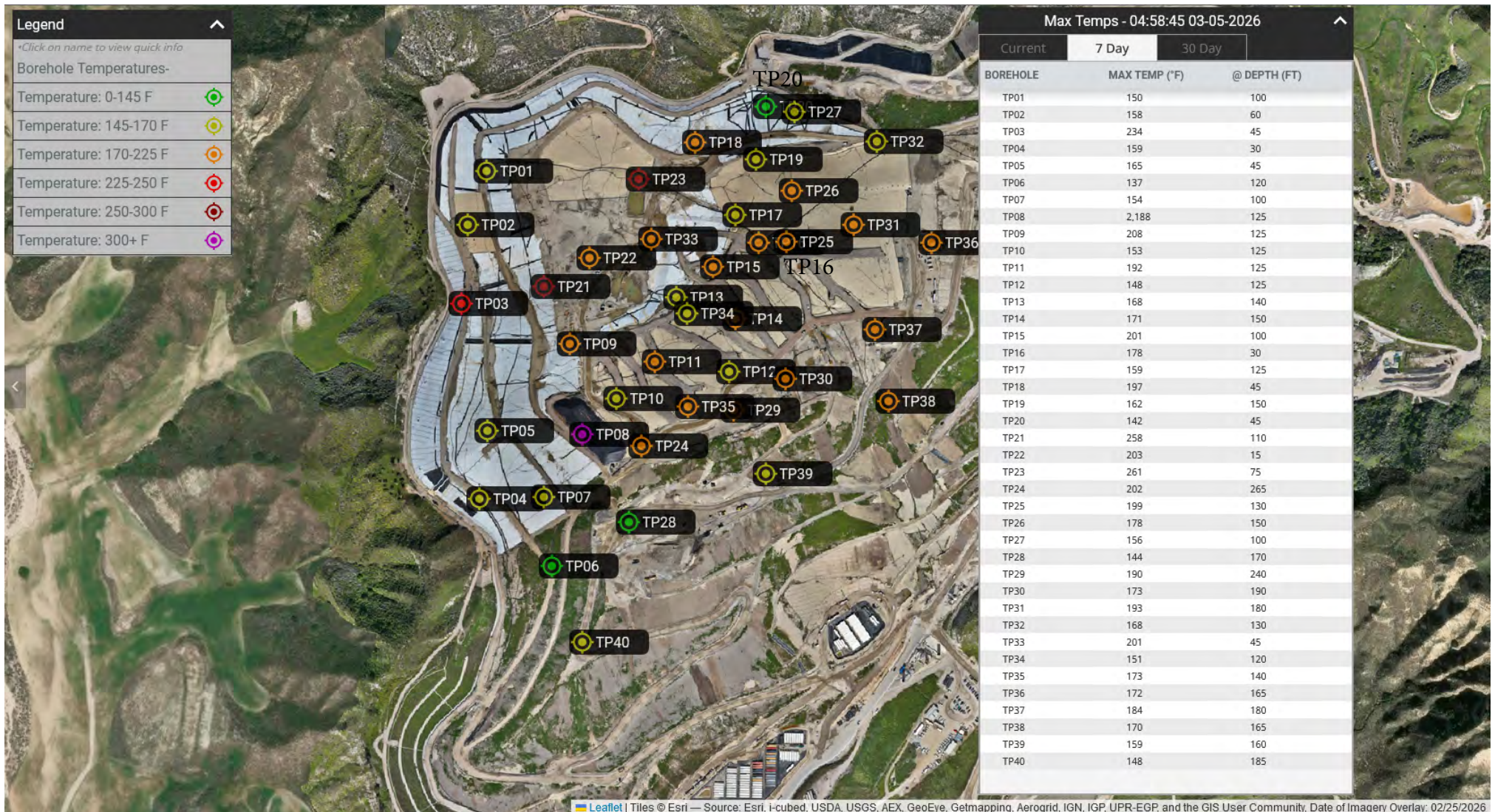


Vertical Temperature Profiles from Temperature Probes at Chiquita Landfill for TP-40

Maximum data for 1/22/2026 to 3/4/2026

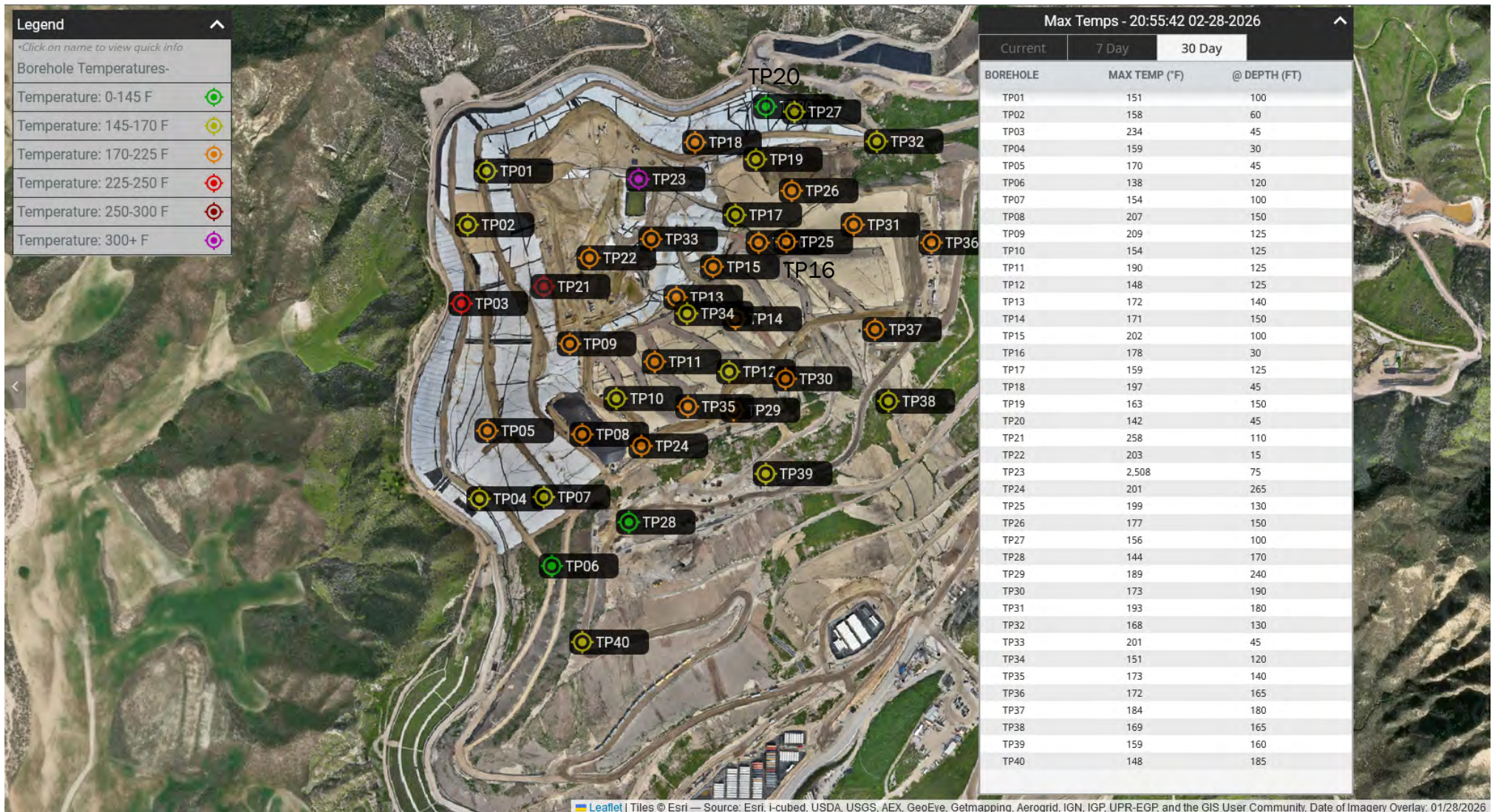


Maximum Vertical Temperature Map from Temperature Probes at Chiquita Landfill



*TP-08 reported maximum values of 2,188 degrees F on March 3rd through 4th, 2026. These readings are erroneous due to the 125-foot thermocouple being evaluated for repair.

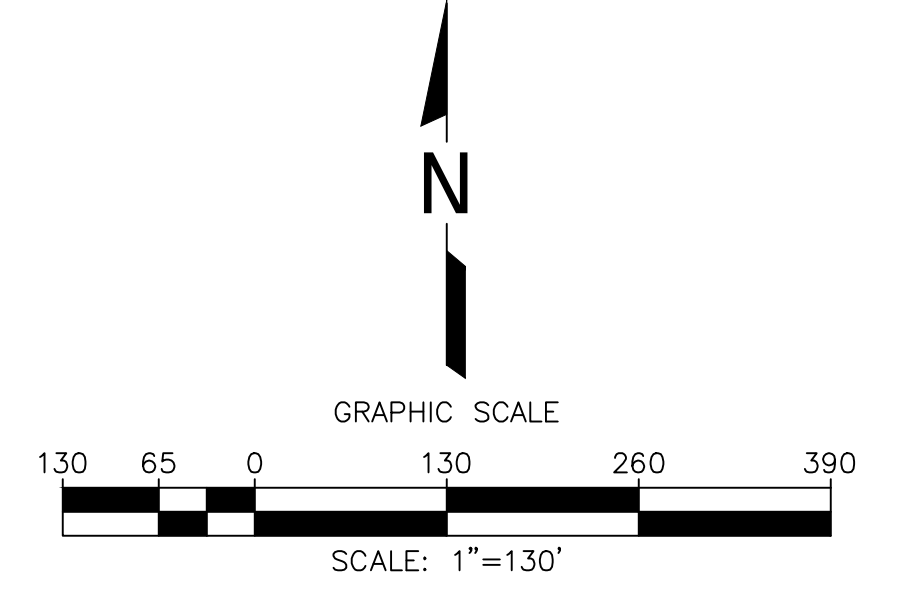
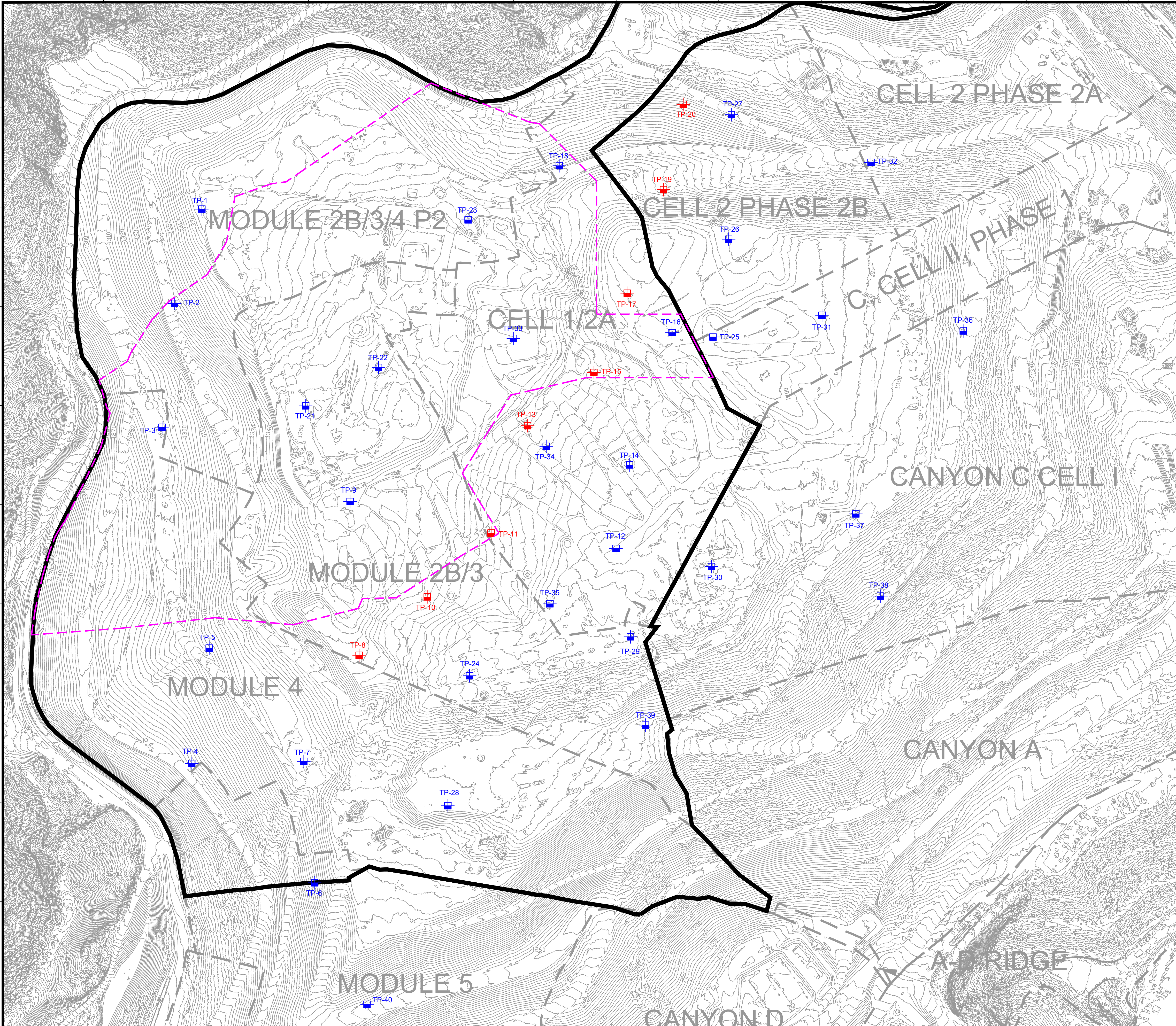
Thirty Day Maximum Vertical Temperature Map from Temperature Probes at Chiquita



TP-23 reported maximum values of 2,508 degrees F on February 25th. These readings are erroneous due to TP-23 being off-line for inspection/repair on February 25th.

1 2 3 4 5 6 7 8 9 10 11 12 13 14 15

A
B
C
D
E
F
F
G
H
I
J



LEGEND

	EXISTING TOPOGRAPHIC CONTOUR
	EXISTING CELL LIMITS (APPROXIMATE)
	INSTALLED TEMPERATURE PROBES - STANDALONE
	INSTALLED TEMPERATURE PROBES - INSTALLED WITHIN WELL CASING
	REACTION AREA BOUNDARY (APPROXIMATE) - BASED ON DATA REVIEW
	REACTION AREA BOUNDARY - CONDITION 9A

NO.	REVISION	DATE

SHEET TITLE:	EXISTING TEMPERATURE PROBE MAP
PROJECT TITLE:	CHIQUITA CANYON LANDFILL CASTAIC, CALIFORNIA

CLIENT:

CHIQUITA CANYON LANDFILL
CASTAIC, CALIFORNIA

DATE:	02/10/2026
SCALE:	AS SHOWN
SHEET:	1

GENERAL DRAWING NOTES:

- EXISTING TOPOGRAPHIC SURVEY INFORMATION SHOWN WAS PROVIDED BY PROPELLER. AERIAL PHOTOGRAPHY DATED JANUARY 28, 2026.
- NORTH ARROW SHOWN HERE IS REFERENCE TO THE CALIFORNIA STATE PLANE ZONE V COORDINATE SYSTEM, NAD 83.

ATTACHMENT C

A

B

C

D

E

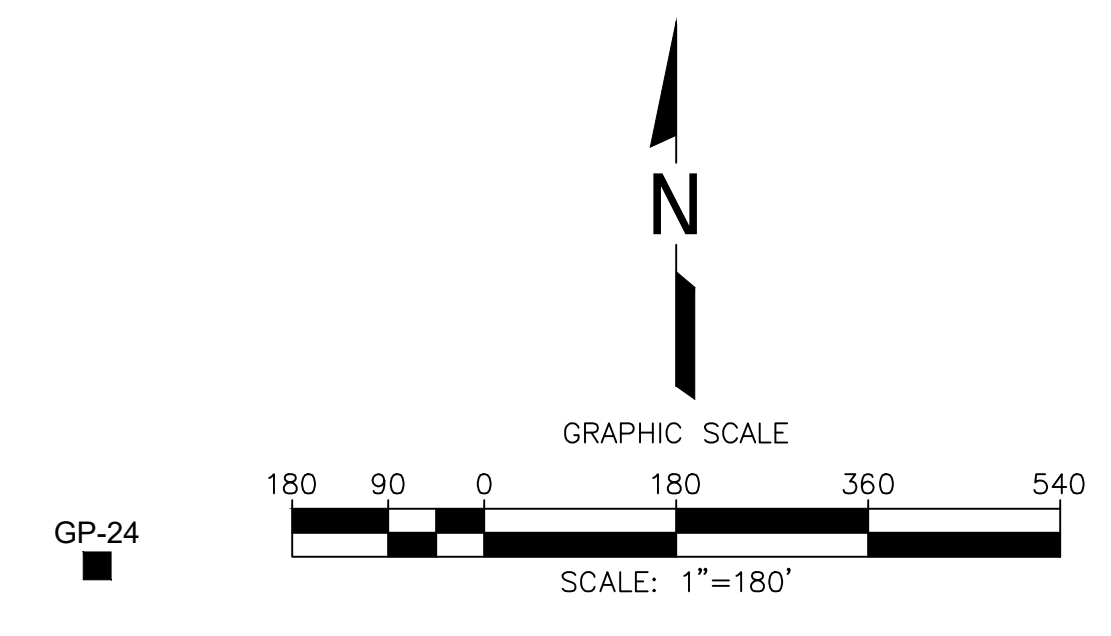
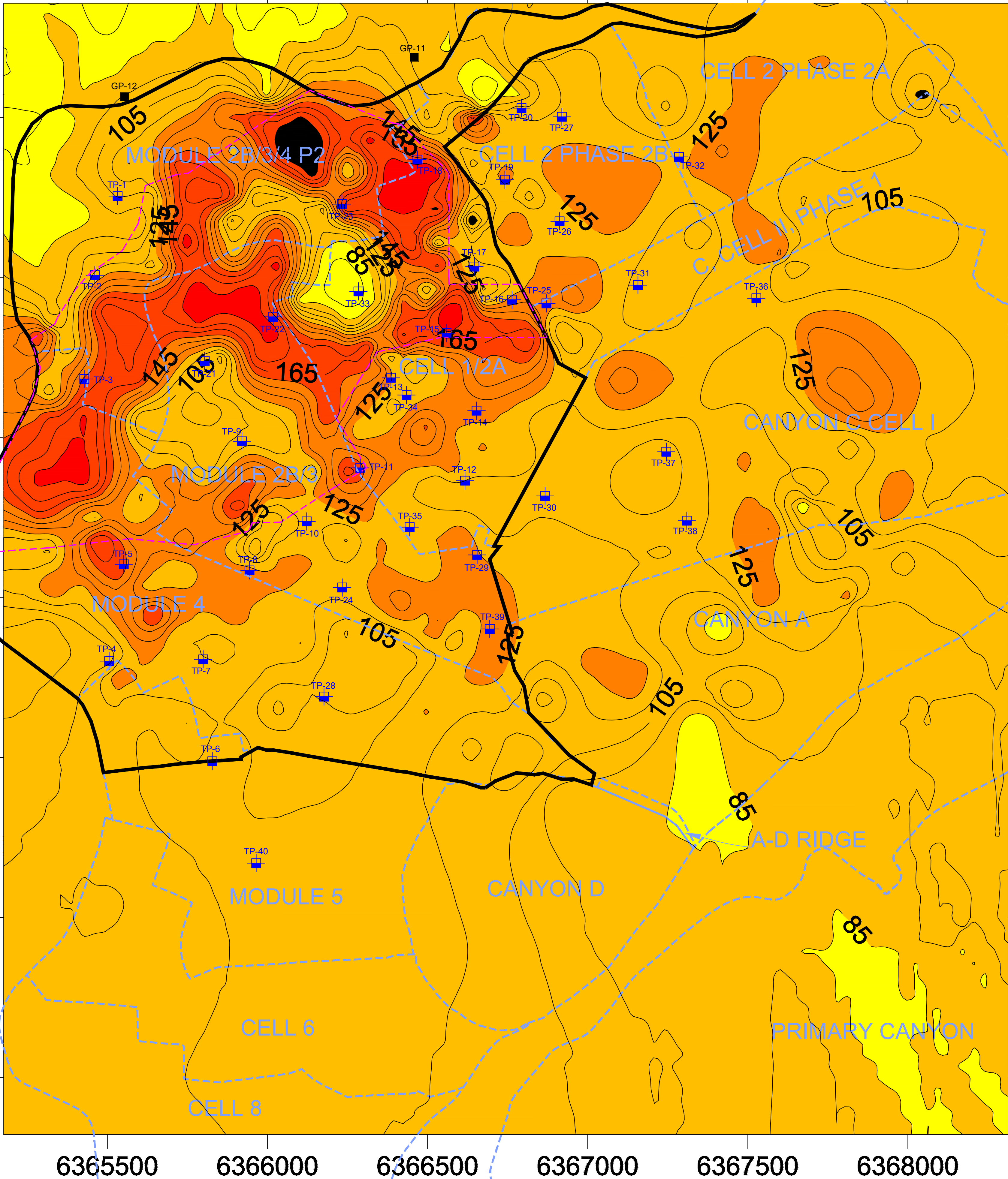
F

G

H

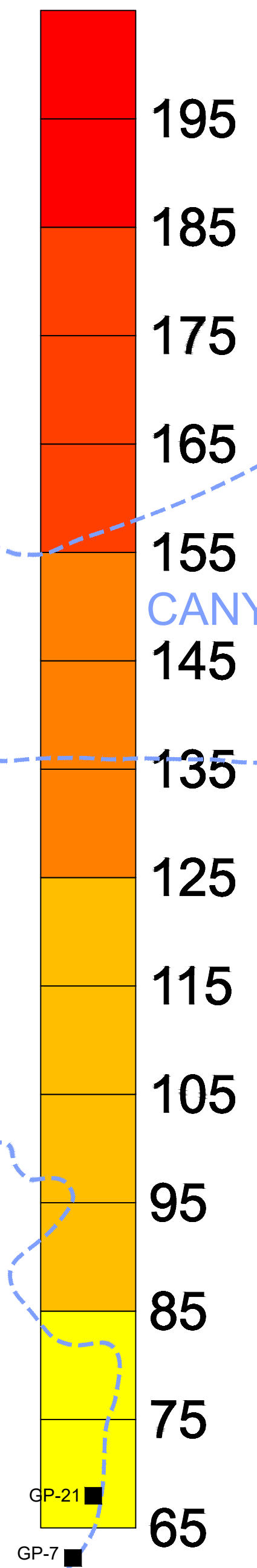
I

J



LEGEND

- - - - EXISTING CELL LIMITS (APPROXIMATE)
- - - - REACTION AREA BOUNDARY (APPROXIMATE) - BASED ON DATA REVIEW
- REACTION AREA BOUNDARY - CONDITION 9A
- GP-XX EXISTING PERIMETER MIGRATION PROBE
- TP-XX EXISTING TEMPERATURE PROBE



NO.	REVISION	DATE

SHEET TITLE: ISOTHERMAL GRADIENT MAP
FEBRUARY 2026

PROJECT TITLE: CHIQUITA CANYON LANDFILL
CASTAIC, CALIFORNIA

CLIENT: CHIQUITA CANYON LANDFILL
CASTAIC, CALIFORNIA

SCS ENGINEERS
ENVIRONMENTAL CONSULTANTS
3800 ALLEY, IRVING, CALIFORNIA, SUITE 300
LONG BEACH, CA 90808
PH: (562) 428-9544

APP. BY: SRM
CHK. BY: FJ/ENGINEERS

PROJ. NO: 01204123.41
DSN. BY: FJ

DATE: 03/06/2026

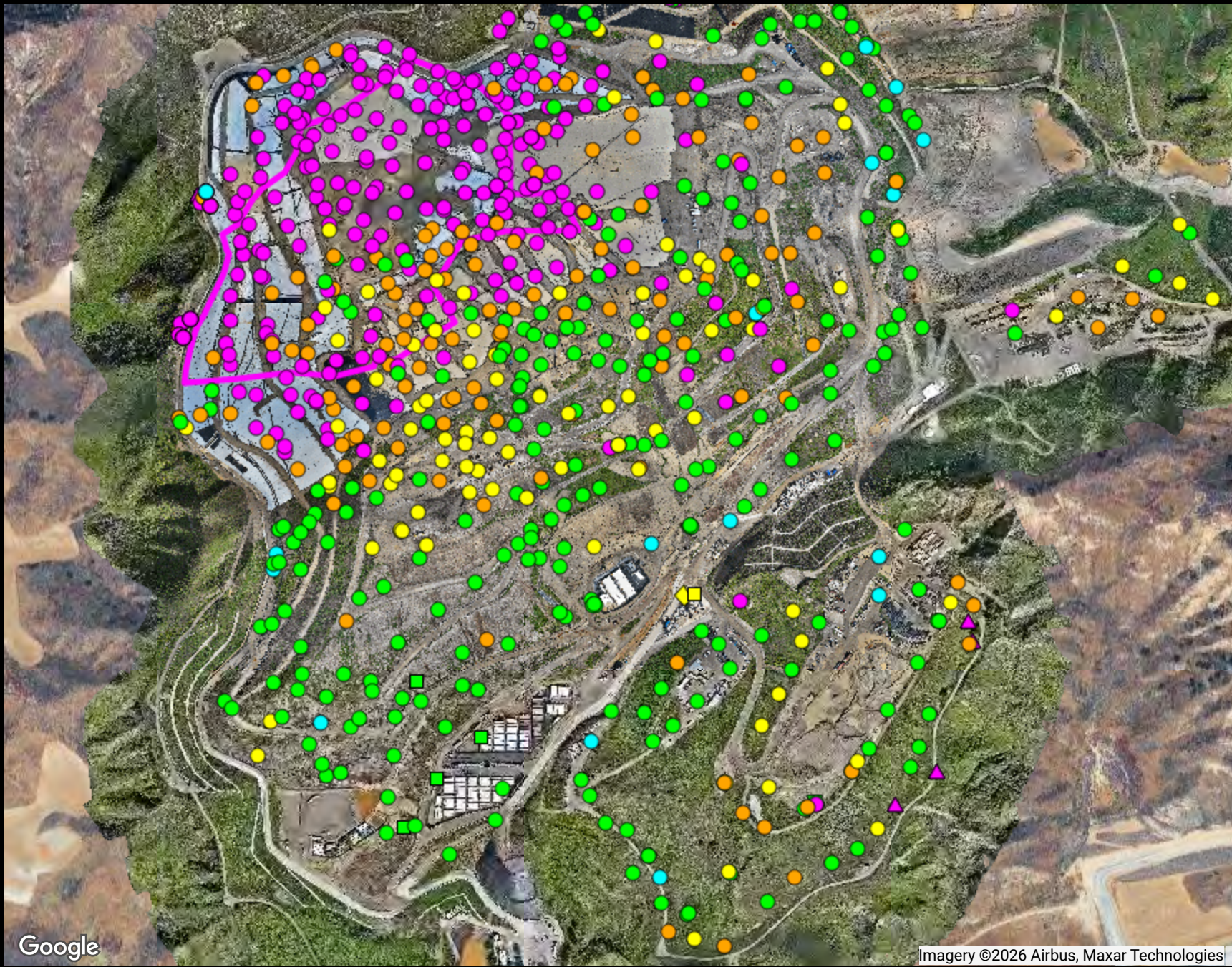
SCALE: AS SHOWN

SHEET: 1

GENERAL DRAWING NOTES:

1. NORTH ARROW SHOWN HERE IS REFERENCE TO THE CALIFORNIA STATE PLANE ZONE V COORDINATE SYSTEM, NAD 83.

Z:\Files\Engineers\Waste_Connections\Chiquita_Canyon_LF\12126 Temp_Probe_Data\Isothermal_Gradient_Maps\02-February_2026\2026_CCF_Isothermal_Map_Feb_2026_V1.0_2026-03-06.dwg Apr 06, 2026 - 3:30pm By: smedina



Ranges Mapped

	# Points
● ≥ 0 and < 0.5	323
● ≥ 0.5 and < 0.9	147
● ≥ 0.9 and < 1.1	95
● ≥ 1.1 and < 1.5	260
● ≥ 1.5 and < 101	18

Point Type Legend

- ▽ calibration record
- ◇ flare-engine-ghg
- △ monitoring probe
- sample port
- well

Google

Imagery ©2026 Airbus, Maxar Technologies

ATTACHMENT D

Chiquita Canyon Landfill

Range Map

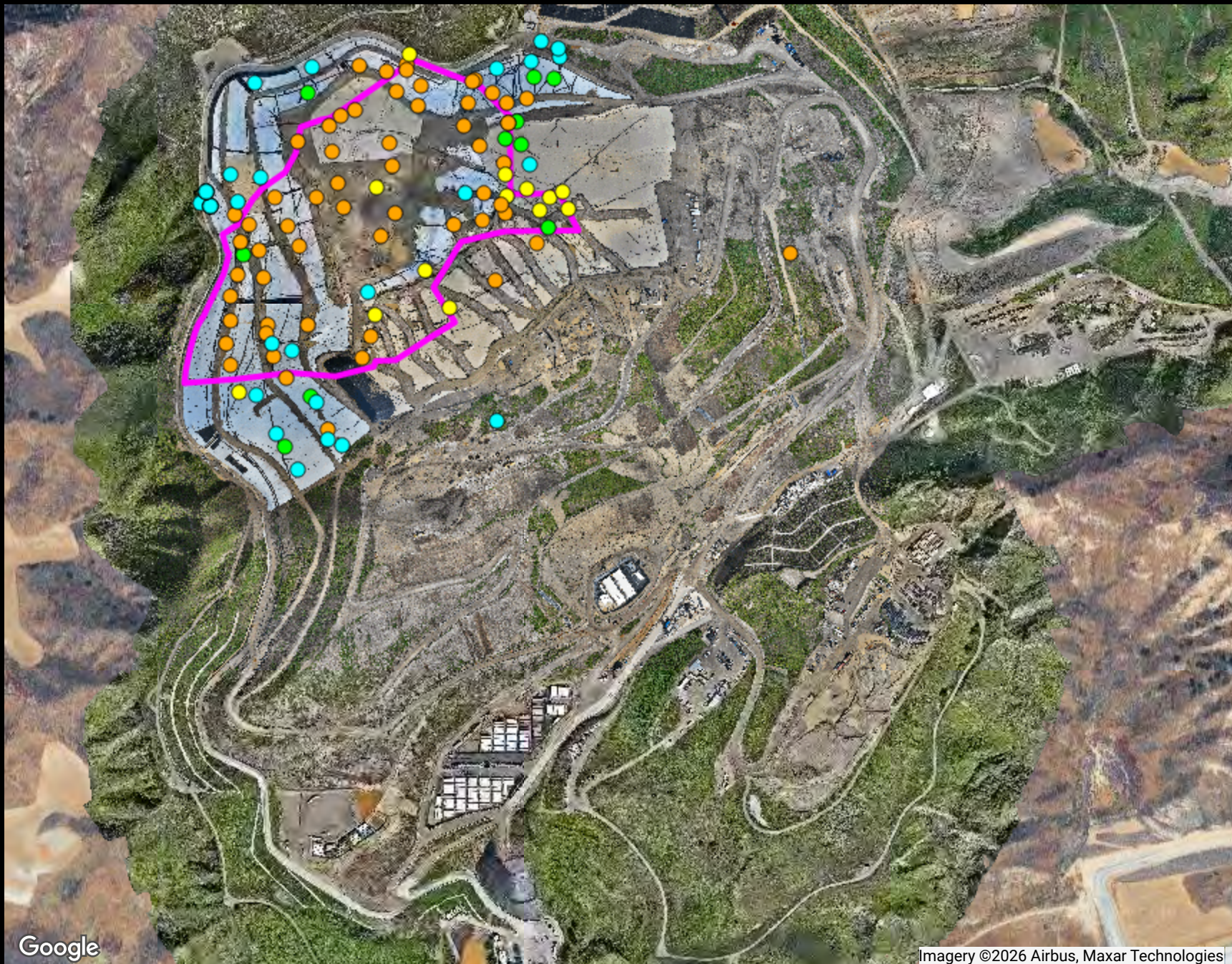
Parameter: CH₄/CO₂ Ratio (high range)

Analysis Method: MostRecent

Date Range: 02/01/2026 - 02/28/2026

Map generation date : 03/09/2026





Ranges Mapped

			# Points
Cyan	>= 0	and < 20000	35
Green	>= 20000	and < 50000	10
Yellow	>= 50000	and < 100000	14
Orange	>= 100000	and < 999999	58

The range values noted above are in units of parts per million (ppm). Divide by 10,000 to convert these values to units of percent by volume.

- Point Type Legend**
- ▽ calibration record
 - ◇ flare-engine-ghg
 - △ monitoring probe
 - sample port
 - well

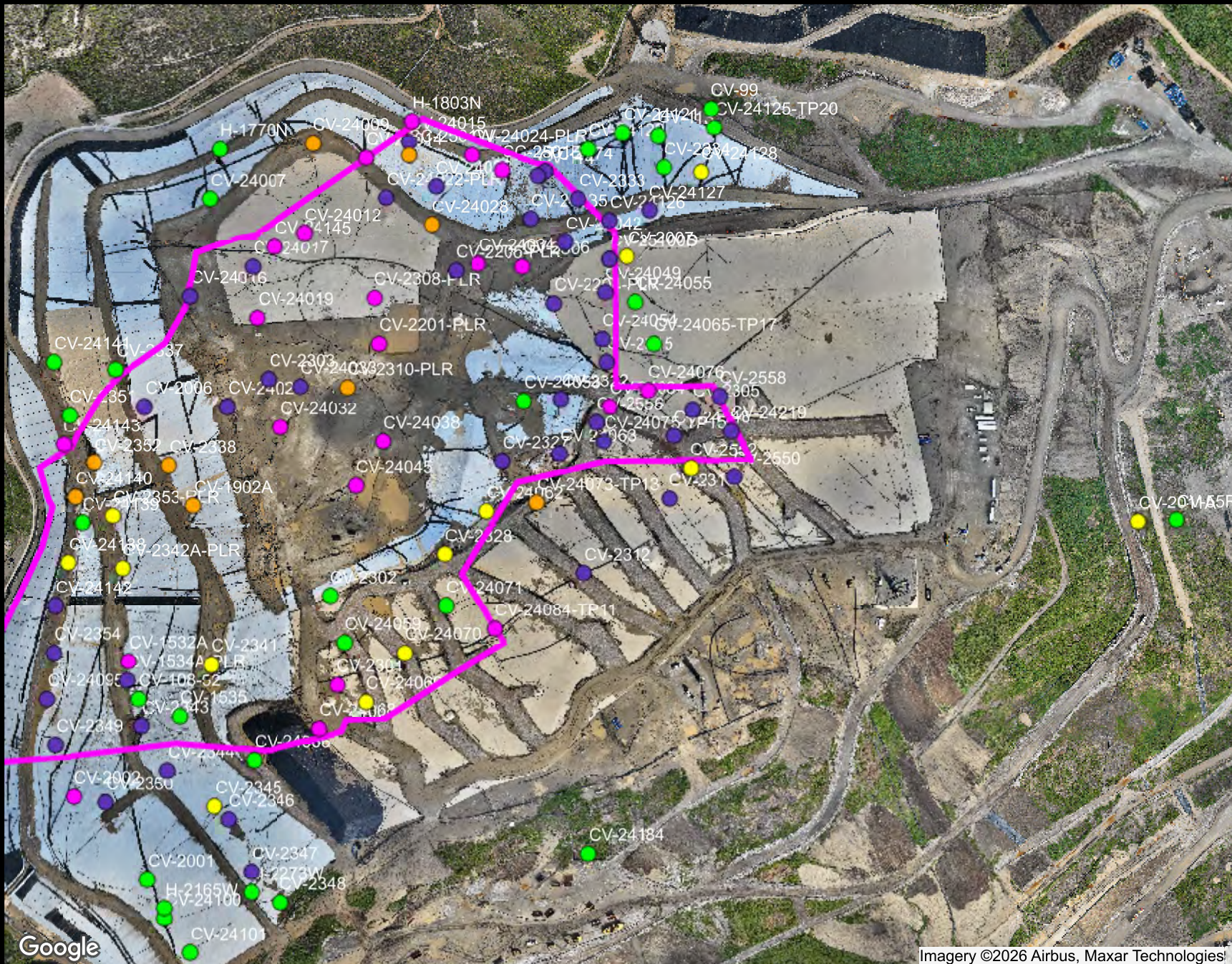
Google

Imagery ©2026 Airbus, Maxar Technologies

ATTACHMENT E

Chiquita Canyon Landfill
Range Map
Parameter: H2 (mid range)
Analysis Method: MostRecent
 Date Range: 02/01/2026 - 02/28/2026
 Map generation date : 03/09/2026





Ranges Mapped

		# Points
>= 0	and < 500	29
>= 500	and < 1000	13
>= 1000	and < 1500	9
>= 1500	and < 2000	22
>= 2000	and < 1000000	45

Point Type Legend

 well

Google

Imagery ©2026 Airbus, Maxar Technologies

ATTACHMENT F

**Chiquita Canyon Landfill
Range Map**

Parameter: CO LAB (mid range)

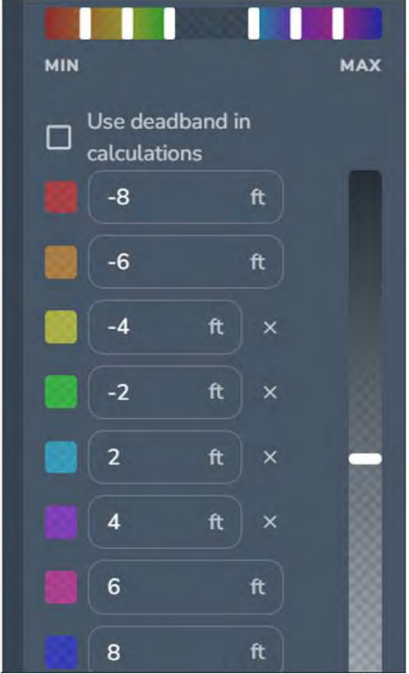
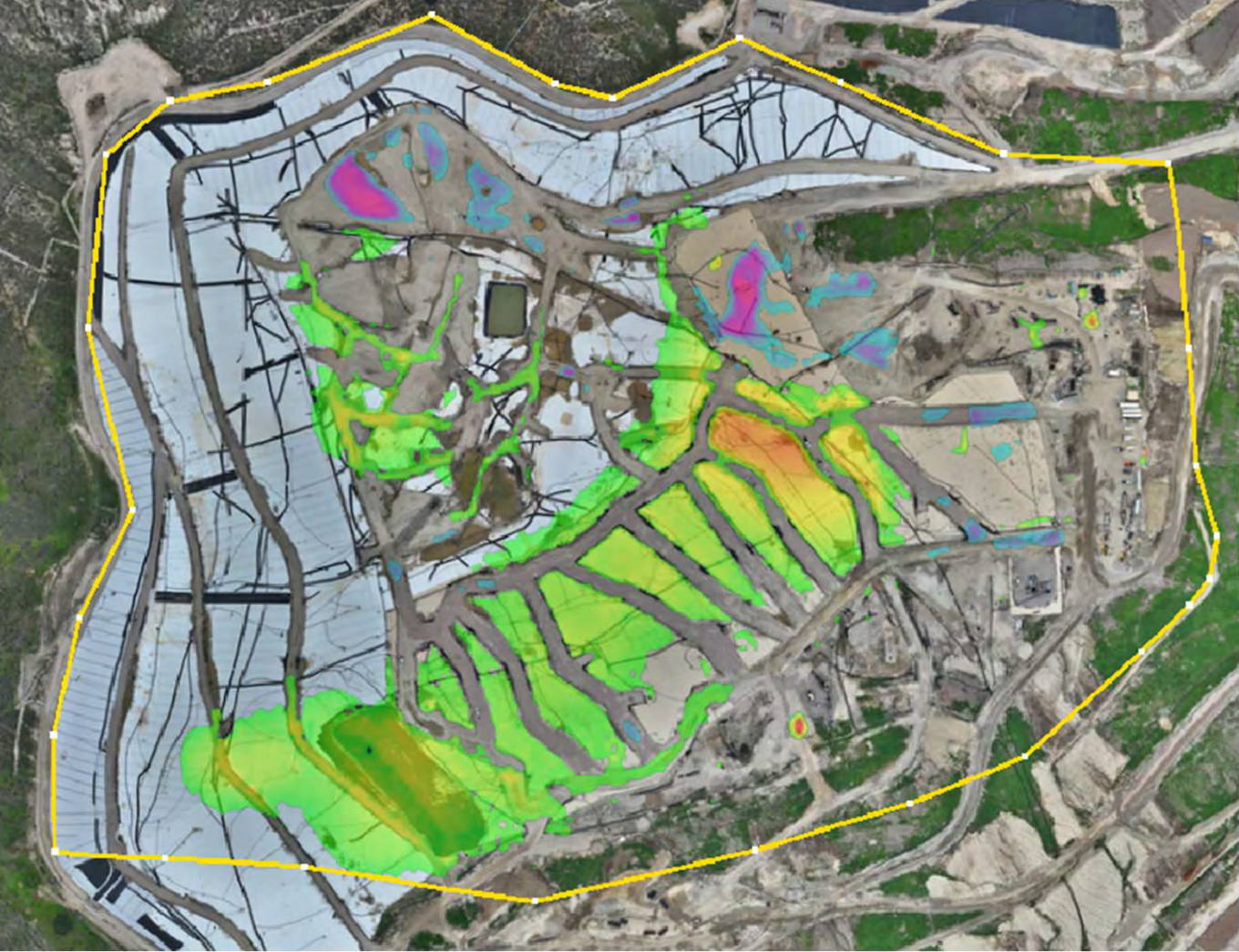
Analysis Method: Average

Date Range: 02/01/2026 - 02/28/2026

Map generation date : 03/09/2026



Chiquita Canyon Landfill - Quarterly Isopach



December 30, 2025 Survey Image. October 1, 2025 vs. December 30, 2025